

Visita ai Laboratori dell'INFN

11-12 Gennaio 2019

Laboratori Nazionali del Gran Sasso



Francesco Longo
Dipartimento di Fisica
Universita' di Trieste
e INFN/Trieste

Via Valerio 2, Trieste, 34127, Italy
(francesco.longo@ts.infn.it)

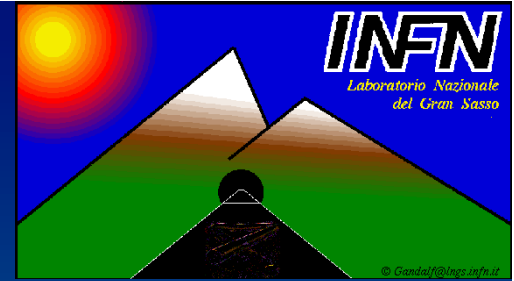


L'Istituto Nazionale di Fisica Nucleare



Laboratori Nazionali
del Gran Sasso (LNGS)

Laboratori Nazionali del Gran Sasso



Location: Gran Sasso Tunnel (Abruzzi, Italy)

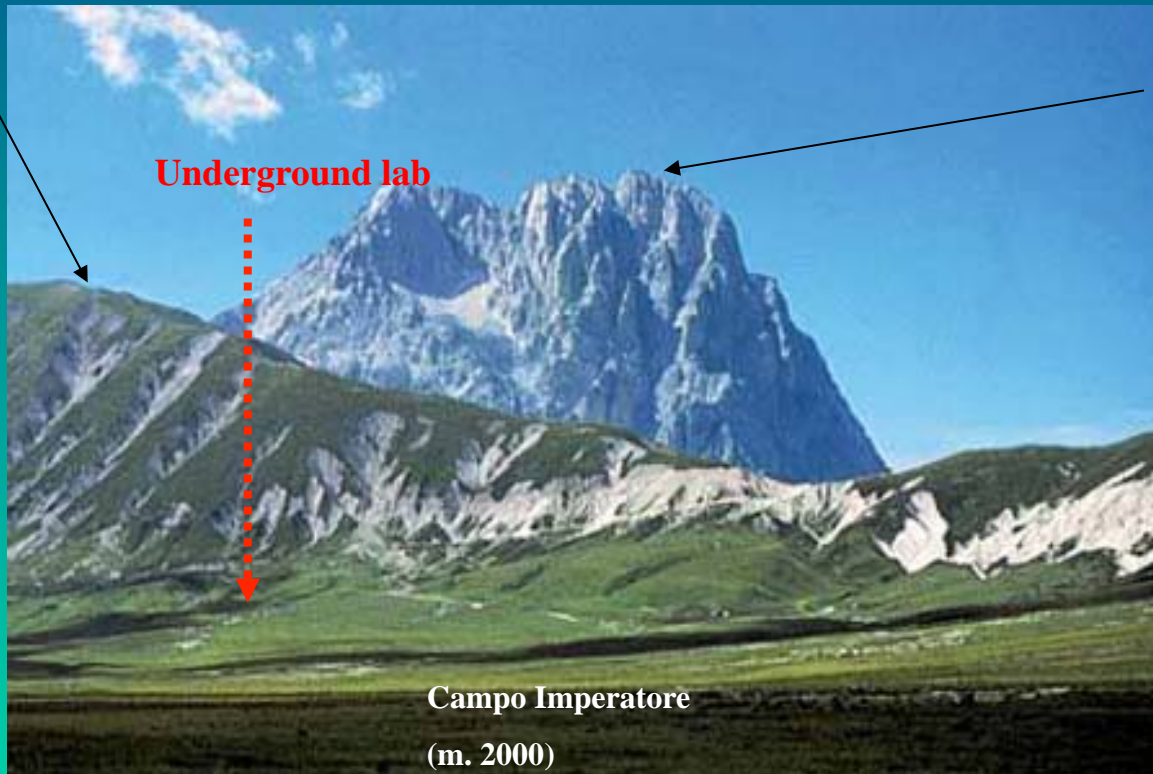
Depth: 1400 m (3800 mwe)

Operating Institution: Istituto Nazionale di Fisica Nucleare (INFN)

LNGS permanent staff: ~100 (physicists, technicians, administration)

Scientists involved in LNGS experiments: 1100 from 29 countries

Monte Aquila
(m. 2600)



Corno Grande (m. 2910)

Campo Imperatore
(m. 2000)

The area of Campo Imperatore
above LNGS

LNGS

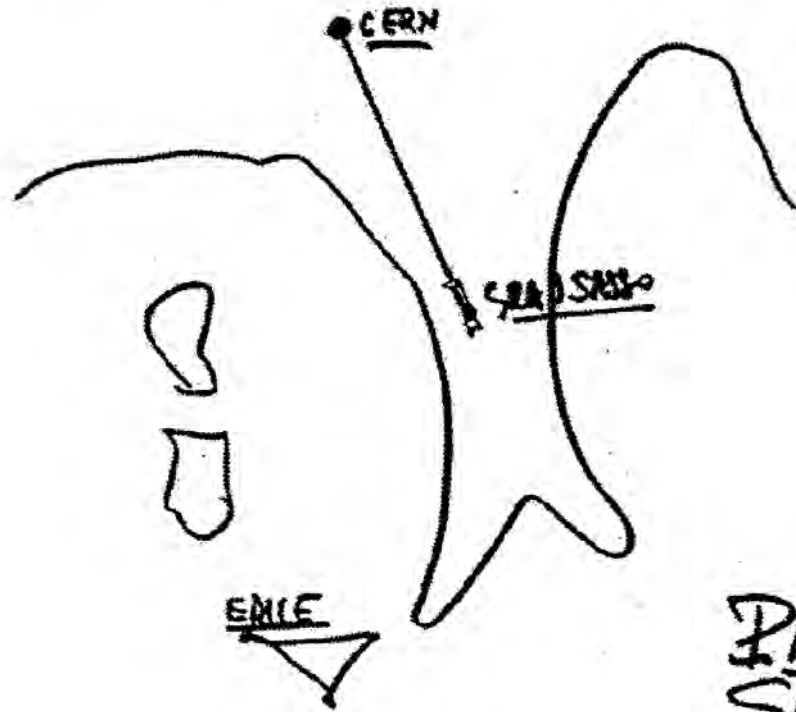
Nel **1979**, durante la costruzione della autostrada A24 fra Roma e L'Aquila, A. Zichichi ha proposto l'idea di costruire un **laboratorio sotterraneo** sotto il **Gran Sasso**

- **1982**: il Parlamento approva la costruzione
- **1984**: nuovi finanziamenti
- **1989**: il primo esperimento, MACRO, inizia a prendere dati

- Fra i primi progetti ci sono:
 - **MACRO**: Ricerca di monopoli magnetici
 - **LVD**: rivelazione di supernovae e fisica dei neutrini
 - **Gallex**: rivelazione di neutrini solari

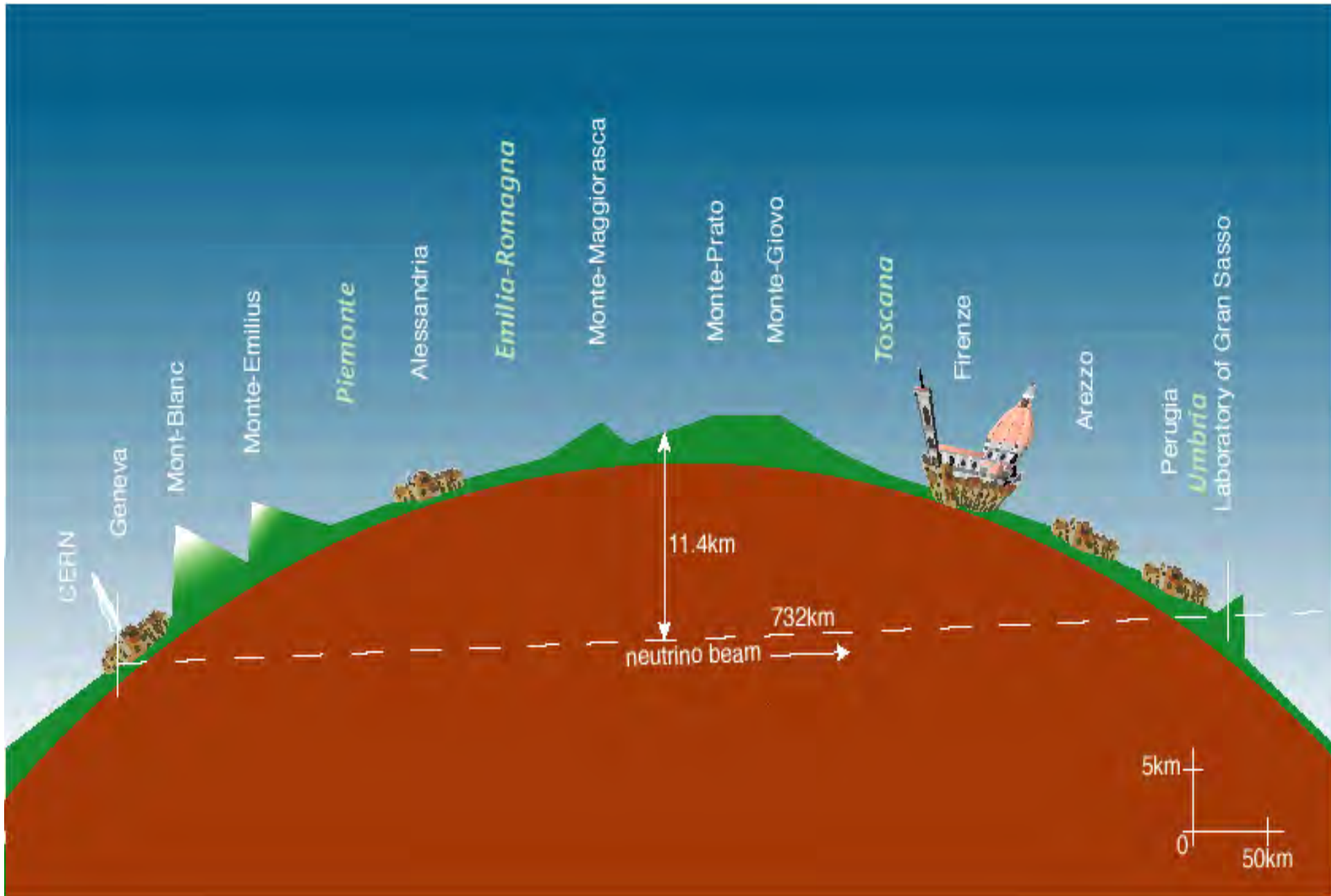


CONDIZIONE LAVORI PUBBLICI DEL SENATO



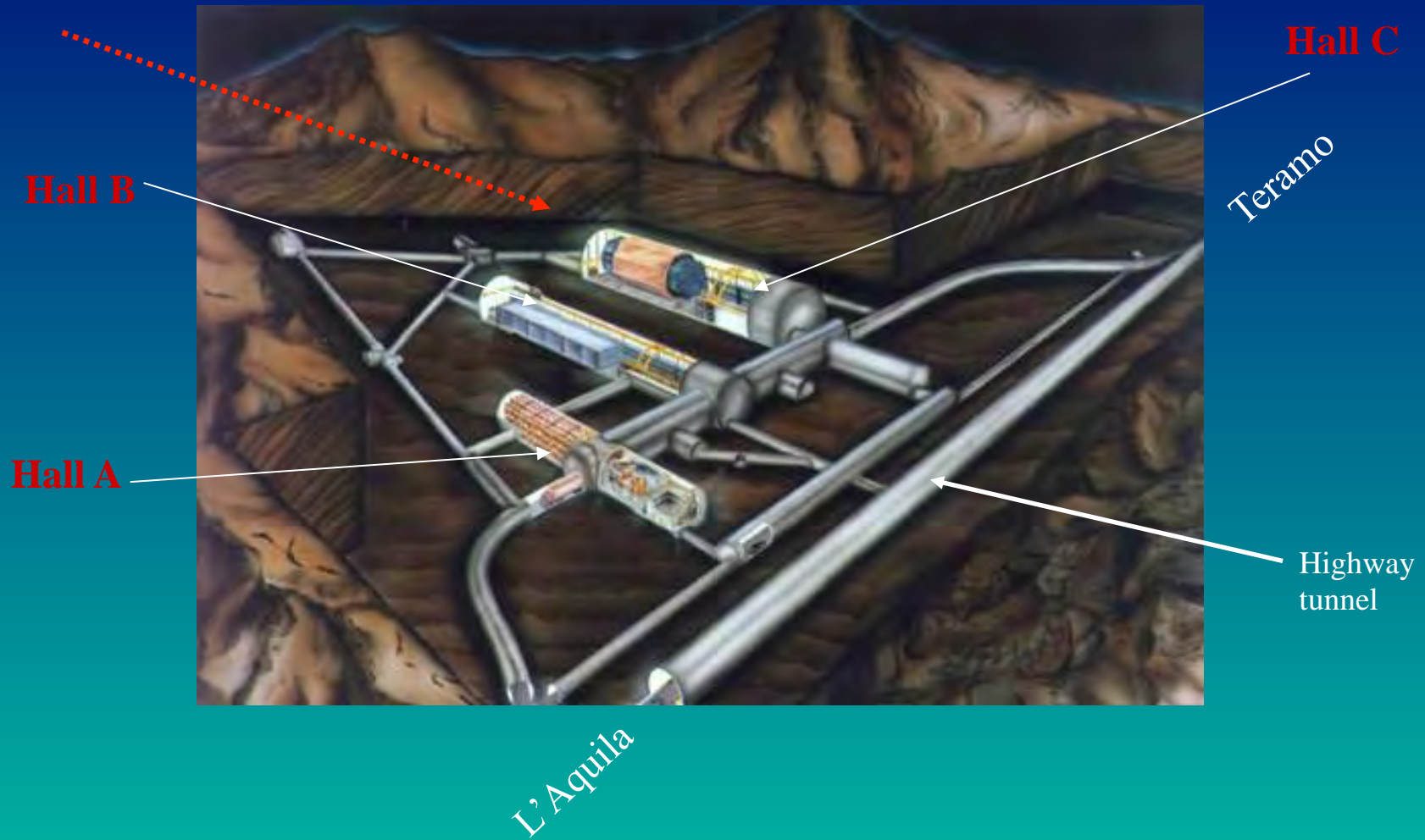
PROGETTO
SPANSAPO

Figure 1.1.1: Sketch by A. Zichichi, 1979



CERN ν beam

The LNGS Underground area



Underground area : 3 halls (100m x 20m x 15m) + service tunnels

Total volume : 180000 m³

Surface: > 6000 m²

La sala B durante gli scavi e appena completata



E' il principale Laboratorio di Fisica delle Astroparticelle del mondo

~130 Km da Roma, 1 ½ dall'aeroporto di Fiumicino

Scienza @ LNGS

■ Fisica dei neutrini

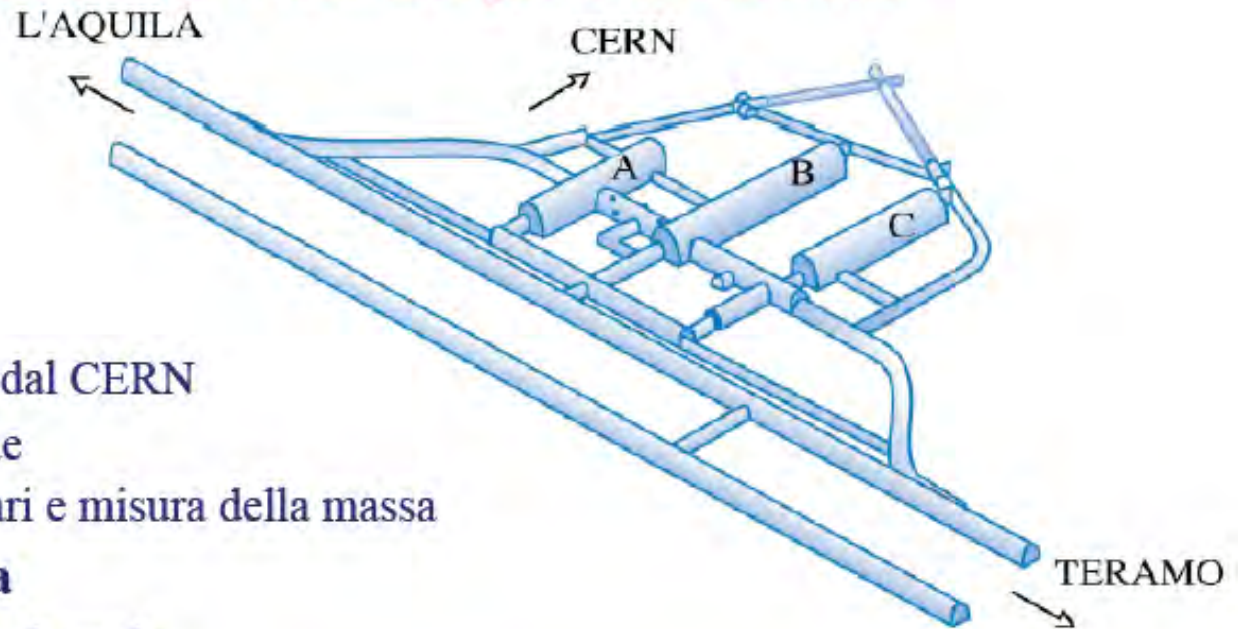
- Neutrini solari
- Esperimenti con neutrini dal CERN
- Rivelazione di supernovae
- Ricerca di decadimenti rari e misura della massa

■ Ricerca di materia oscura

■ Fisica nucleare dei processi rari

■ Geofisica

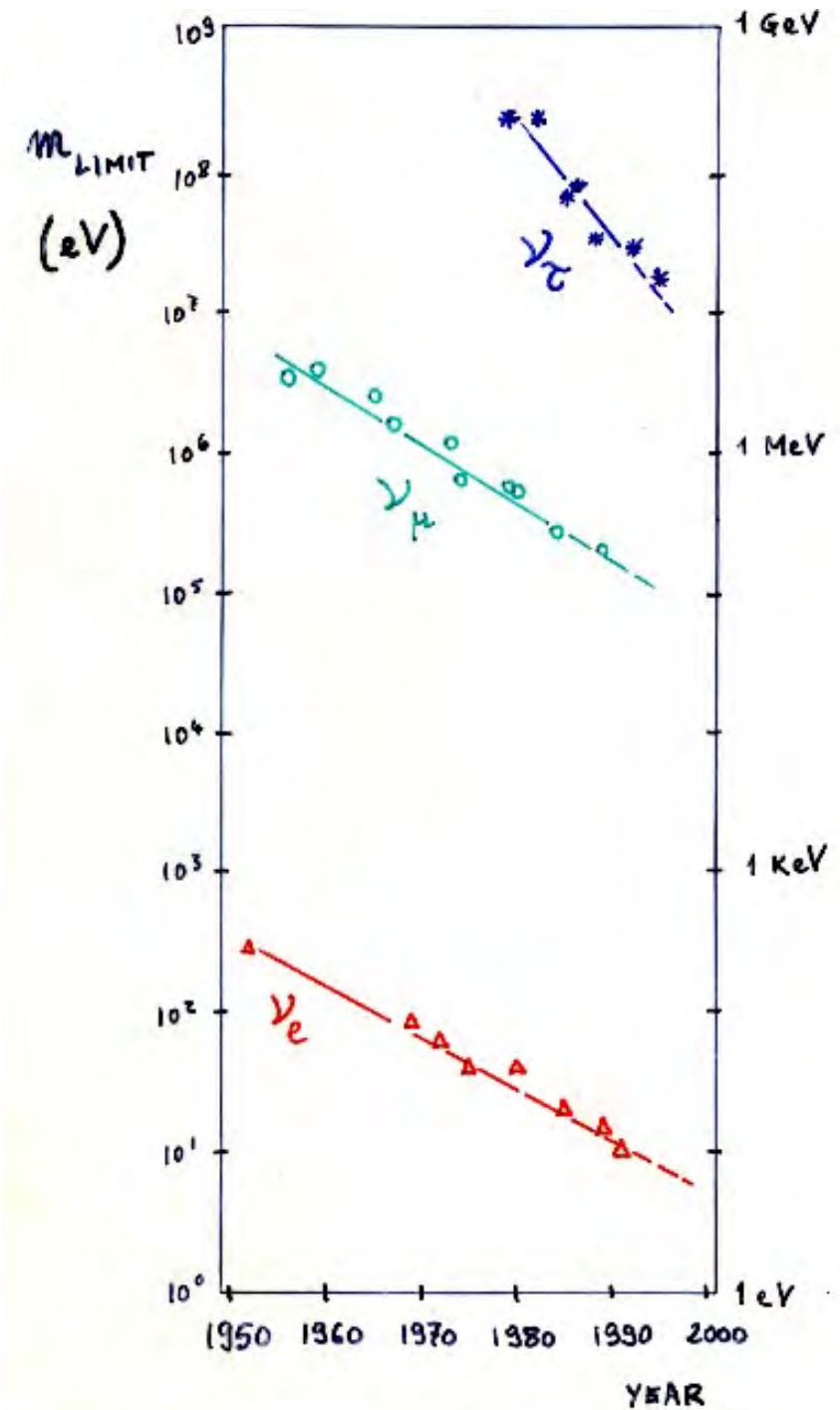
■ Biologia



Tunnel:	10.4 Km
Copertura:	~ 3200 m.w.e.
Riduzione flusso muoni:	~ 10⁶

Limiti Sperimentali per la Massa dei Neutrini

(50 anni di misure)



Oscillazioni dei Neutrini

- Idea della massa dei neutrini suggerita per la prima volta da Bruno Pontecorvo

**I Neutrini Interagiscono
(Produzione o Rivelazione) come
Autostati dell'Interazione Debole**

$|\nu_e\rangle$, $|\nu_\mu\rangle$, $|\nu_\tau\rangle$ = Autostati dell'Interazione Debole

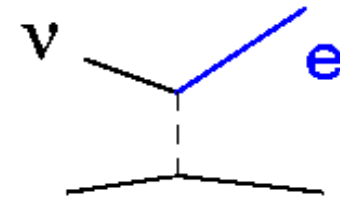
$|\nu_1\rangle$, $|\nu_2\rangle$, $|\nu_3\rangle$ = Autostati di Massa (H \rightarrow Evoluzione t)

• I Neutrini si propagano (evolvono) come
sovrapposizione di autostati di massa:
MESCOLAMENTO

Comparsa/Appearance



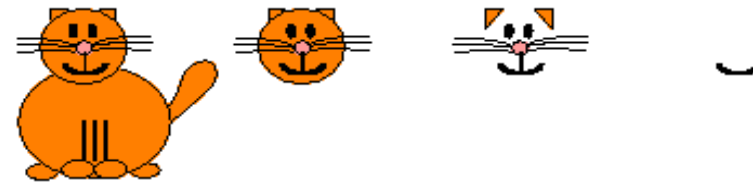
"Appearance Experiments" see the new neutrino type in the detector



A "Disappearance Experiment" observes fewer



than expected



Scomparsa/Desappearance

Esperimenti con Neutrini :

- 1) Sorgenti (Molto) Potenti
- 2) Apparatati (Molto) Sensibili
e (Molto) Massivi

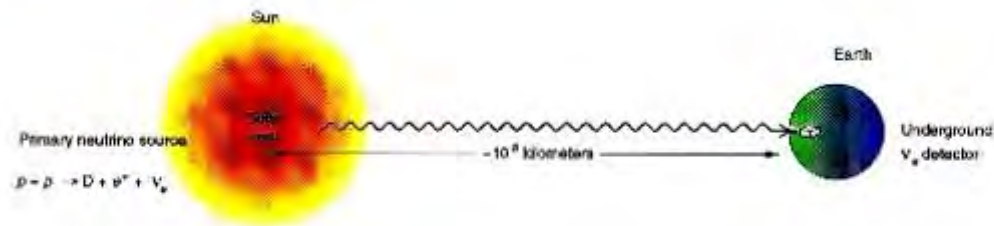
Sorgenti naturali:

Sole, Supernovae, Raggi cosmici

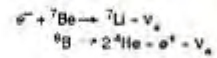
Sorgenti Artificiali:

Acceleratori, Reattori Nucleari

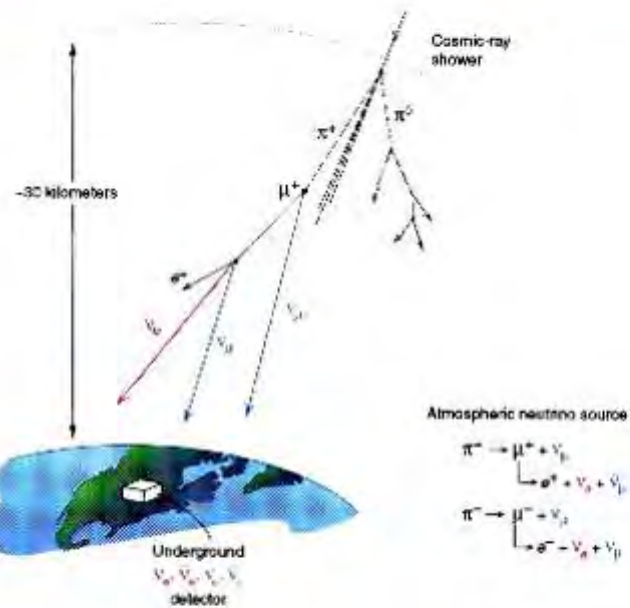
SOLAR ν : (ν_e)



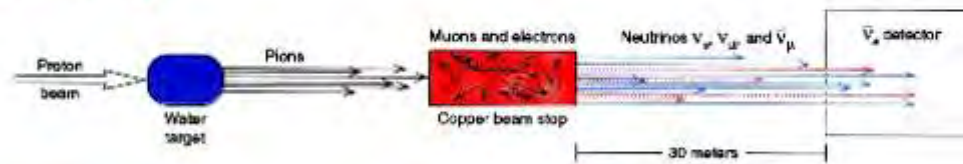
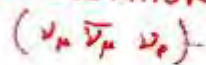
Other sources of neutrinos:



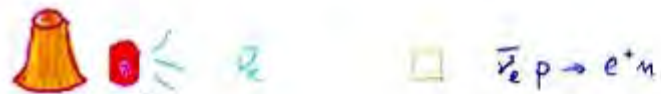
ATMOSPHERIC ν :



ACCELERATOR ν :



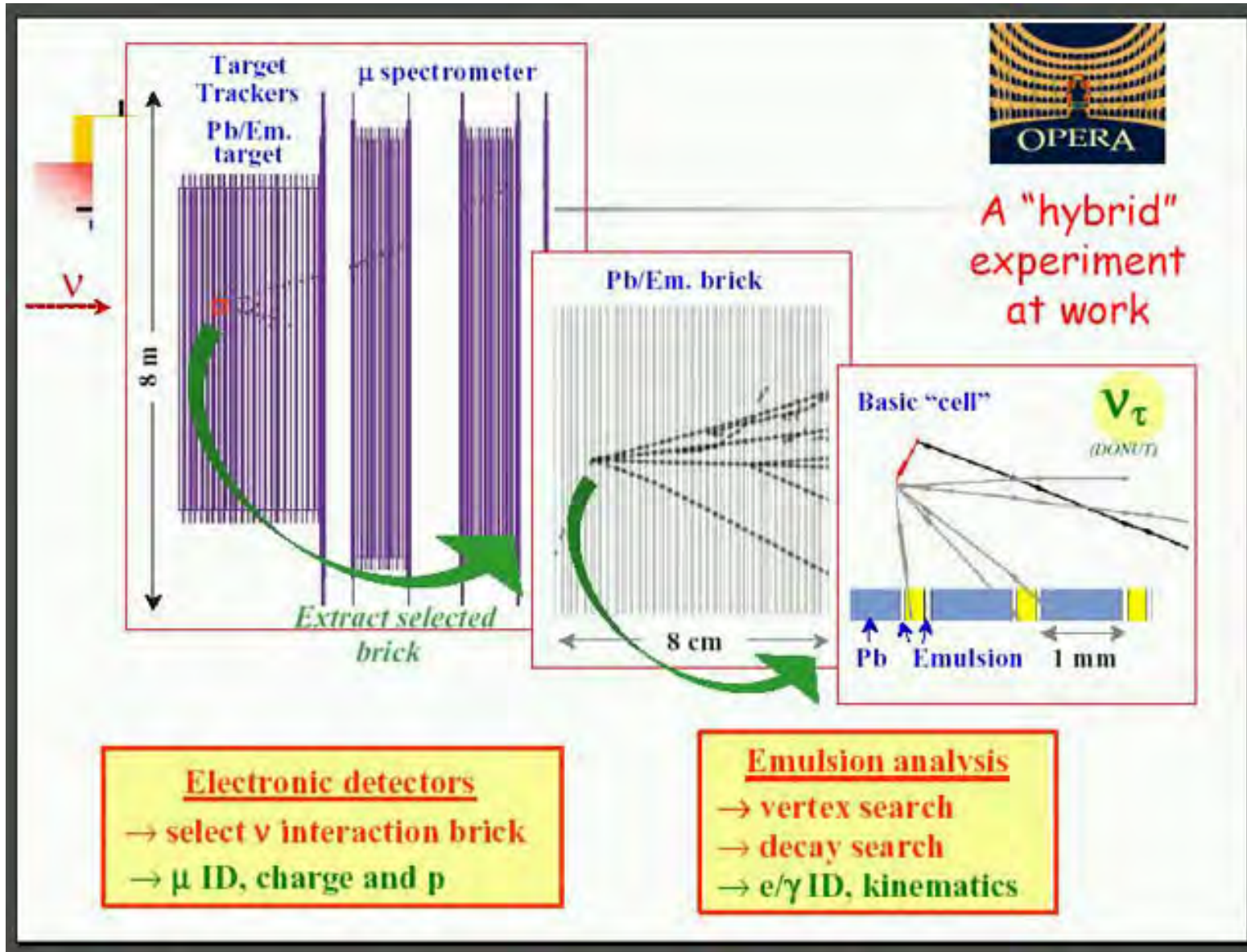
REACTOR ν :



Opera



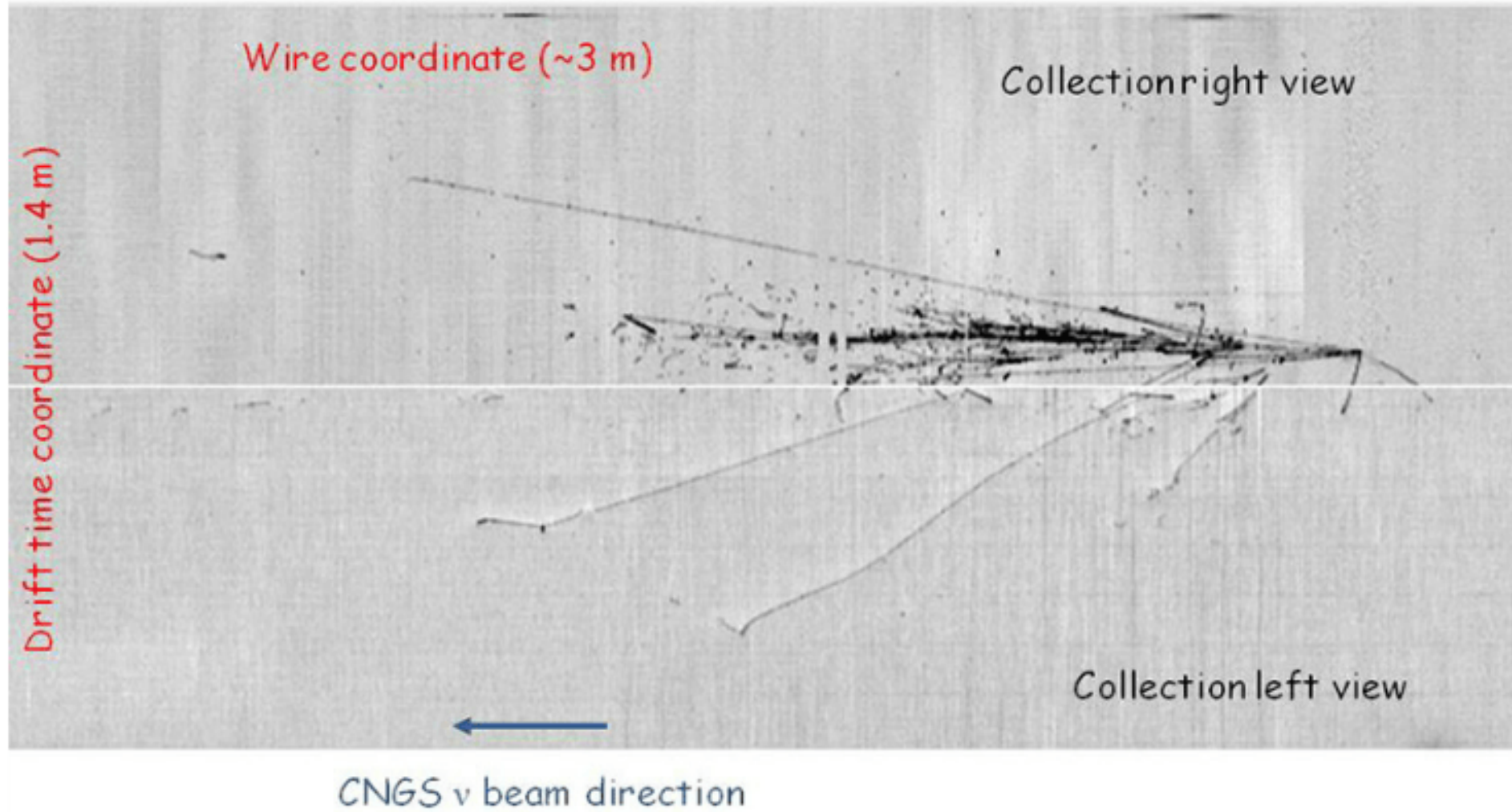
Opera



Icarus



Icarus



Astrofisica Nucleare e Subnucleare

(Fisica Astroparticellare/Astrofisica Particellare)

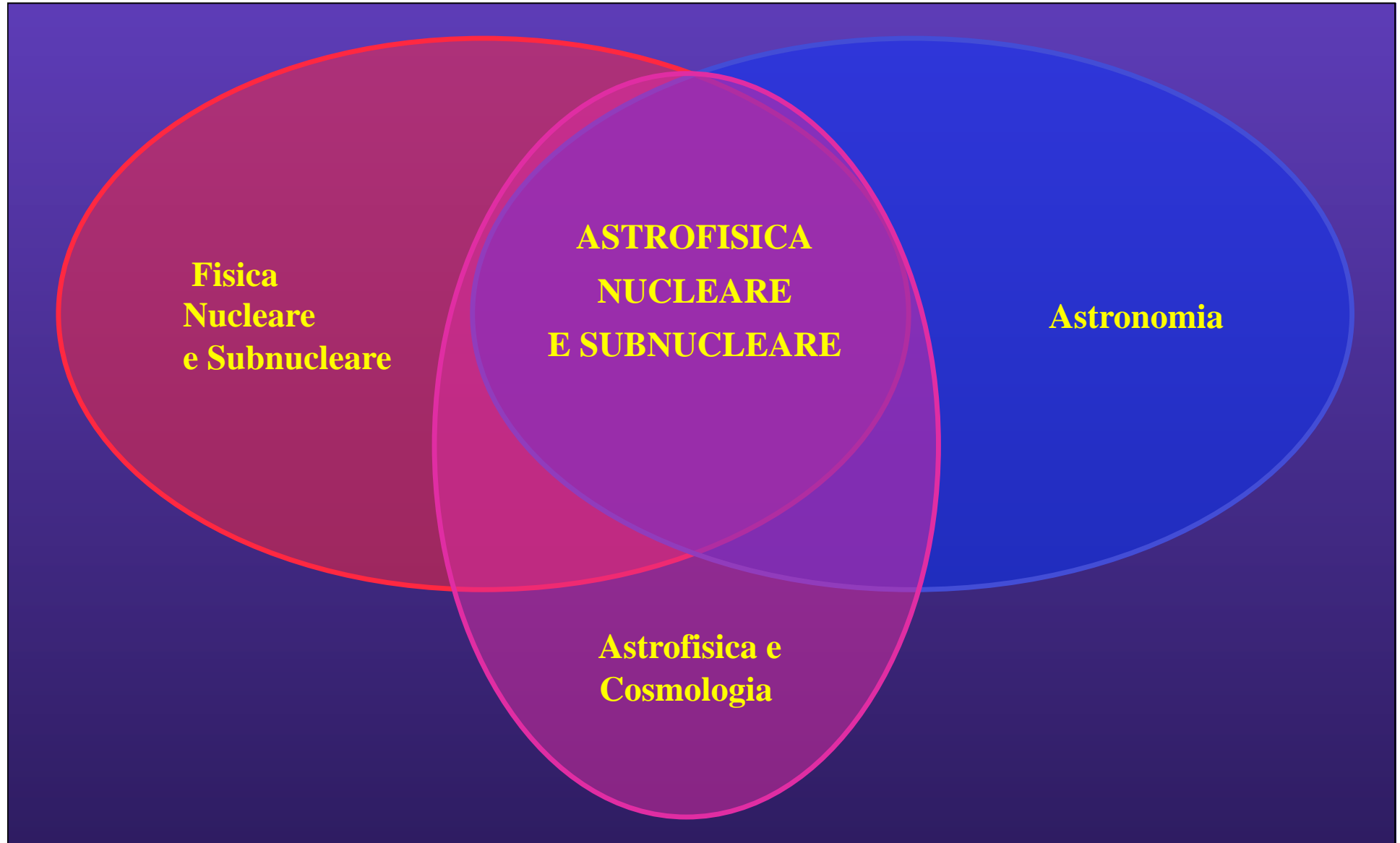
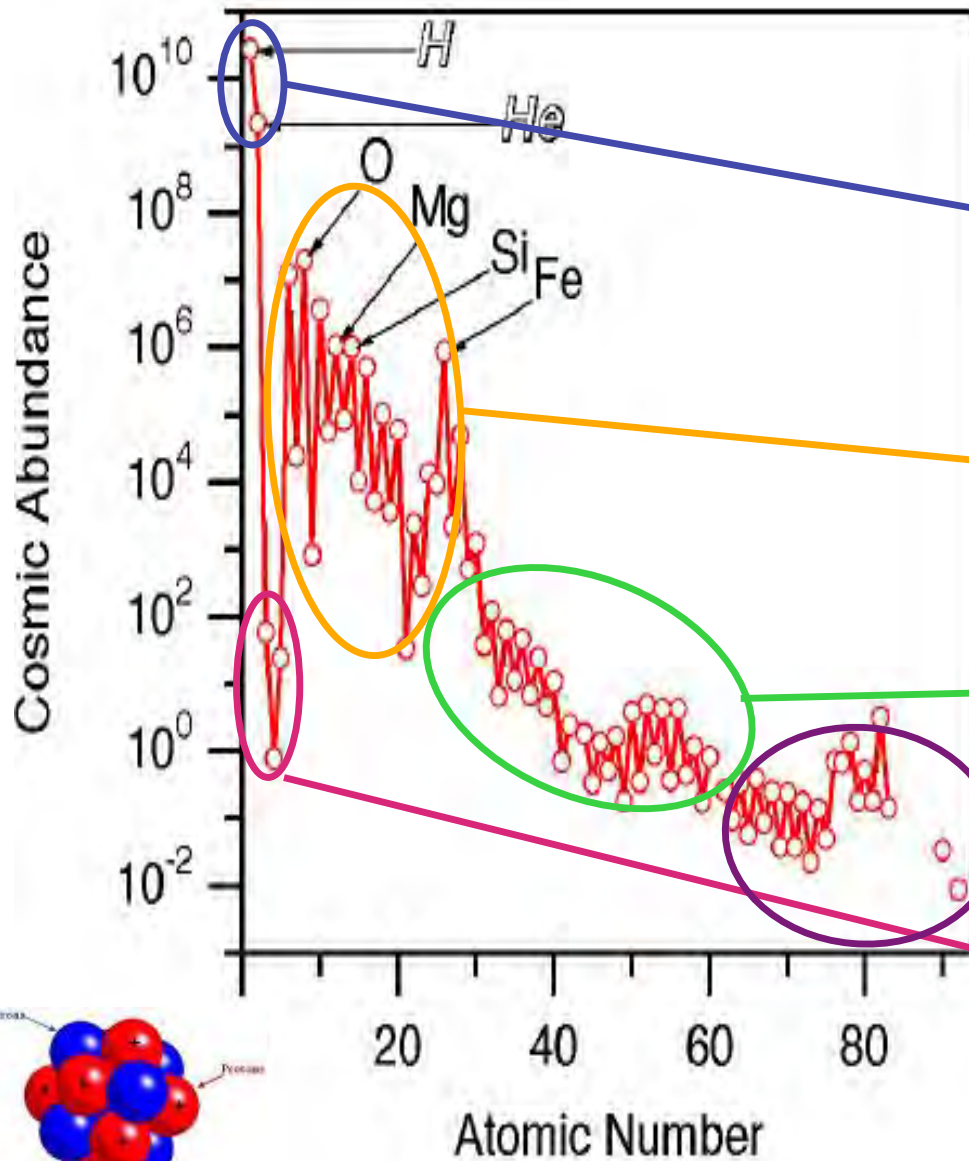


Tavola periodica degli elementi >>>>>

Periodic Table of the Elements																																		
IA											IIA	IIIA	IVA	VA	VIA	VIIA	VIIIA	IX																
1																	2	3	4	5	6	7	8	9	10									
2	Li																	Be	B	C	N	O	F	Ne										
3	Na																	Mg	Al	Si	P	S	Cl	Ar										
4	K																	Ca	Sc	Ti	V	Cr	Mn	Fe	Co	Ni	Cu	Zn	Ga	Ge	As	Se	Br	Kr
5	Rb																	Sr	Y	Zr	Nb	Mo	Tc	Ru	Rh	Pd	Ag	Cd	In	Sn	Sb	Te	I	Xe
6	Cs																	Ba	La	Hf	Ta	W	Re	Os	Ir	Pt	Au	Hg	Tl	Pb	Bi	Po	At	Rn
7	Fr																	Ra	Ac	Rf	Hf	Sg	Bh	Hs	Mt	Ds	Rg	Cn	Fl	Mc	Lv	Uu	Uub	Tl
*Lanthanoids: Ce Pr Nd Pm Sm Eu Gd Tb Dy Ho Er Tm Yb Lu																																		
+Actinoids: Th Pa U Np Pu Am Cm Bk Cf Es Fm Md No Lr																																		



Origine

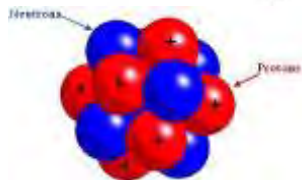
Big Bang Nucleosintesi

Stelle calde

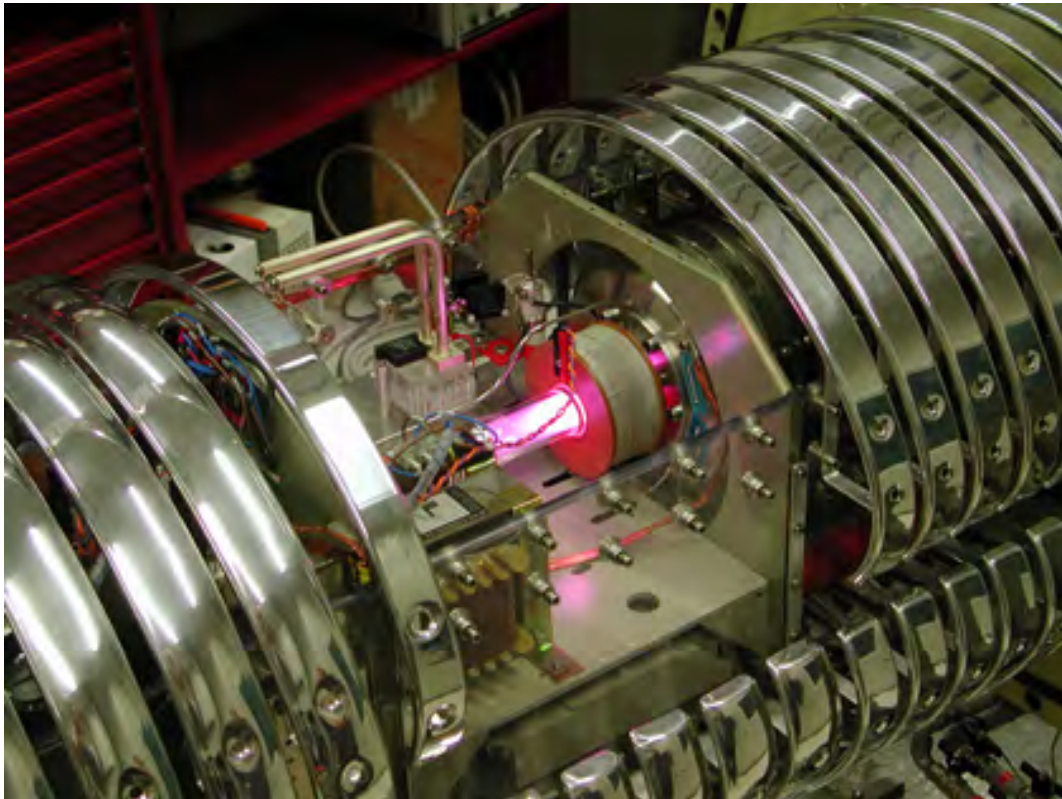
Esplosioni di Supernova

Merging di Stelle di Neutroni

Interazioni con raggi cosmici



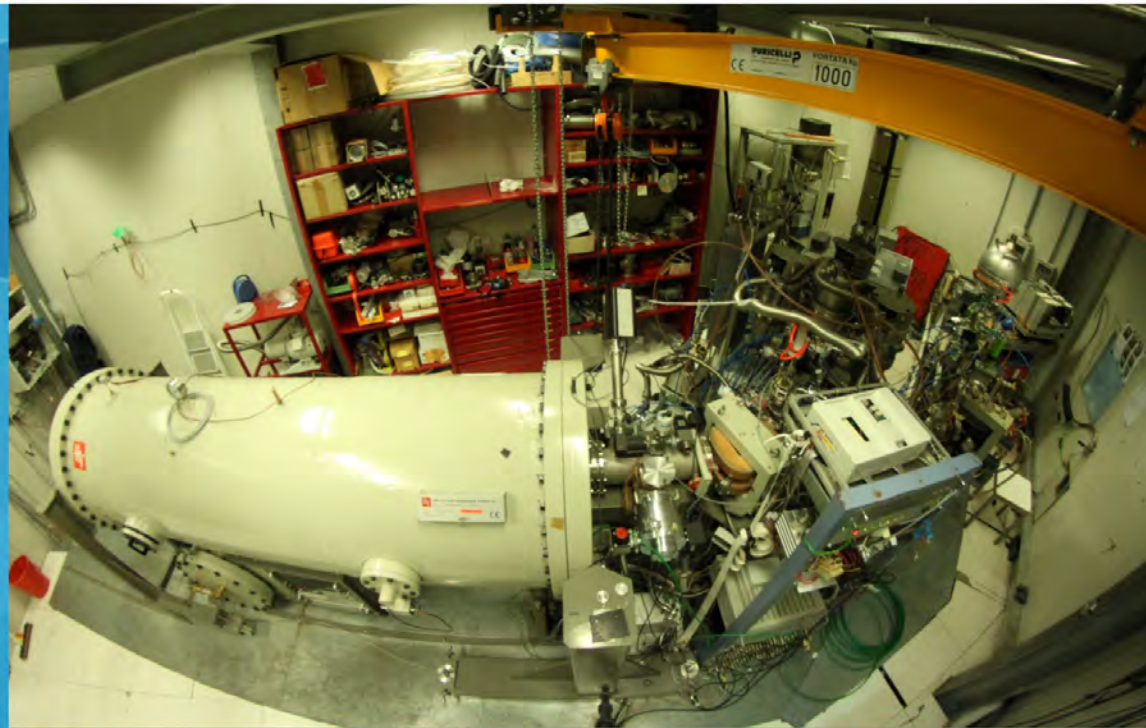
Astrofisica Nucleare - LUNA



The LUNA (Laboratory for Underground Nuclear Astrophysics) main aim is to investigate nuclear fusion reactions that generate most of the stellar energy and allowed the synthesis of the elements in stars and in the primordial Universe. Such reactions have a very low probability (cross section) at energies of astrophysical interest and are thus very difficult to be measured in a laboratory at the Earth's surface, where the cosmic background would mask the feeble signal. During the last 25 years, LUNA installed two accelerators in the underground laboratories of LNGS and measured a few key reactions of the Hydrogen burning and of primordial nucleosynthesis.

Astrofisica Nucleare - LUNA

LUNA 400 kV accelerator



$E_{\text{beam}} \approx 50 - 400 \text{ keV}$

$I_{\text{max}} \approx 500 \mu\text{A}$ protons

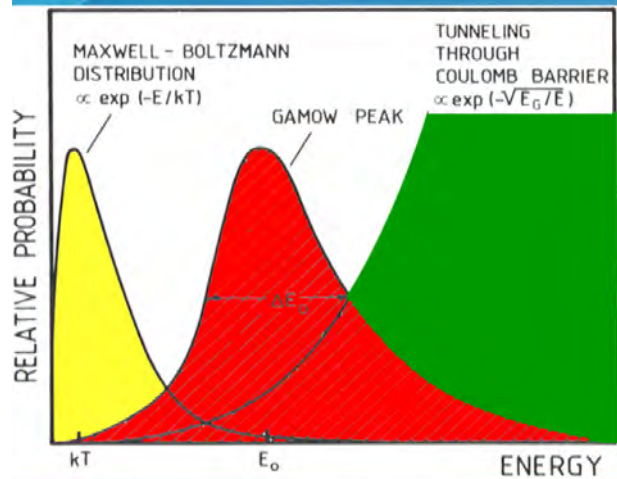
Energy spread $\approx 70 \text{ eV}$

$I_{\text{max}} \approx 250 \mu\text{A}$ alphas

Long term stability $\approx 5\text{eV/h}$

Astrofisica Nucleare - LUNA

Underground nuclear astrophysics: Why?



Sun:

$$kT = 1 \text{ keV}$$

$$E_c \approx 0.5-2 \text{ MeV}$$

$$E_0 \approx 5-30 \text{ keV}$$

for reactions of H burning



kT but also $E_0 \ll E_c$!!

$$\sigma(E) = \frac{1}{E} \exp(-31.29 Z_1 Z_2 \sqrt{\mu/E}) S(E)$$

Cross sections in the range of pb-fb at stellar energies

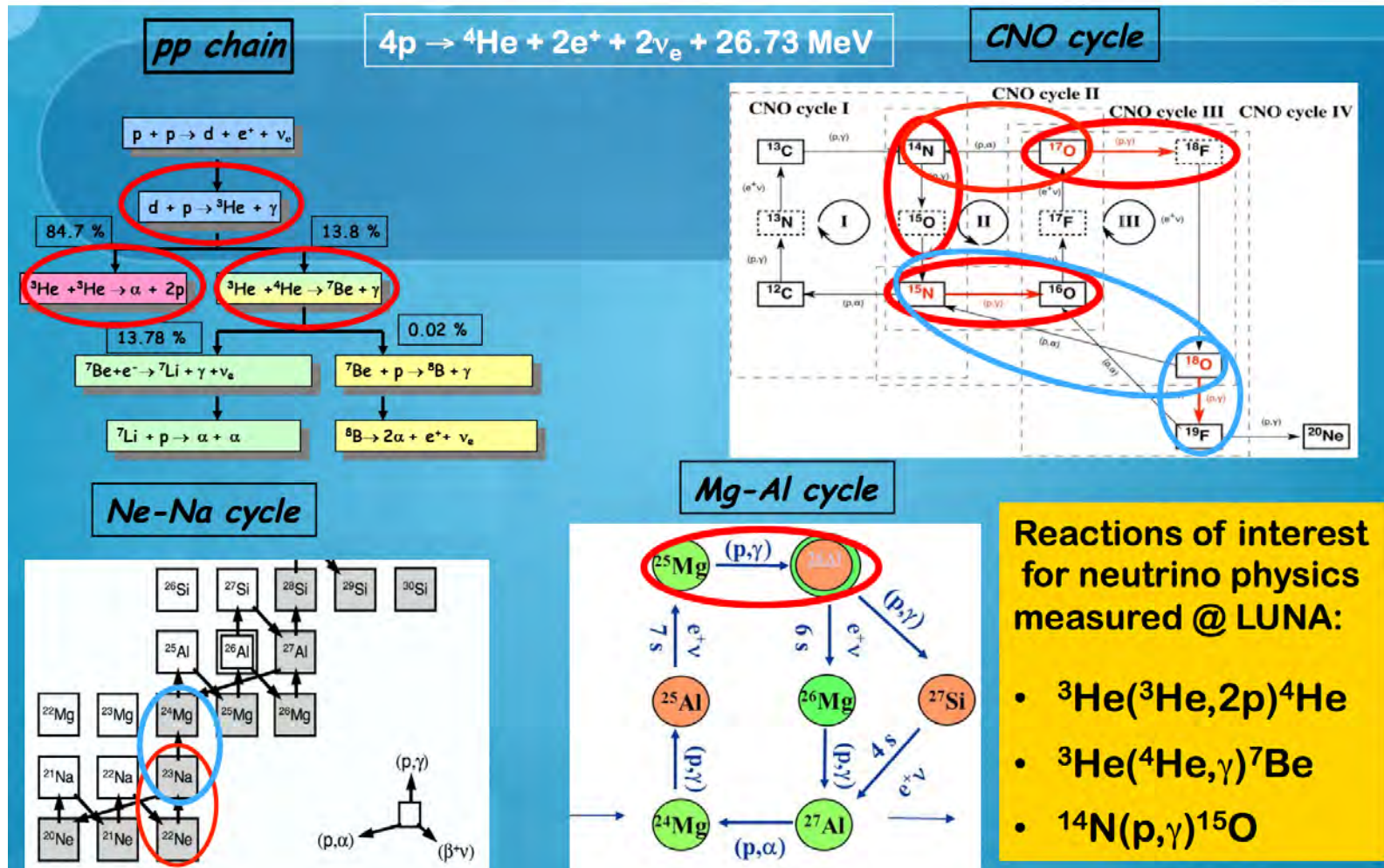


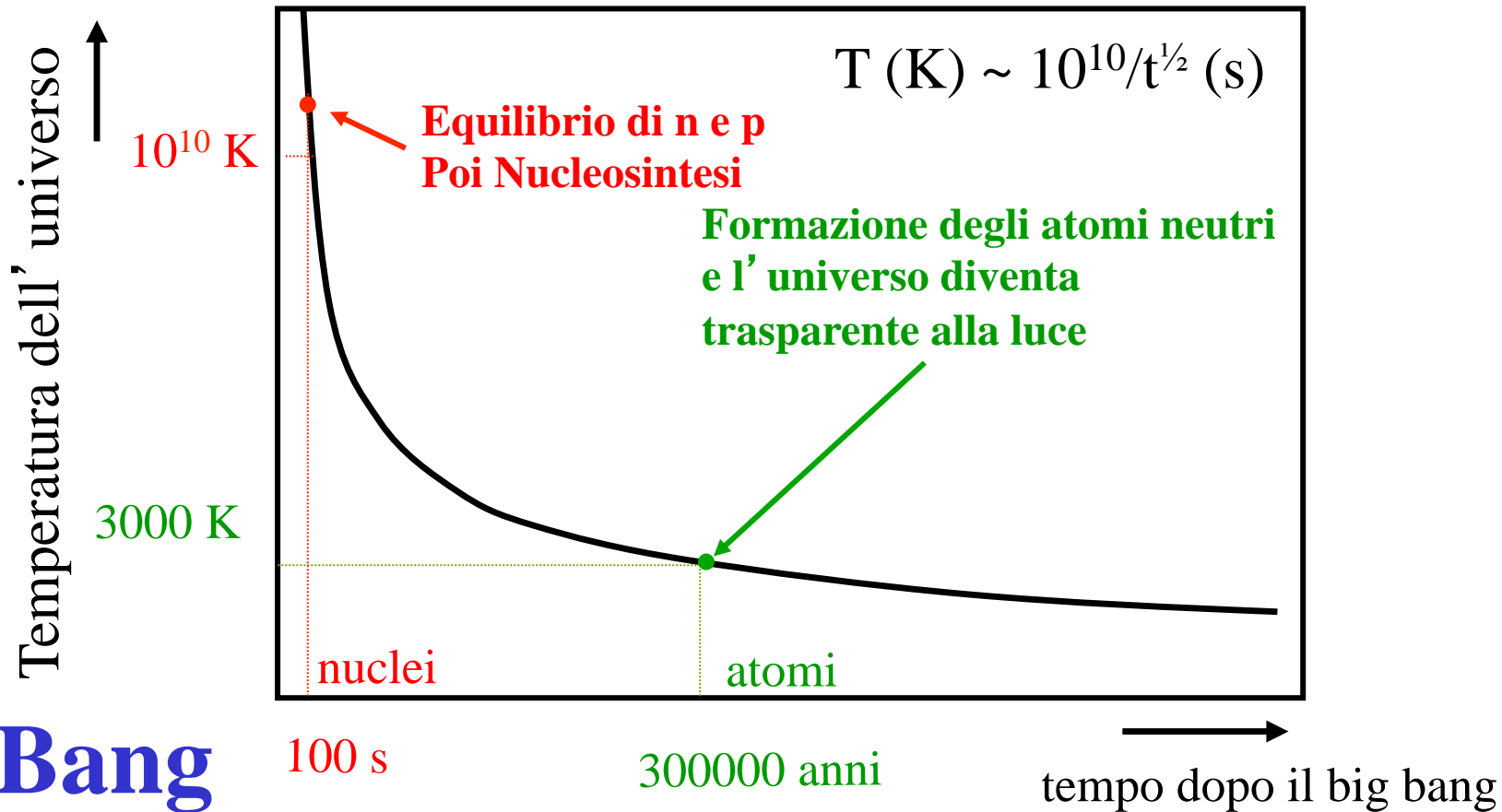
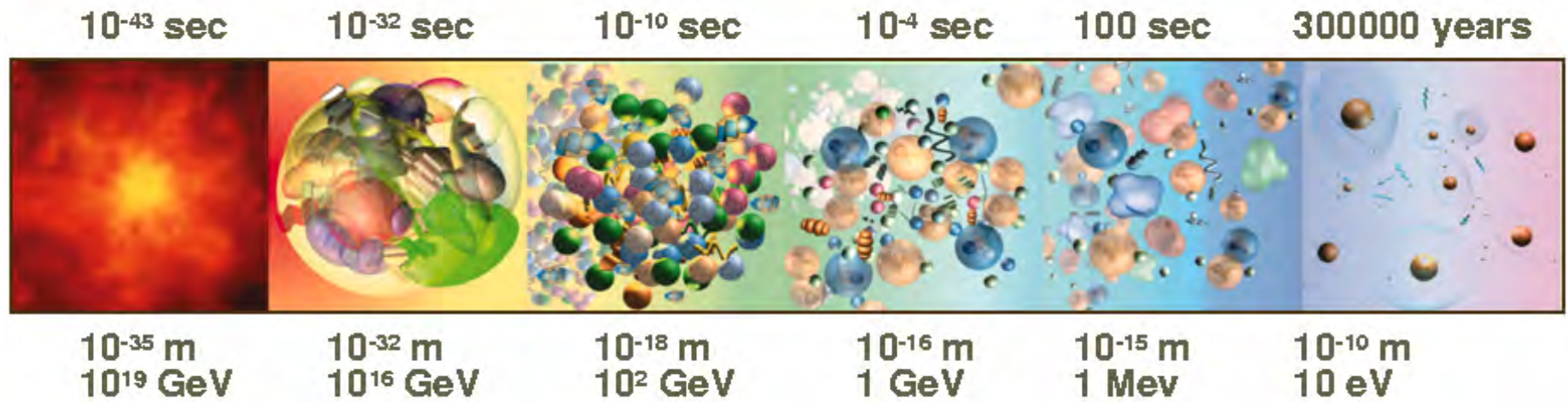
with typical laboratory conditions reaction rate R can be as low as few events per month

Astrophysical factor

Astrofisica Nucleare - LUNA

25 years @ LUNA : H burning

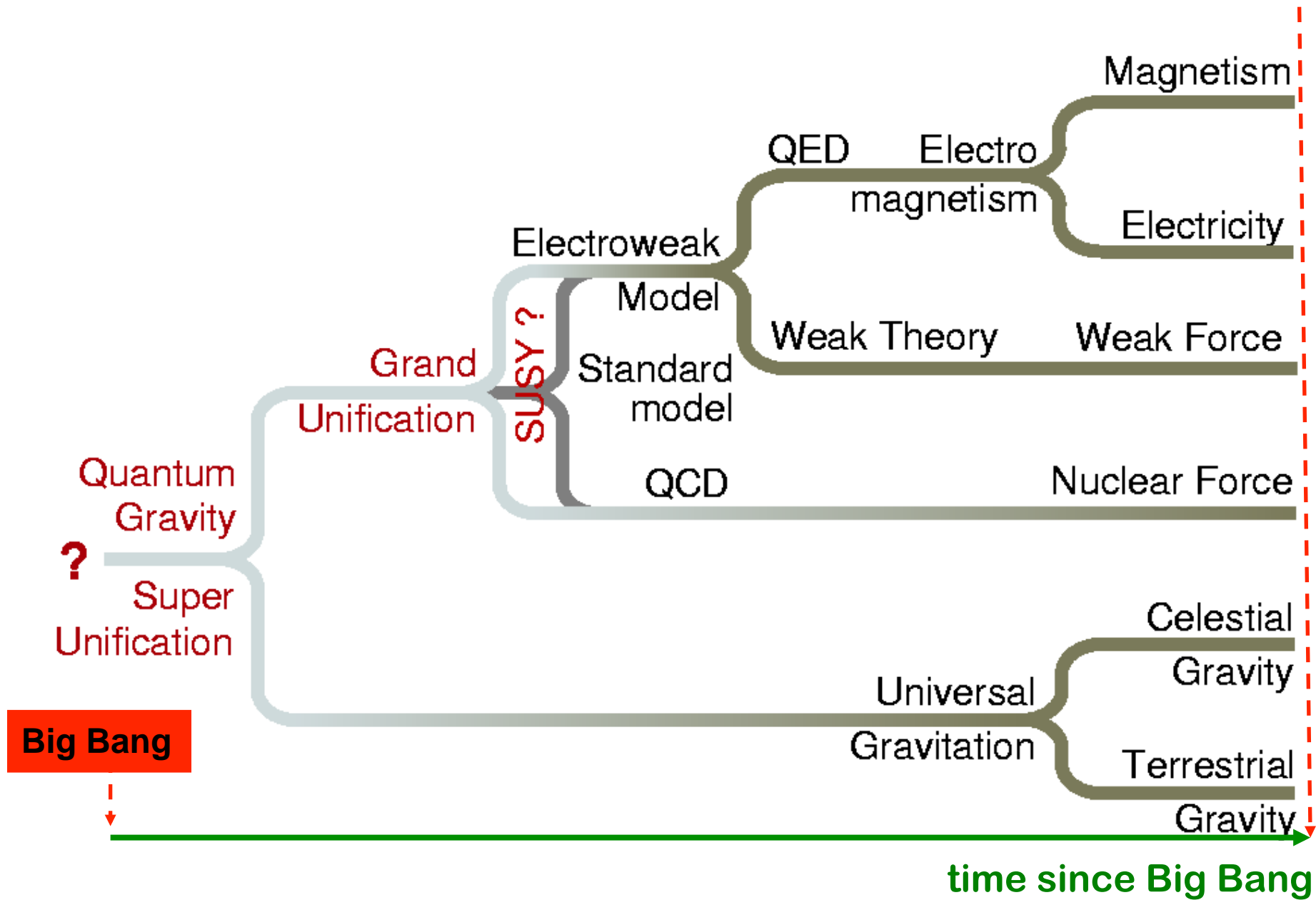




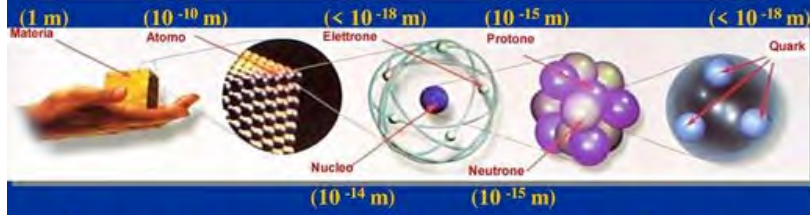
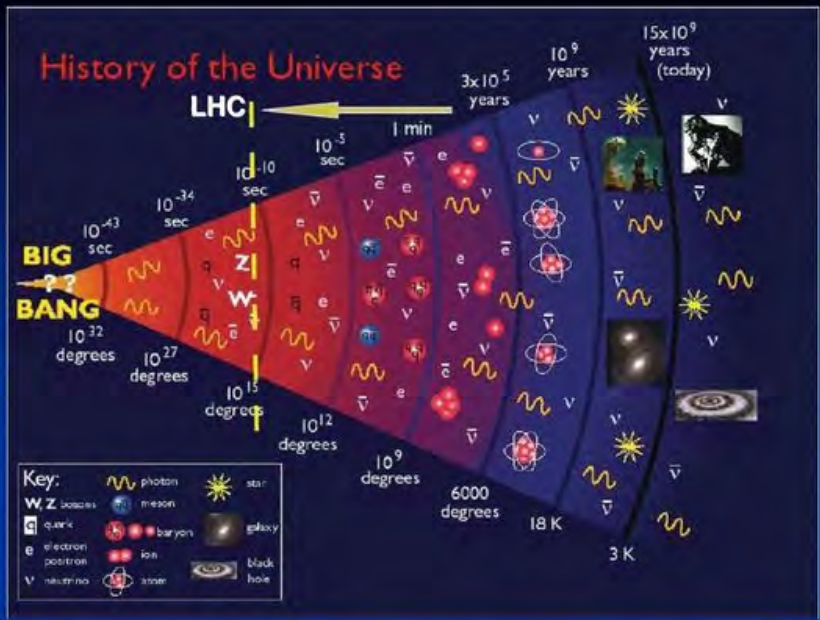
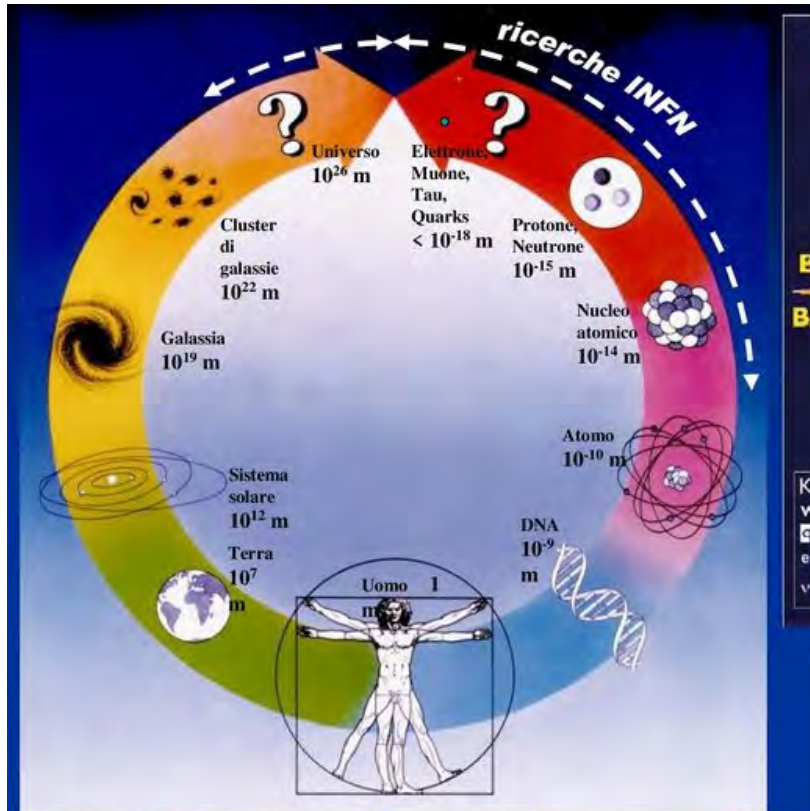
Big Bang

Unificazione delle Forze

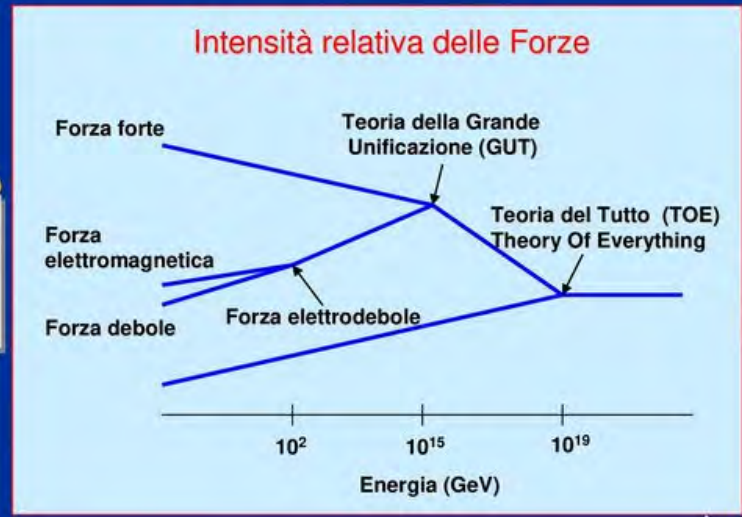
Today



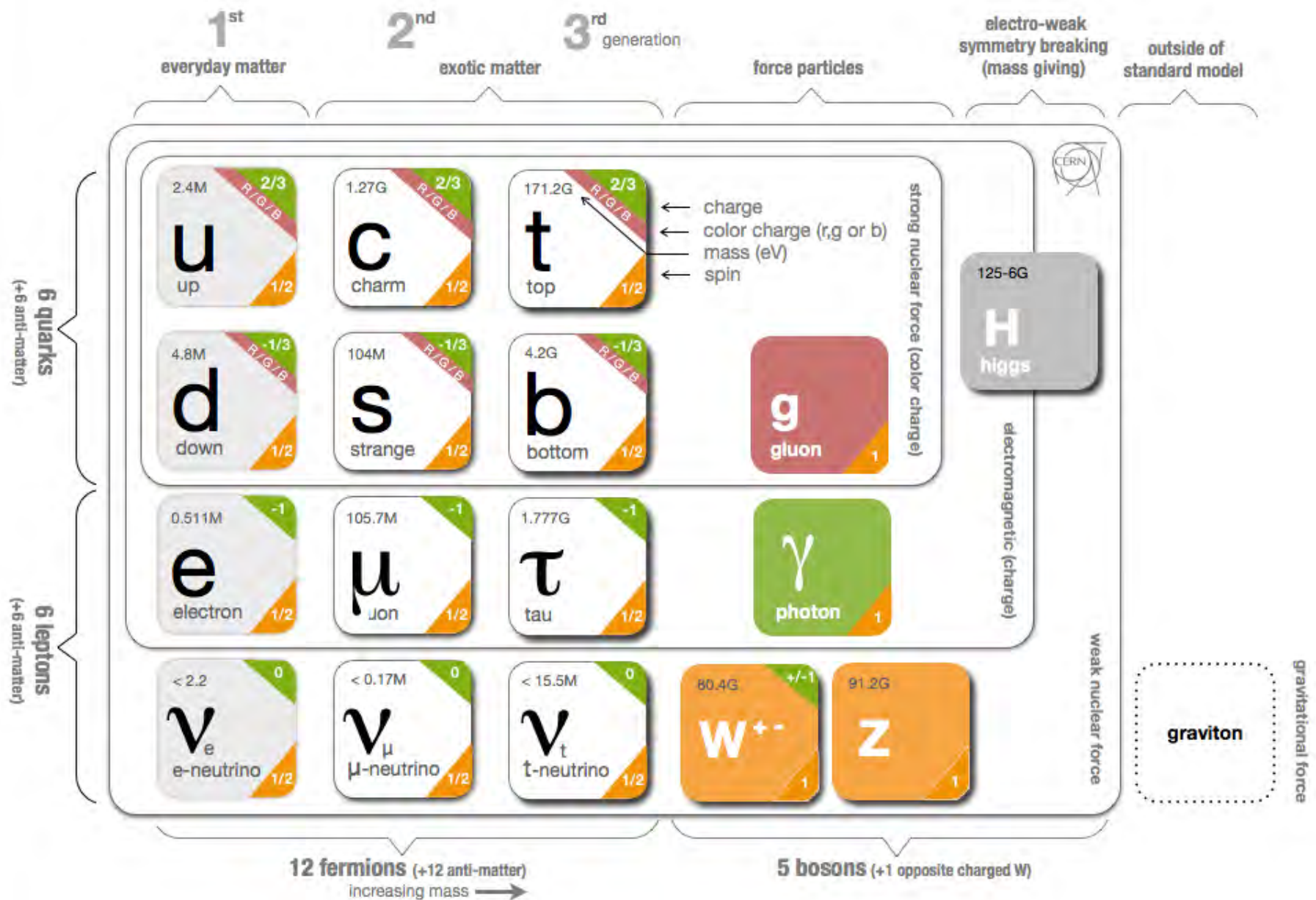
Universe and Particles



Costituenti elementari, Interazioni fondamentali, Bosone di Higgs, Antimateria, Materia oscura, Raggi cosmici di alta energia, Neutrini, Onde gravitazionali, Fisica del Nucleo, Astrofisica nucleare, Nuova Fisica oltre il Modello Standard (supersimmetria, ...)

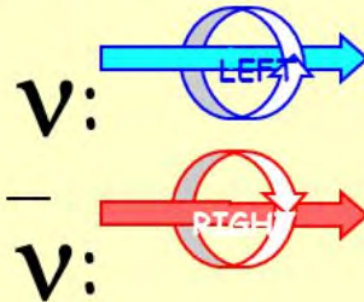


MODELLO STANDARD : Fermioni (Costituenti) e Bosoni (Mediatori)



La fisica del neutrino

Dirac or Majorana neutrino?



$$\nu \neq \bar{\nu}$$

$$\nu = \bar{\nu}$$



Majorana
=>1937



Dirac particle

ν

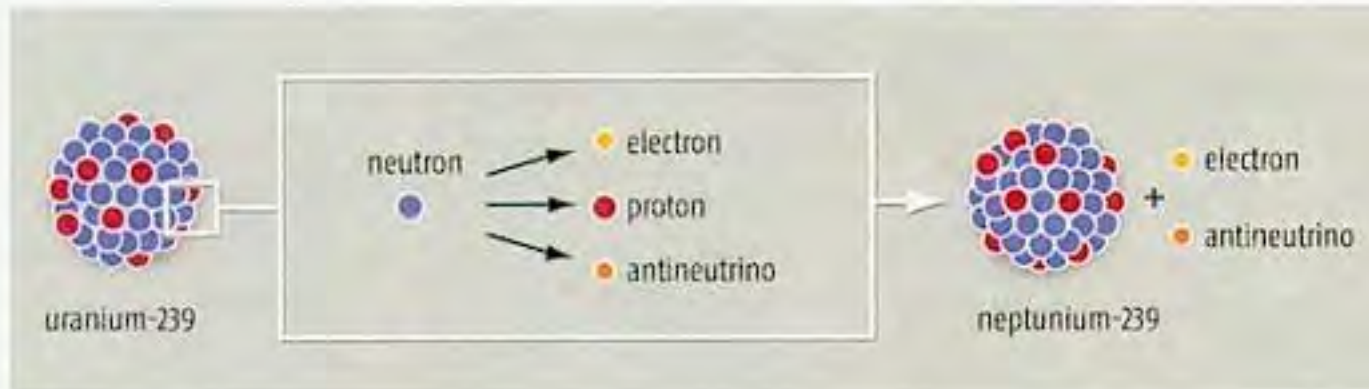
Majorana particle



Neutrino-less double beta decay

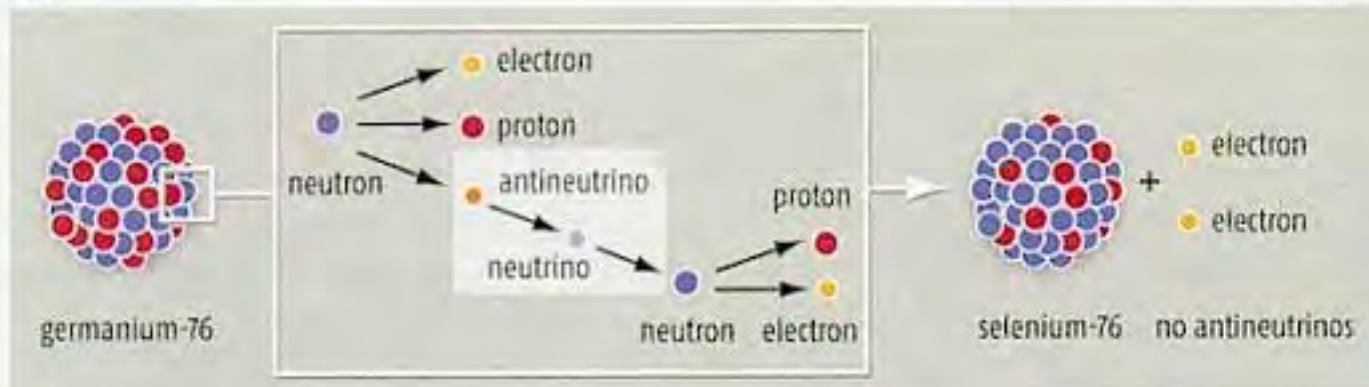
Normal beta decay

Radioactive uranium-239 decays into neptunium and spits out an electron plus an antineutrino

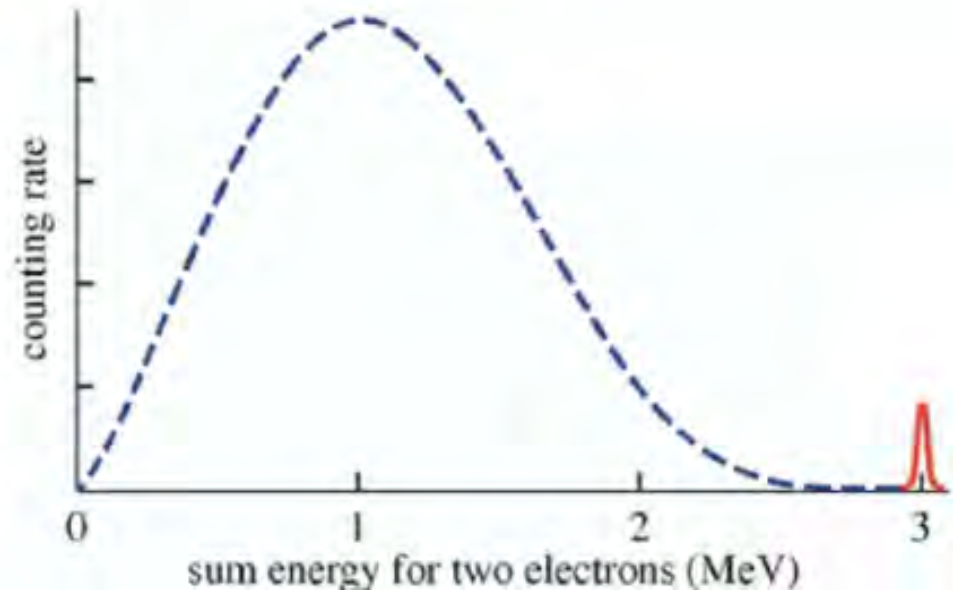
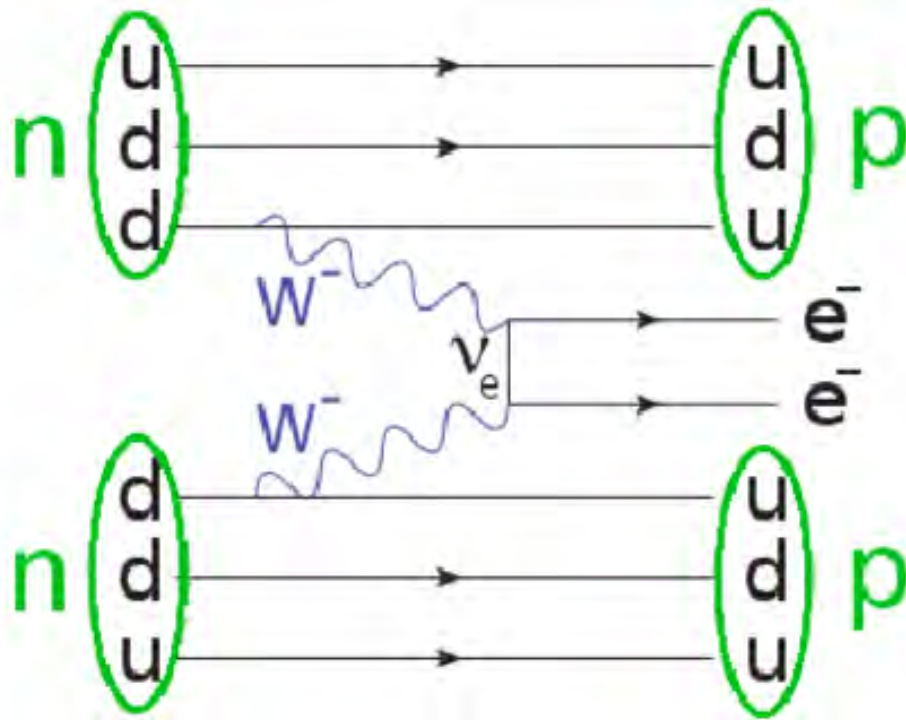


Neutrinoless double-beta decay

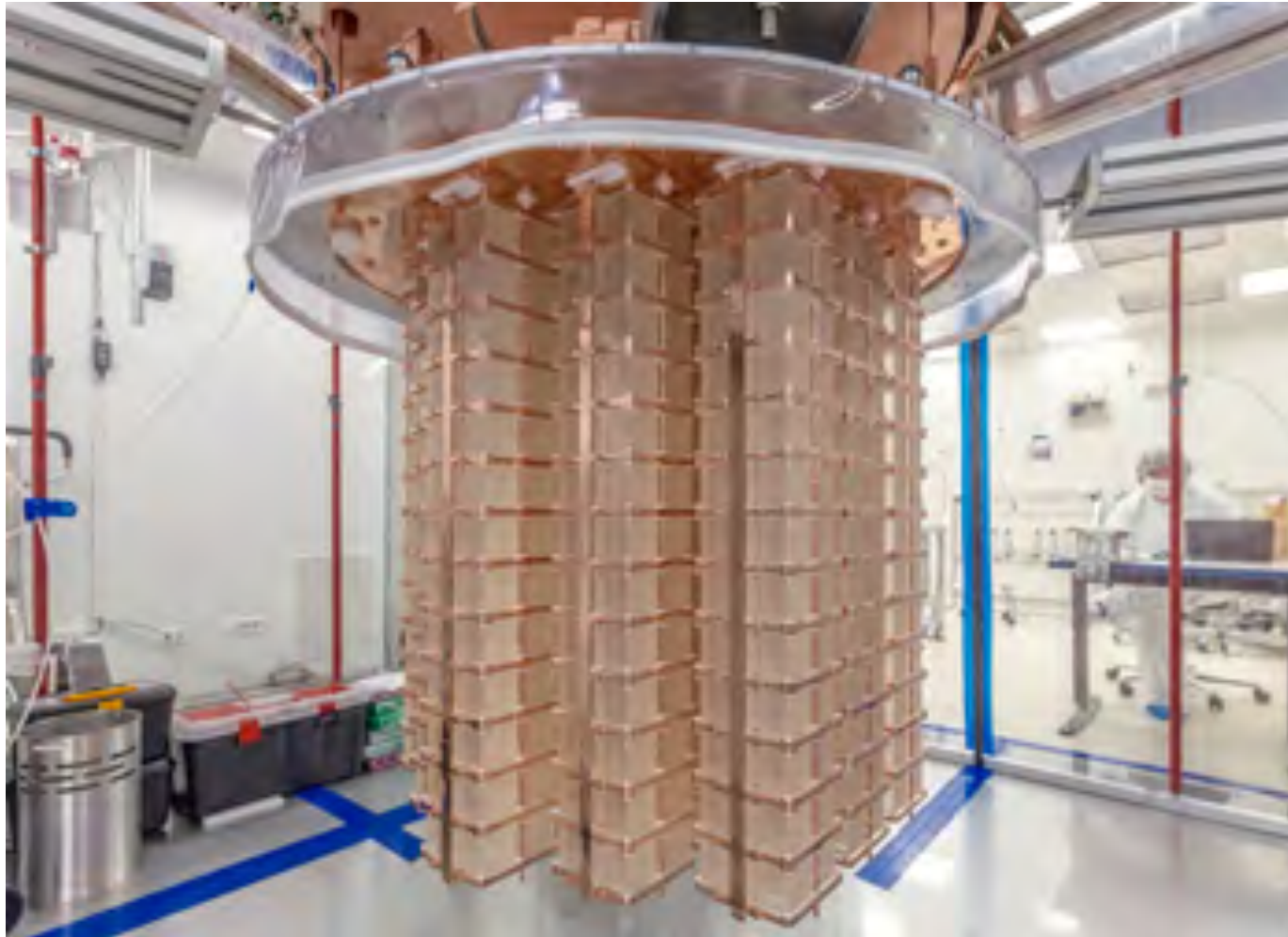
One neutron undergoes normal beta decay and emits an antineutrino. This is absorbed by a second neutron, which decays into a proton and an electron. This can only happen if the antineutrino can transform into a neutrino



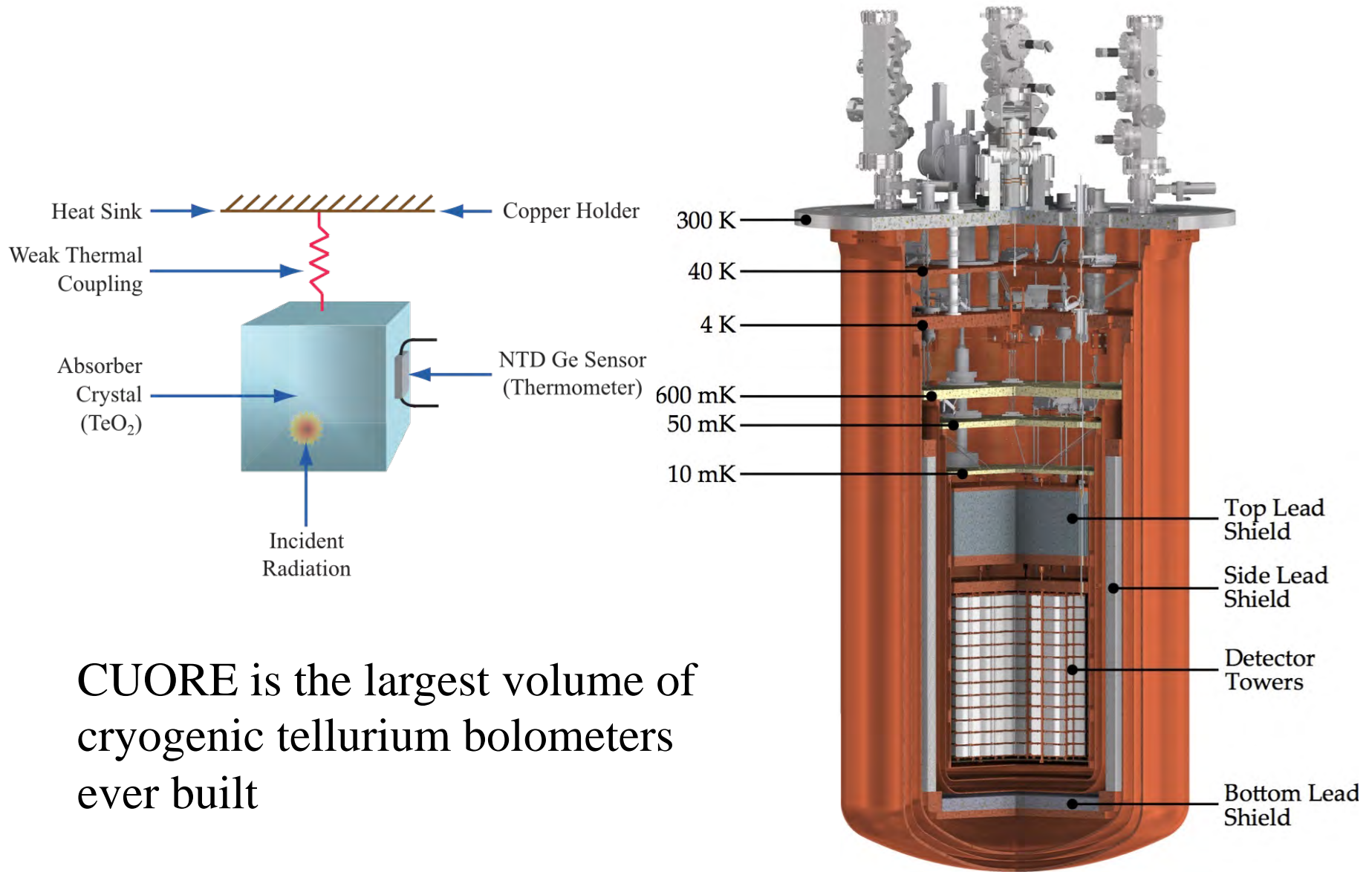
Neutrino-less double beta decay



Cuore



Cuore



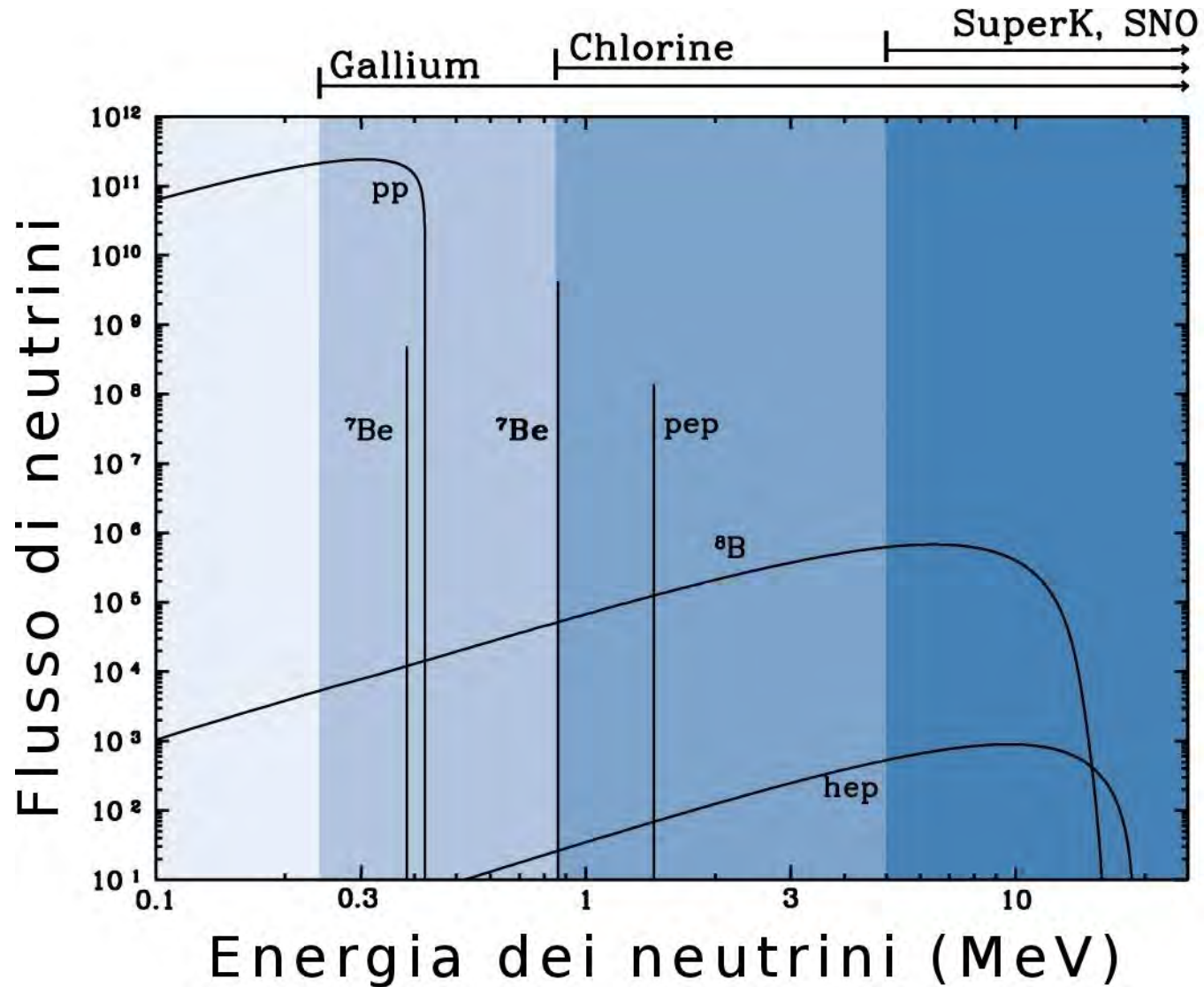
CUORE is the largest volume of cryogenic tellurium bolometers ever built

Gerda

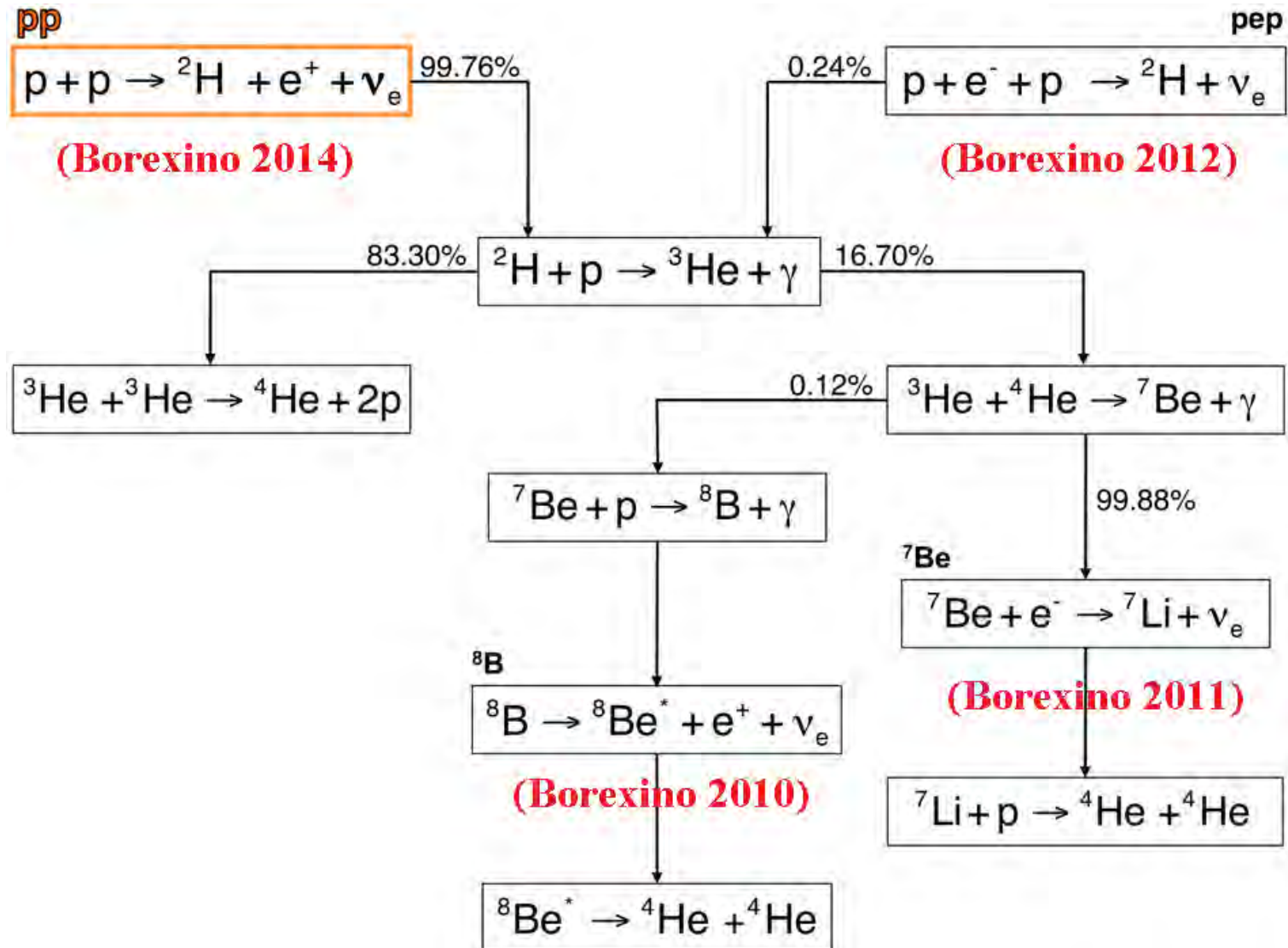


The GERDA experiment has been proposed in 2004 as a new ^{76}Ge double-beta decay experiment at LNGS. The GERDA installation is a facility with germanium detectors made out of isotopically enriched material.

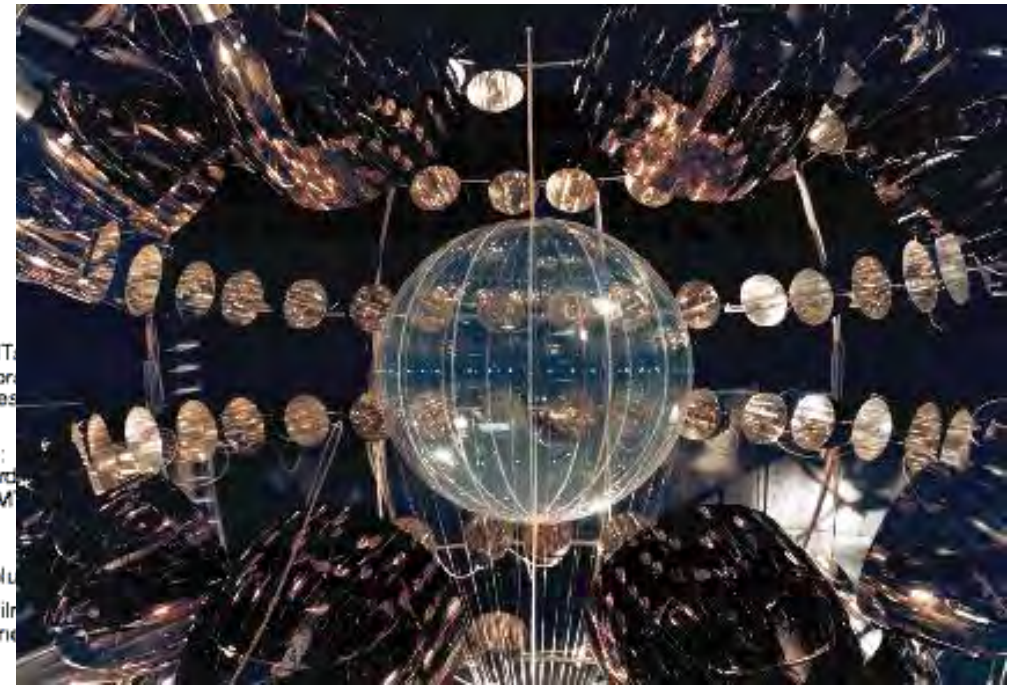
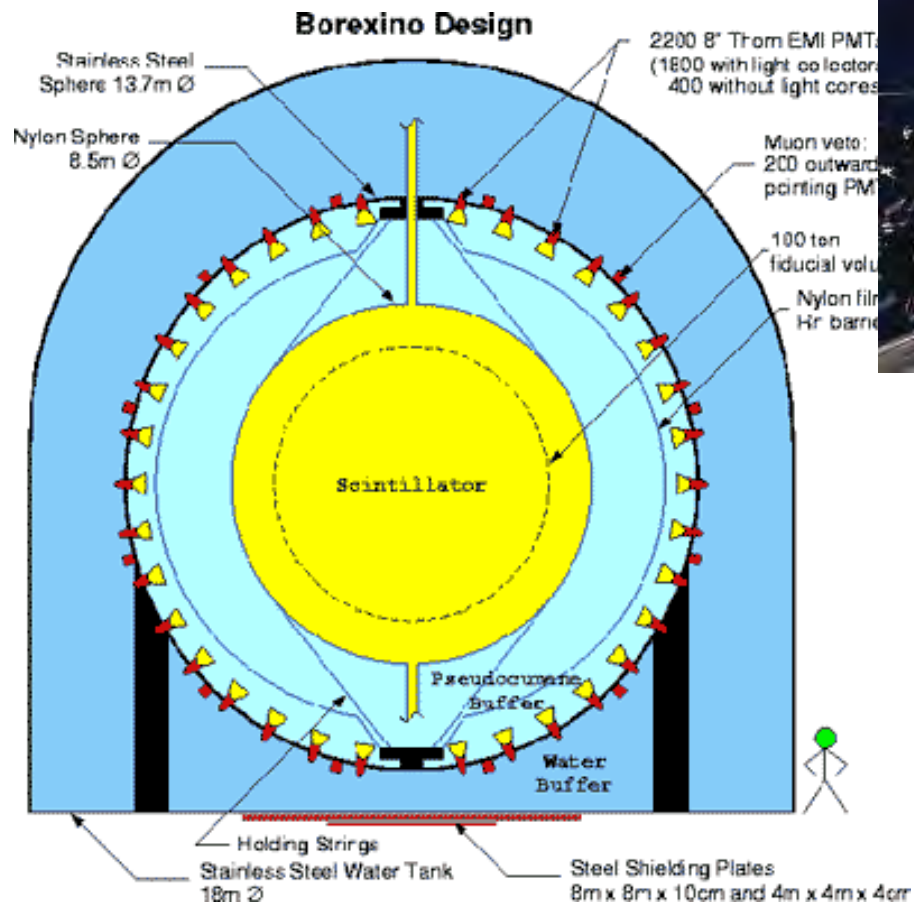
Neutrini Solari



Neutrini Solari

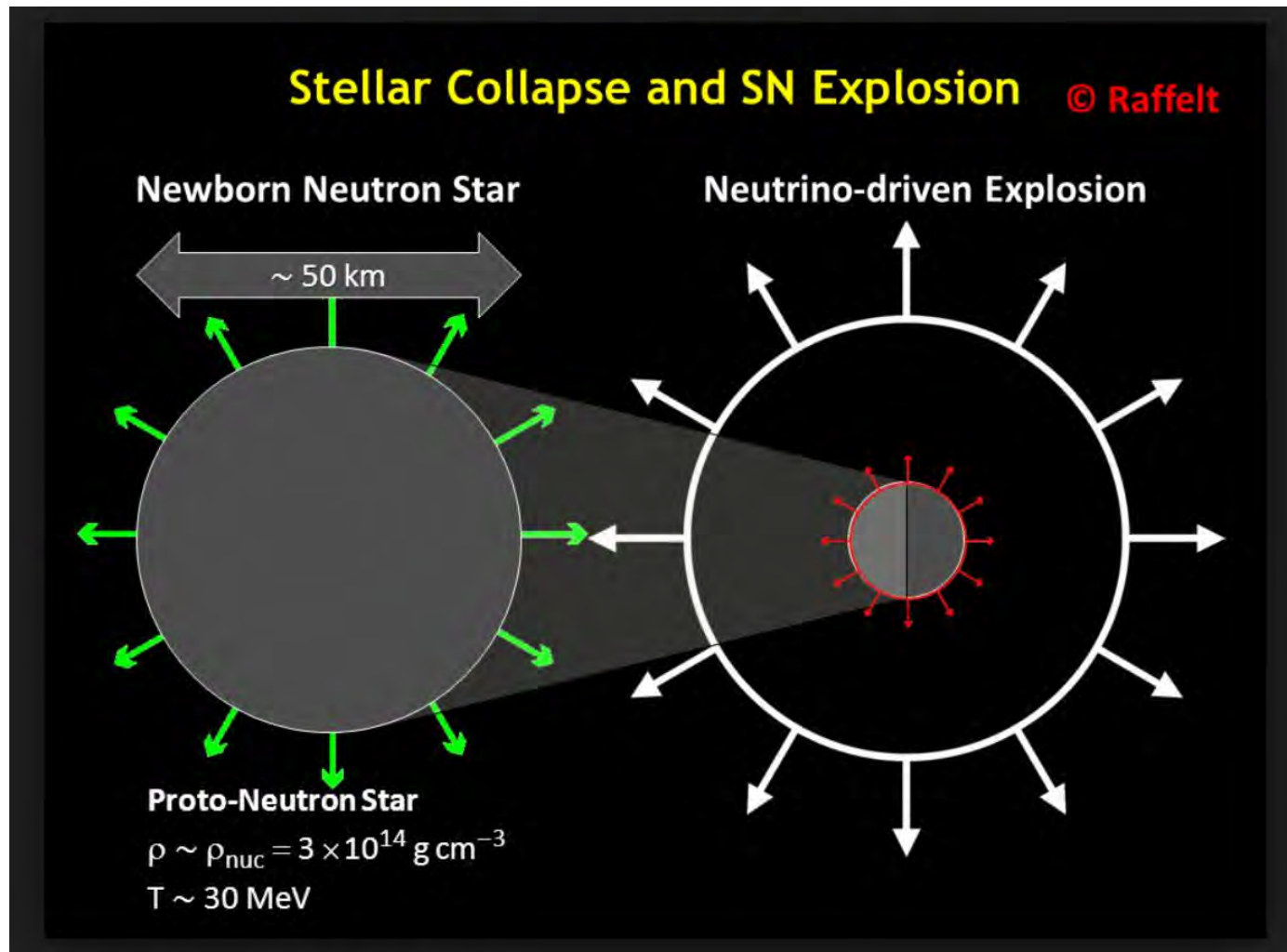


Borexino

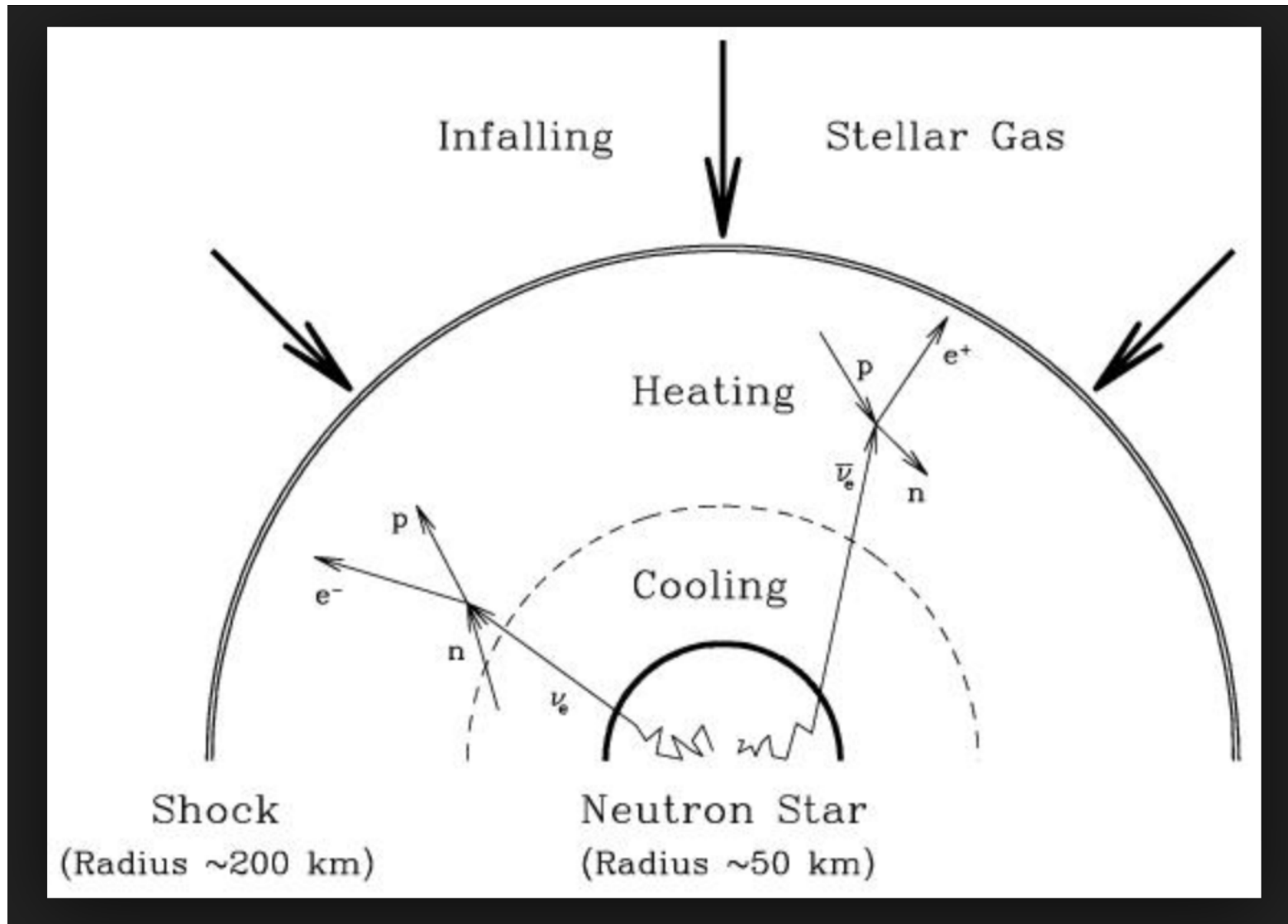


It is a large liquid scintillator detector whose main goal is the study of the properties of low energy solar neutrinos. It has achieved exceptional levels of radiopurity.

Neutrini da Supernova



Neutrini da Supernova



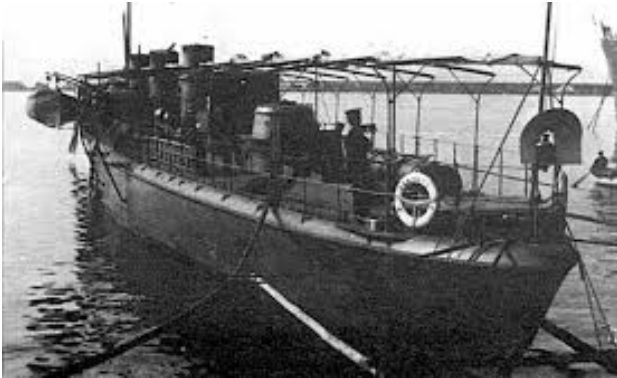
LVD



The detector consists of a three-dimensional array of 840 scintillator counters, 1.5 m³ each, arranged in a modular geometry

Raggi Cosmici

Nel fondo di laghi e del mare:
Pacini 1911!



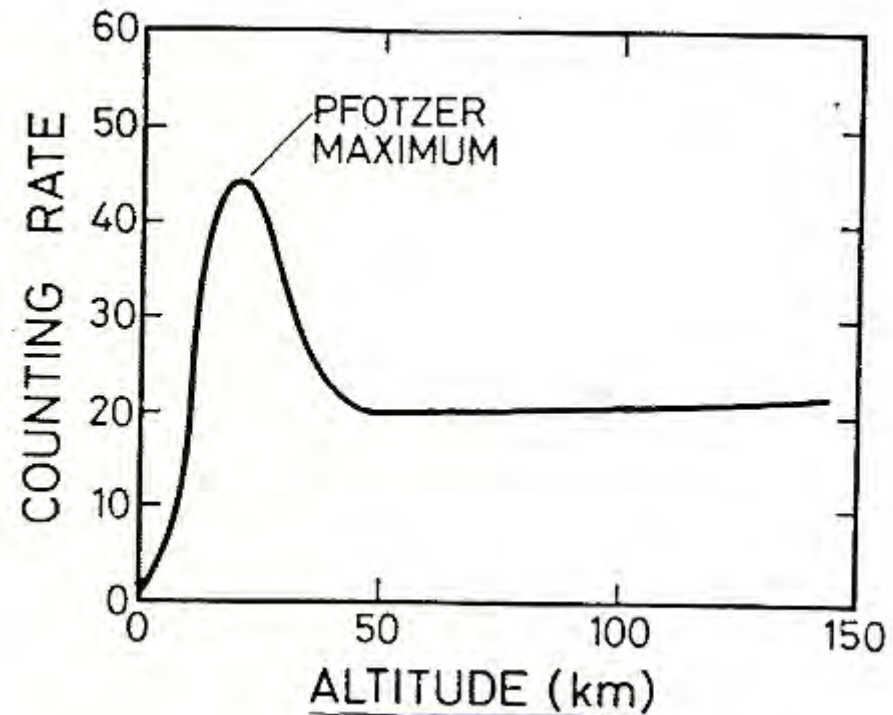
Ascese su Pallone:
Hess 1912 @ 5km



<u>Altitude</u> (km)	<u>Difference between observed</u> <u>ionisation and that at sea-level</u> (ions cm ⁻³) s ⁻¹
1	-1.5
2	+1.2
3	+4.2
4	+8.8
5	+16.9
6	+28.7
7	+44.2
8	+61.3
9	+80.4

Colhoster 1914
@ 9km

Millikan scettico sui “...Raggi ... Cosmici”



Composizione dei Raggi Cosmici

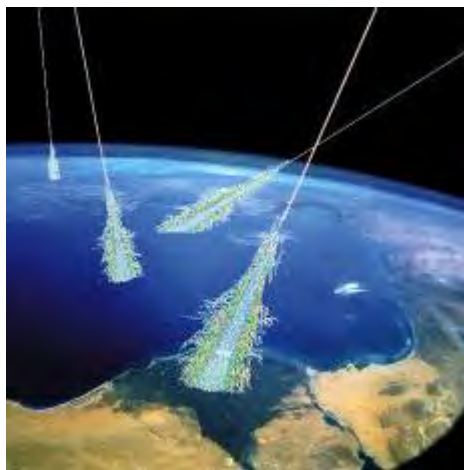
PRIMARI:

$p \sim 87 \%$, $\alpha \sim 10 \%$, $N \sim 1 \%$

$e \sim 2 \%$

$\gamma \sim 0.1 \%$, $\nu \sim 0.1 \%$?

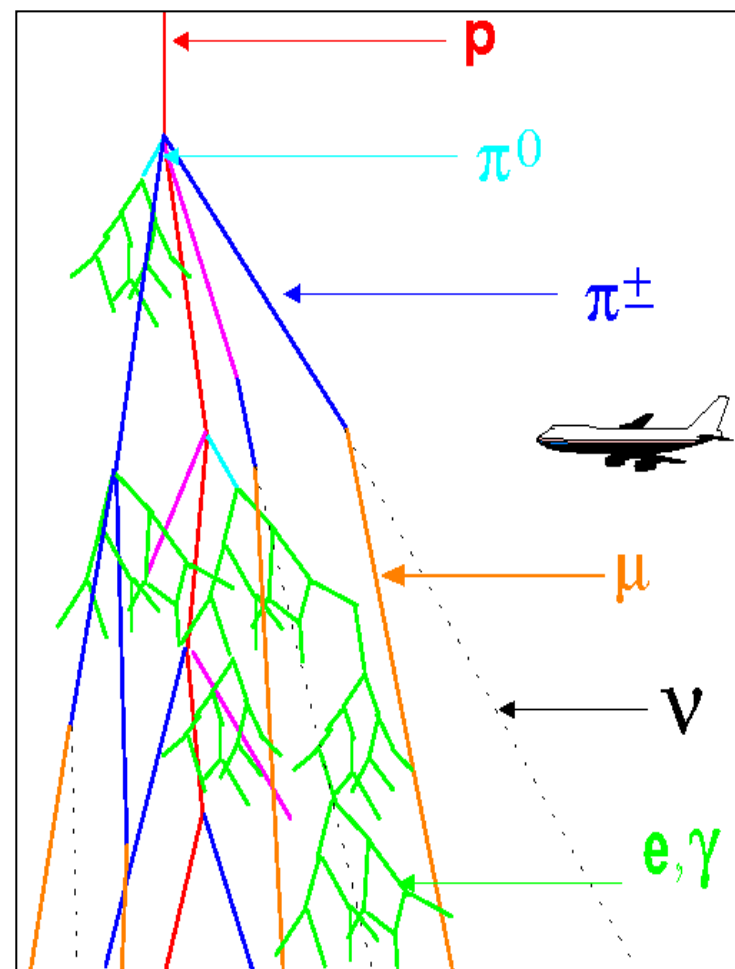
Alta atmosfera : $\sim 1000/m^2/s$



I Raggi Cosmici Primari producono sciami di secondari in atmosfera



A livello del mare : $\sim 100/m^2/s$



SECONDARI al livello del mare

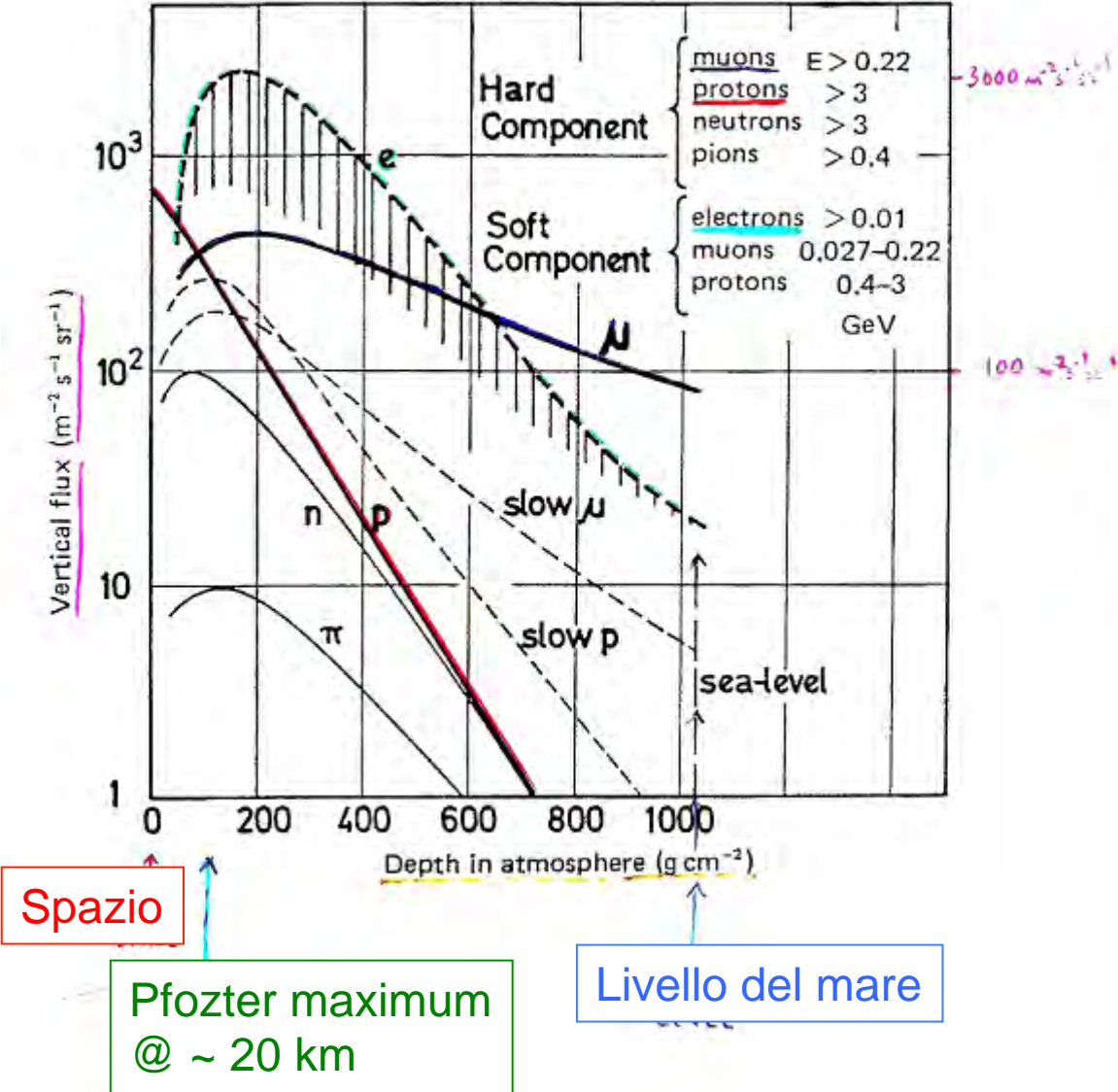
$\mu \sim 30 \%$

$p, n, \dots \sim 2 \%$

$\nu \sim 68 \%$

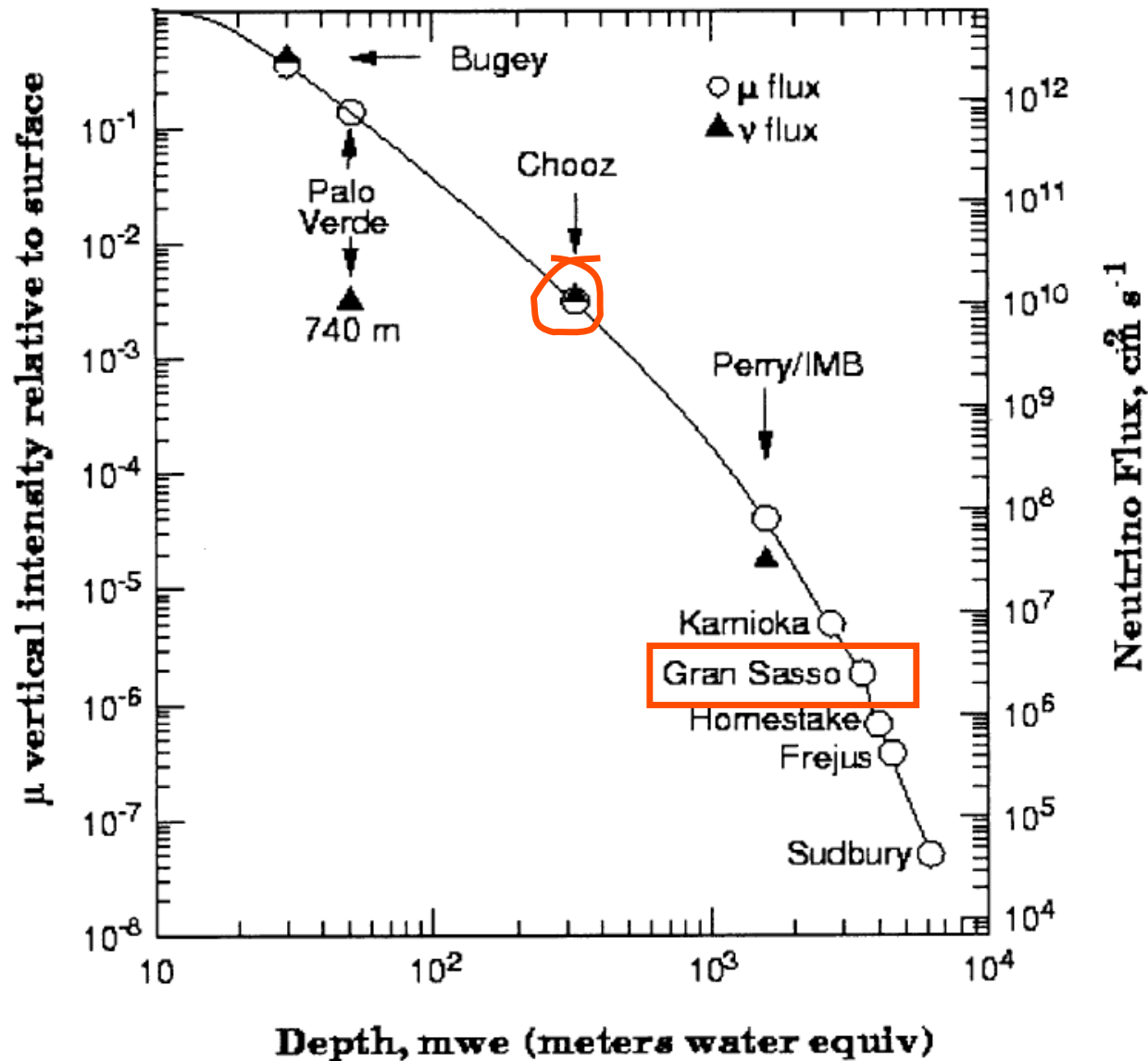
Flusso verticale di Raggi Cosmici vs. profondita' nell'atmosfera

Fig. 5.5. The vertical fluxes of different components of cosmic rays within the atmosphere. (From Hillas, 1972, p. 50.)



Flusso di μ

μ Depth-Intensity and ν Flux
for various sites



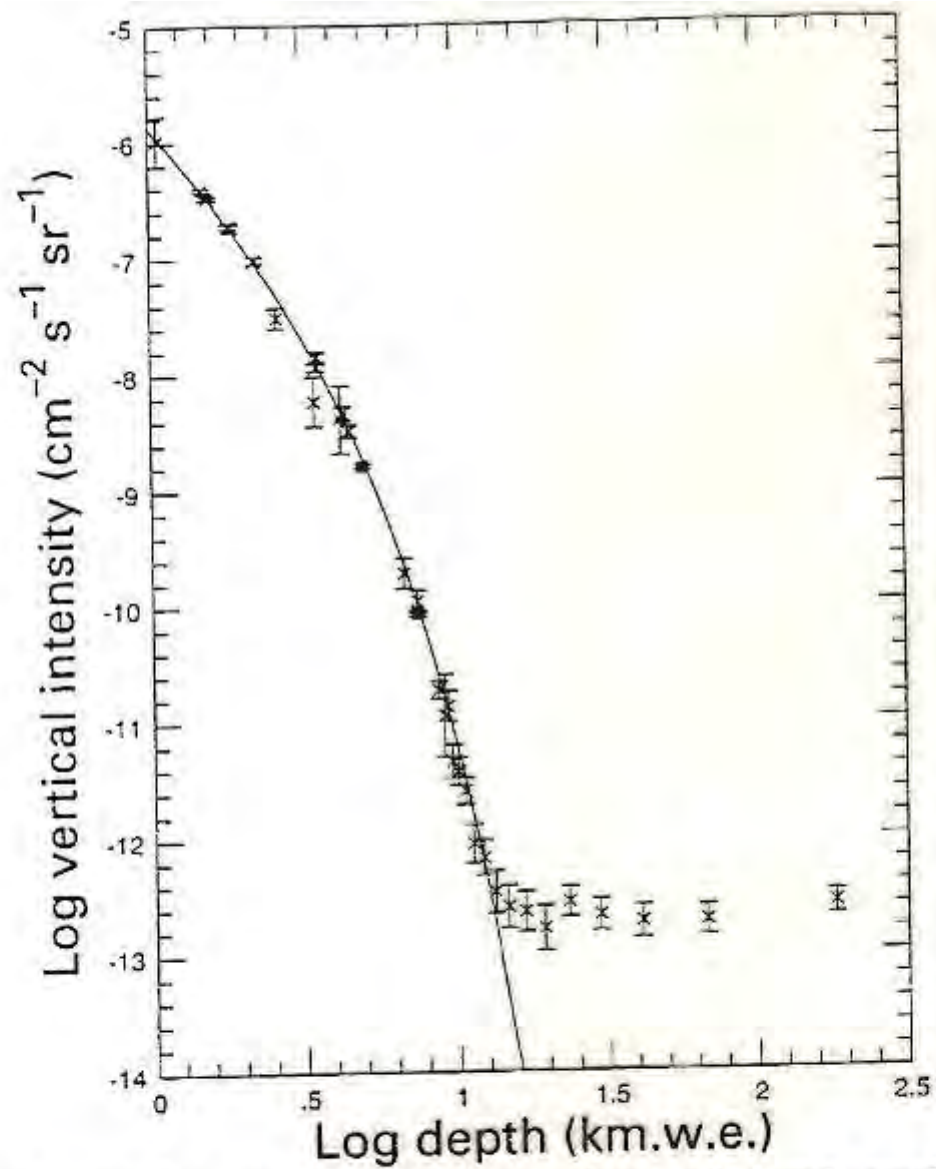
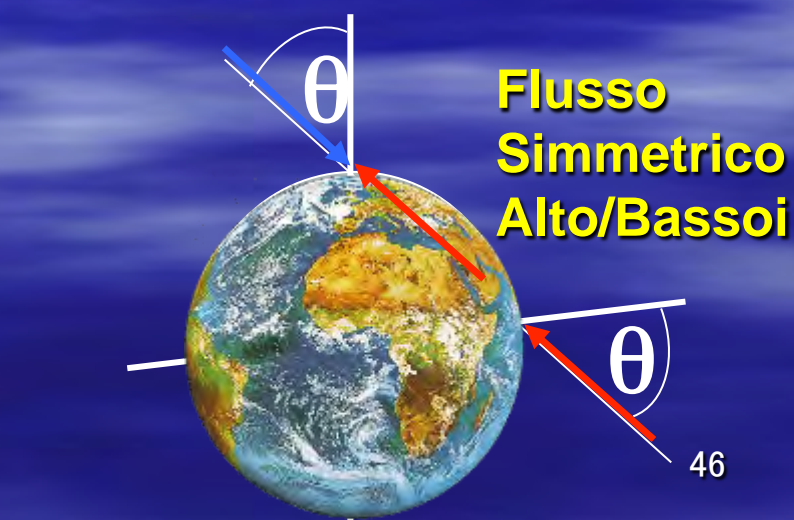
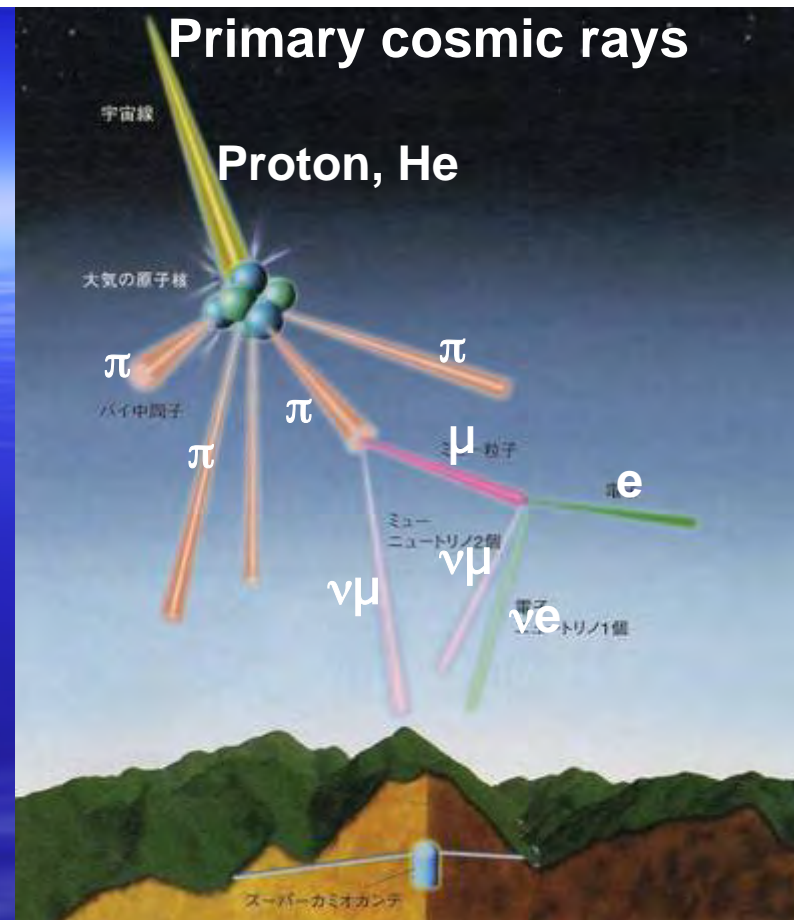


Figure 6.3: Relation between muon intensity and depth underground. The data are taken from a summary by Crouch (1987) with the addition of recent data from the Frejus experiment (Berger et al., 1989 – filled squares).

Sorgente Raggi Cosmici: ν Atmosferici

atmosfera



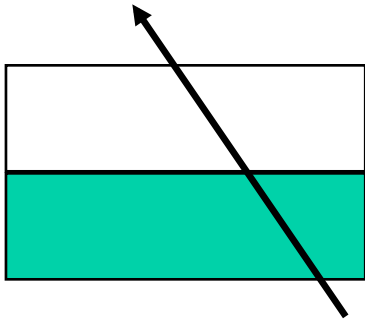
Gli esperimenti “storici”

- Macro
 - Ricerca dei monopoli magnetici

- LVD
 - Ricerca di supernovae

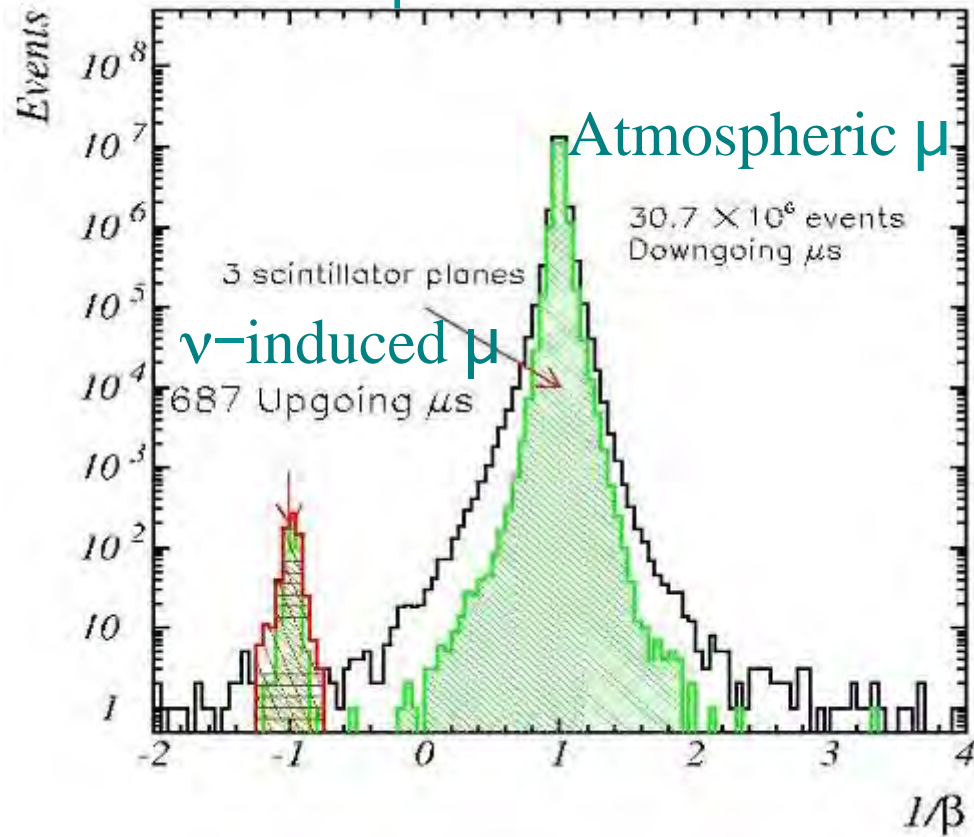
- Gallex
 - Studio di neutrini solari

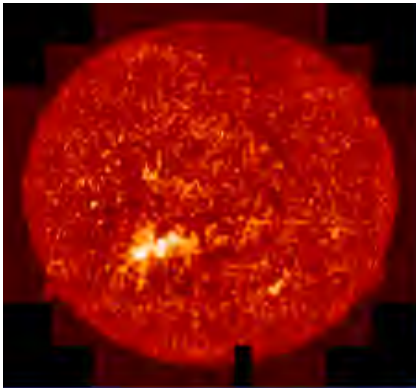




MACRO Upward throughgoing muons

$1/\beta$ distribution:





GNO

Collab.:
Italy, France, Germany

Goals: measurement of the interaction rate with an accuracy of 4-5% and monitoring the neutrino flux over a complete solar cycle.

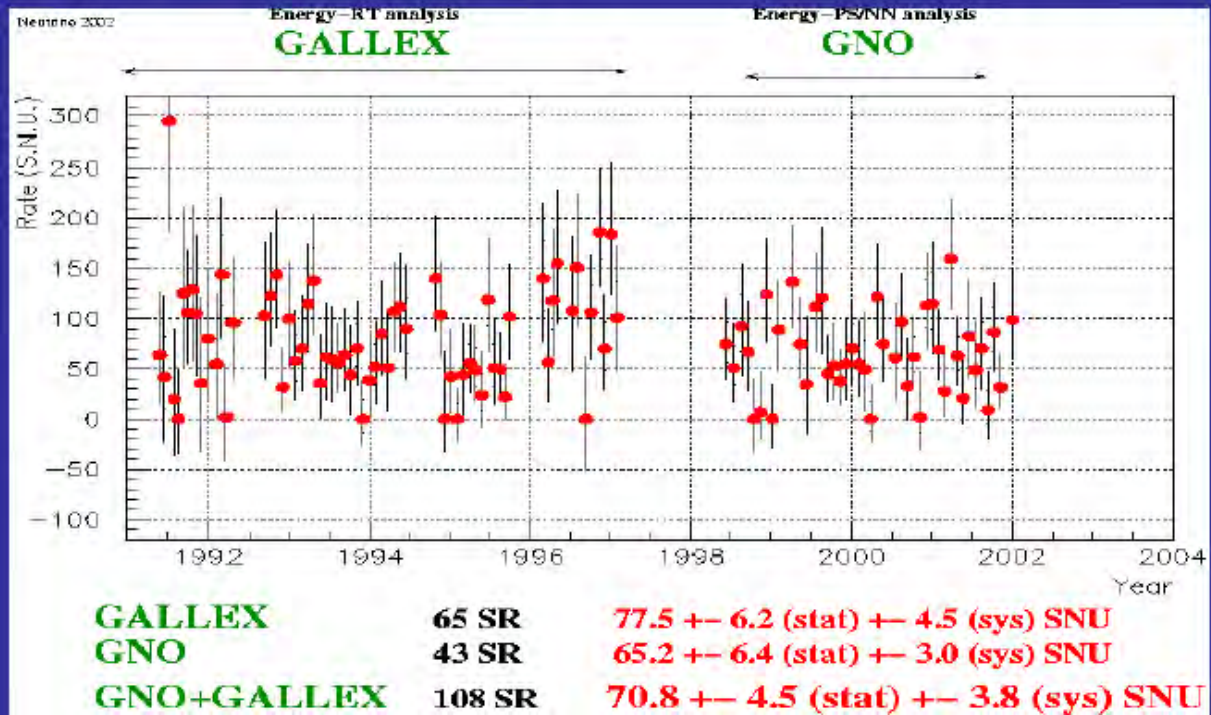
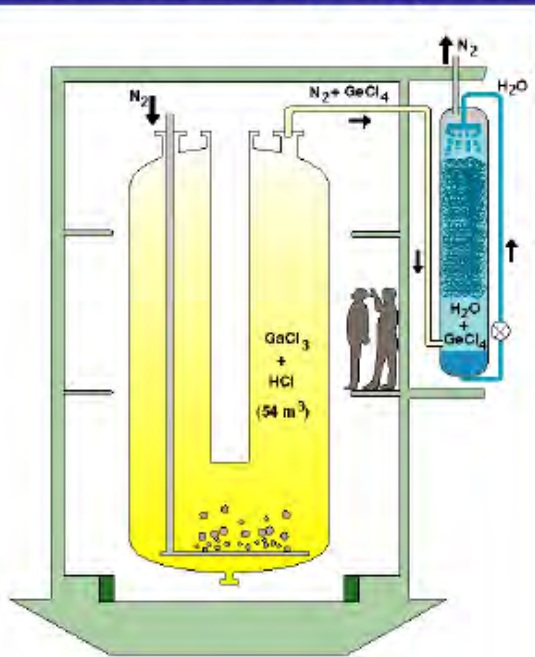
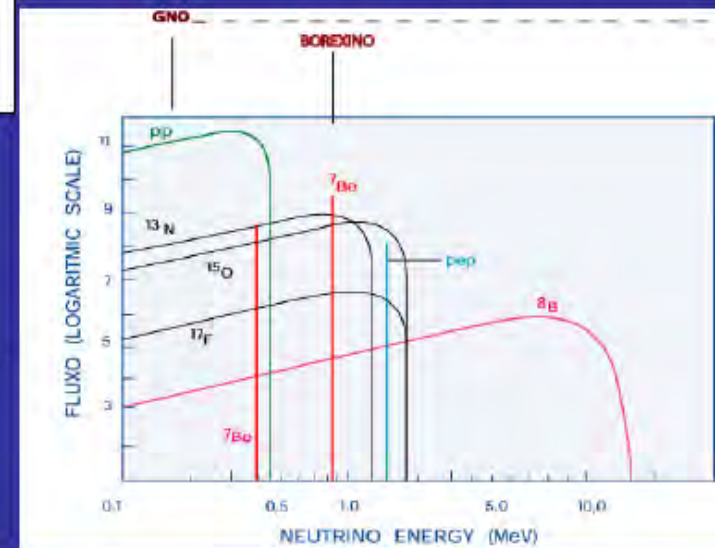
101 tons Gallium Chloride solution



Energy threshold > 233 keV

Sensitive mainly to pp-neutrinos

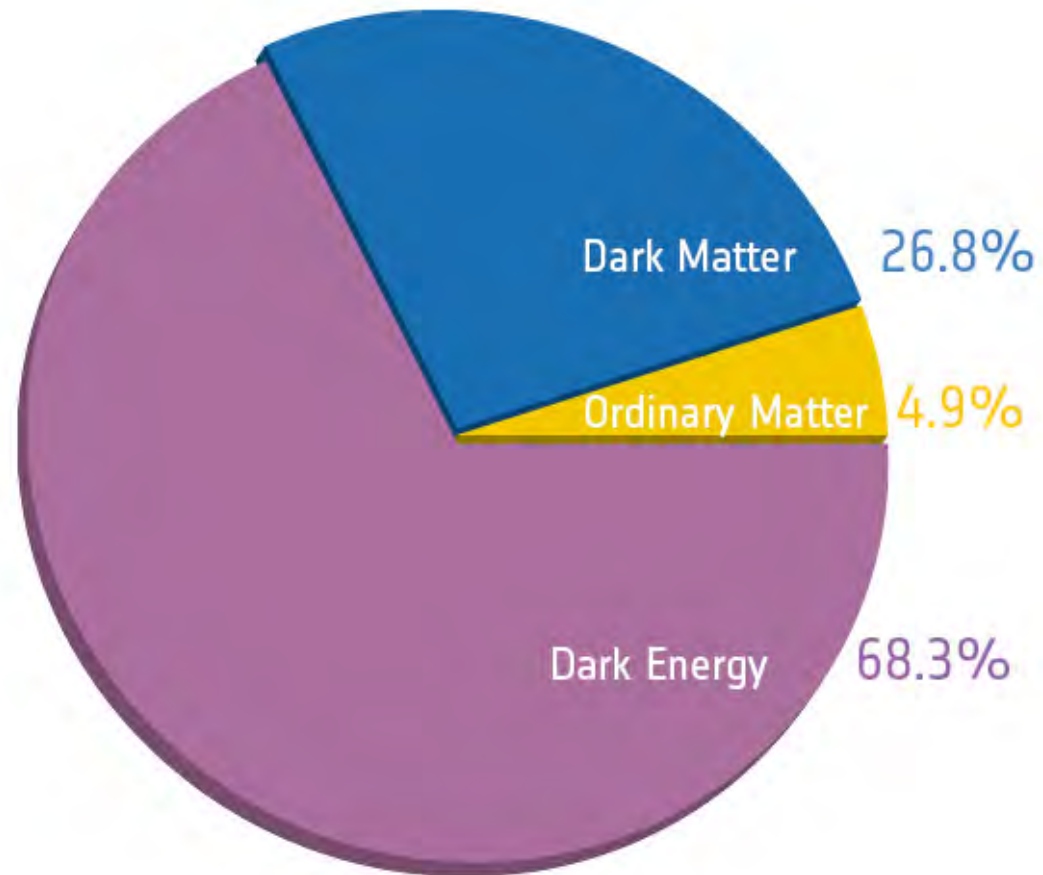
SSM \rightarrow 115 -135 SNU



Materia Oscura

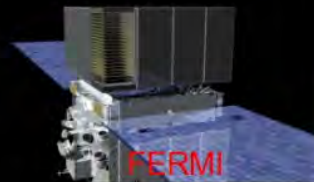


Materia Oscura

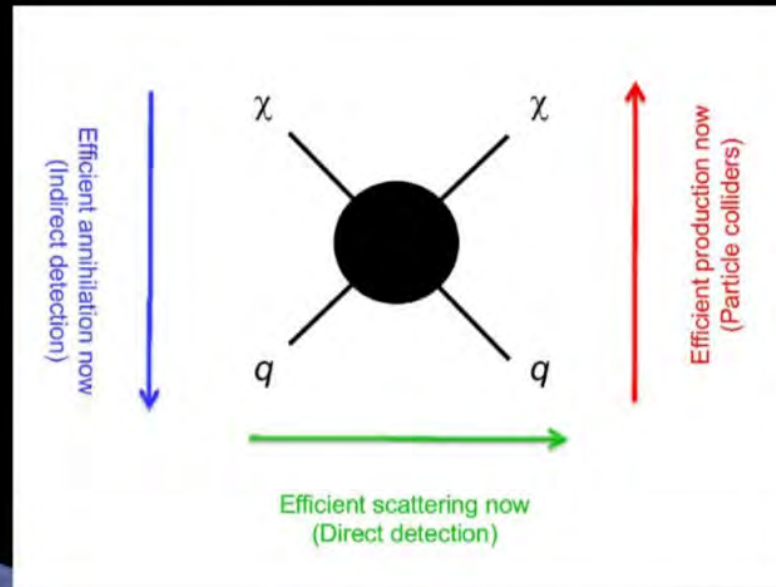


Materia Oscura

Come cercare la materia oscura



Nello spazio



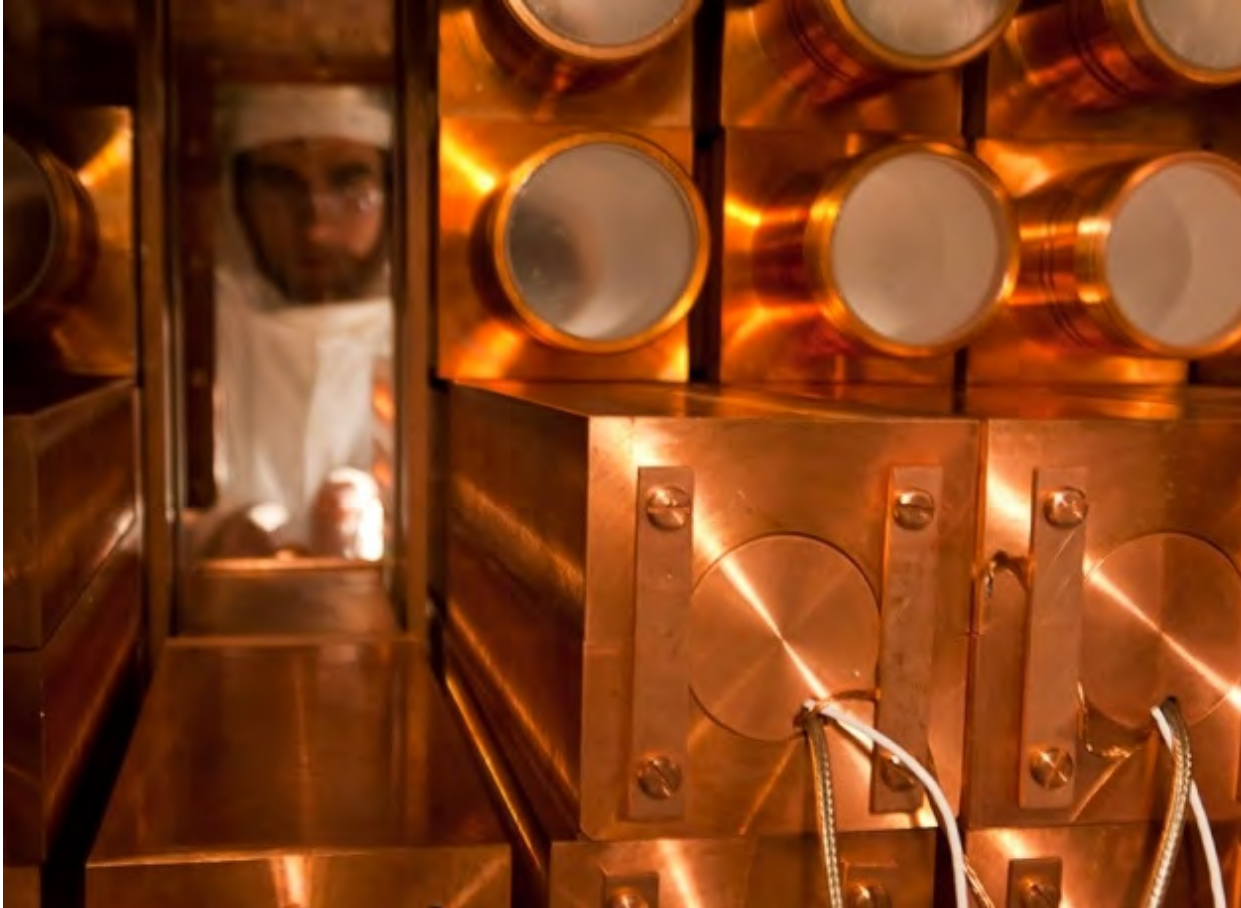
Con acceleratori
di particelle



Sottoterra

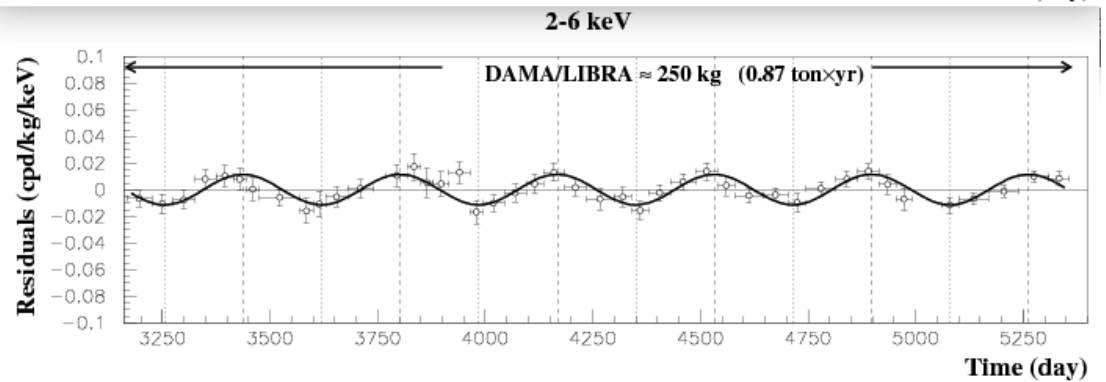
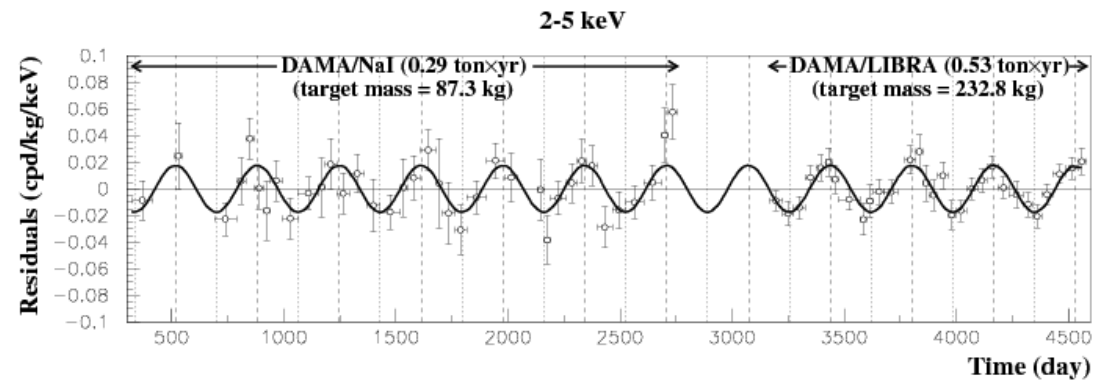
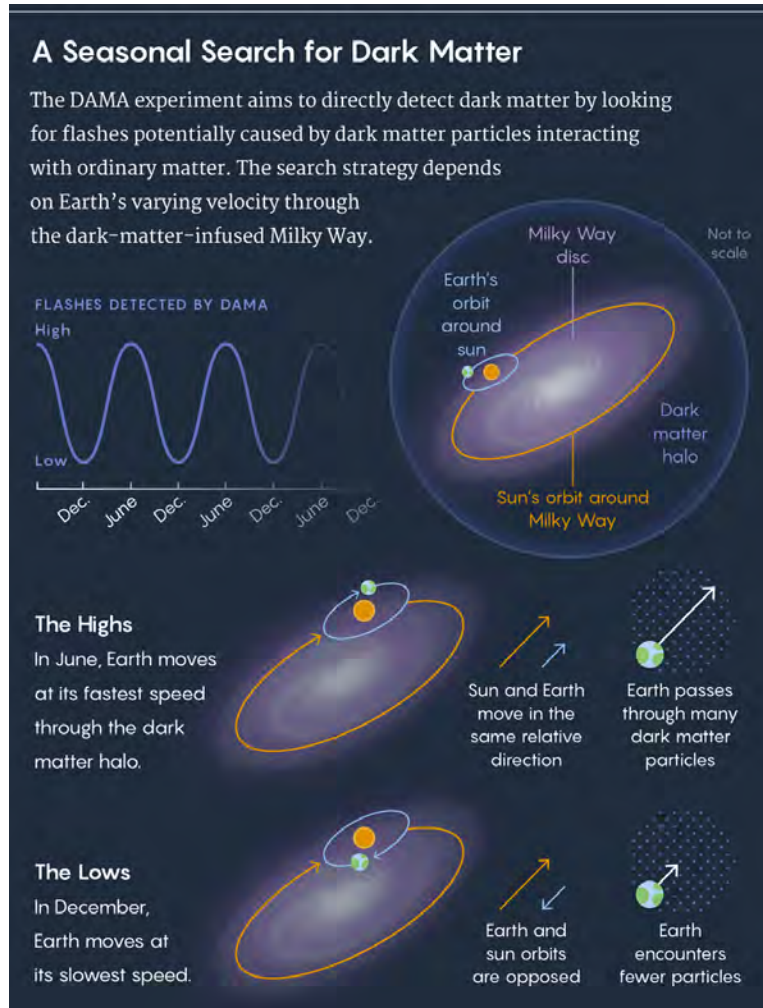
Adapted from P. Lipari

Dama



The DAMA project at the Gran Sasso National Laboratories of the I.N.F.N. is an observatory for rare processes thanks to the development and use of large mass highly radiopure scintillator set-ups.

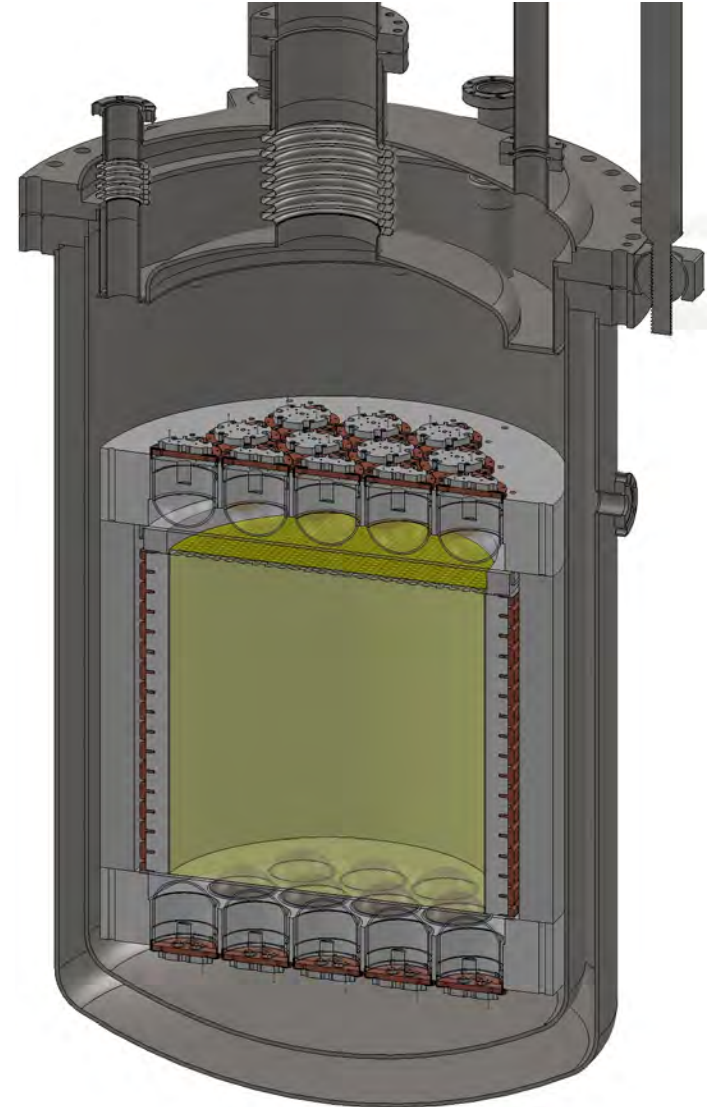
Dama



DarkSide



DarkSide-50 is a dual-phase argon
Time Projection Chamber (TPC)

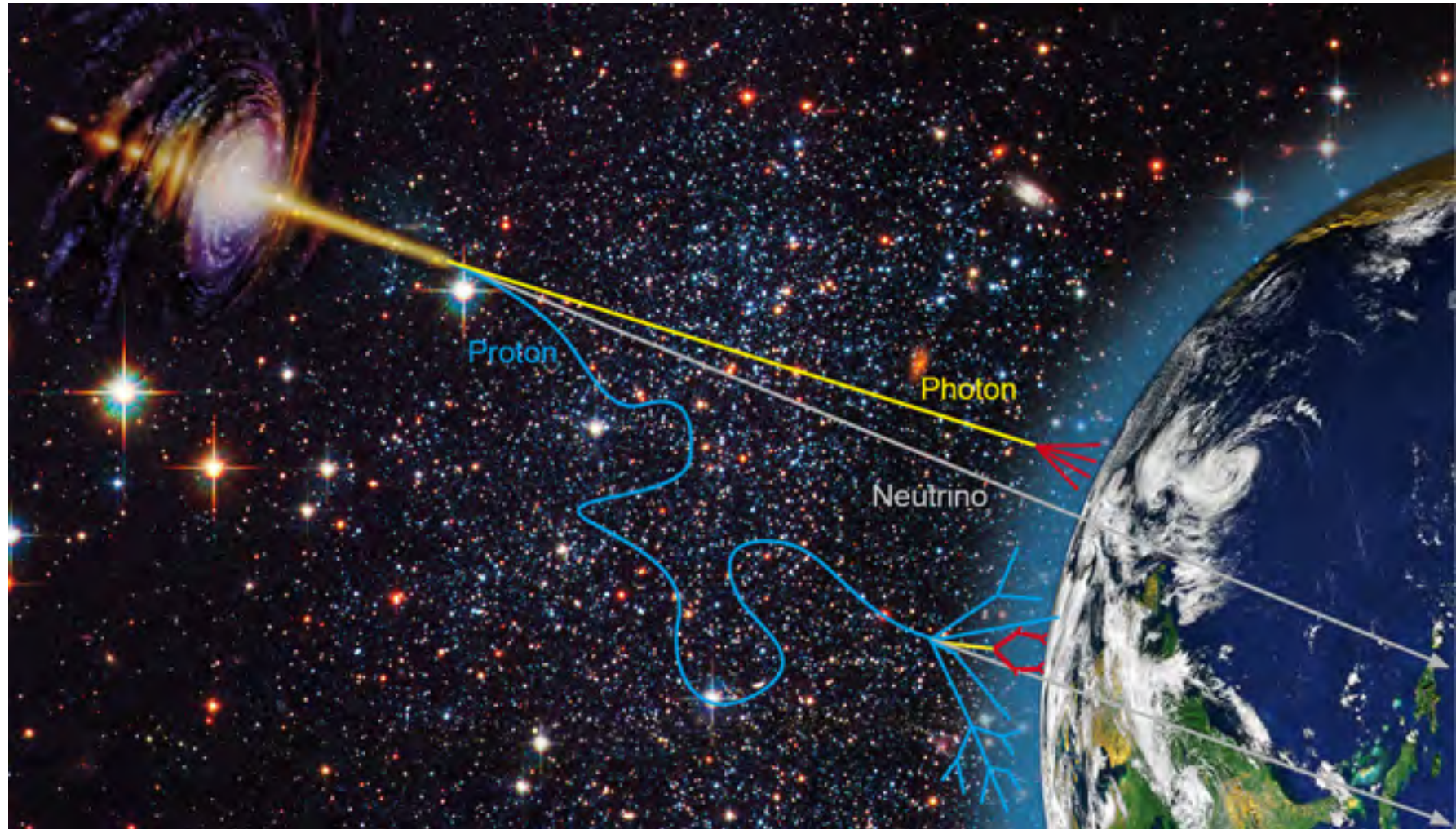


Il Gruppo II dell'INFN

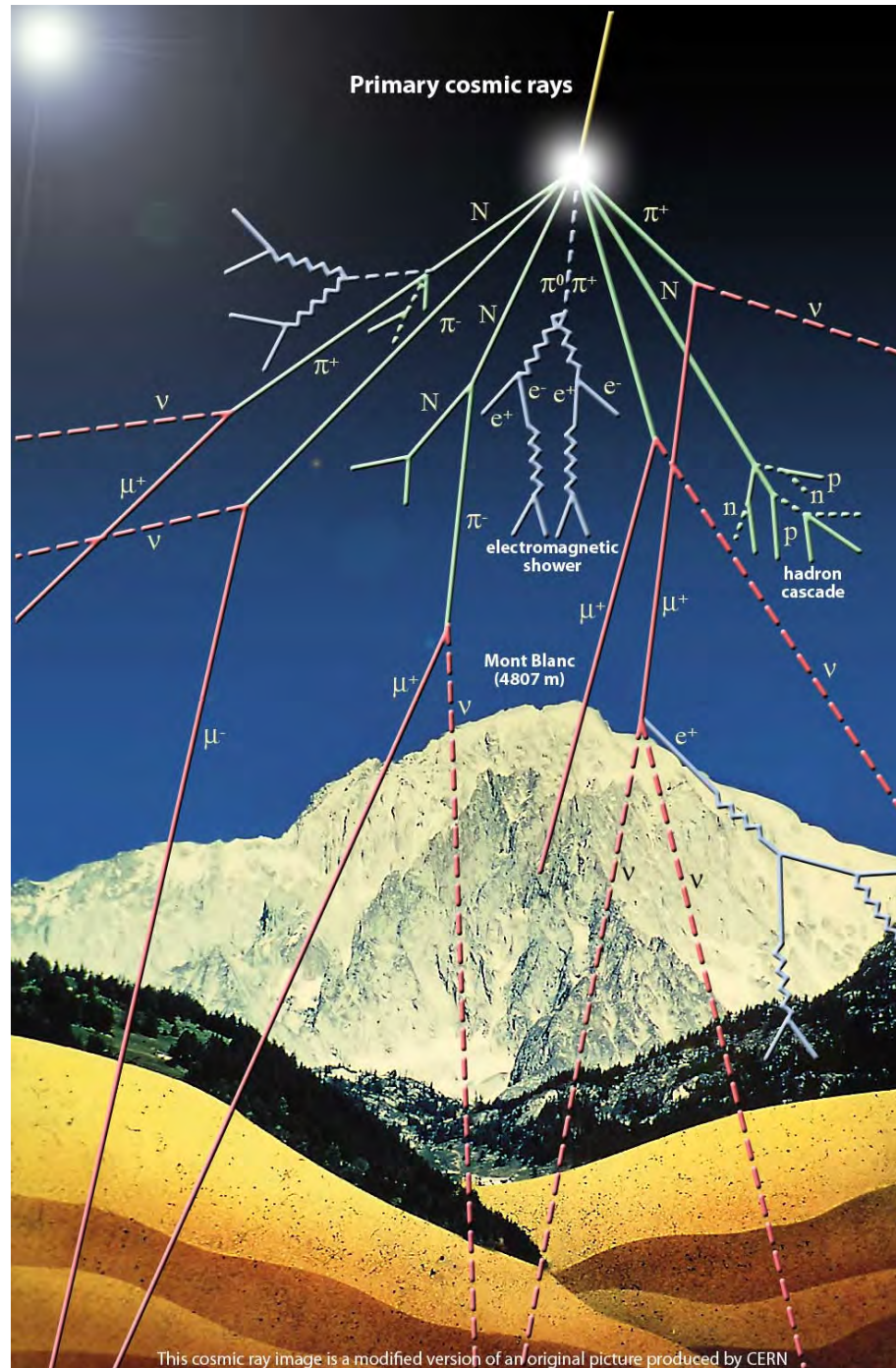
Neutrino Physics					
BOREXINO	CUORE	CUPID	ENUBET_2	GERDA	ICARUS
JUNO	NU_AT_FINAL	T2K			
Radiation from the Universe					
AMS2	AUGER	CTA	DAMPE	FERMI	GAMMAEV*
GAPS	IXPE_INFN*	KM3	LSPE	QUBIC	
The Dark Universe					
CRESST	DAMA	DARKSIDE	EUCLID	NEWS	QUAX
SABRE	XENON				
Gravitational Waves, General and Quantum Physics					
ARCHIMEDES_2*	FISH	G-GRANSASSO-RD	HUMOR	LARASE	LIMADOU_CSN2
LISA*	MAGIA_ADV	MOONLIGHT2	SUPREMO	VIRGO	

<http://www.infn.it/csn2/>

Fisica della Radiazione Cosmica

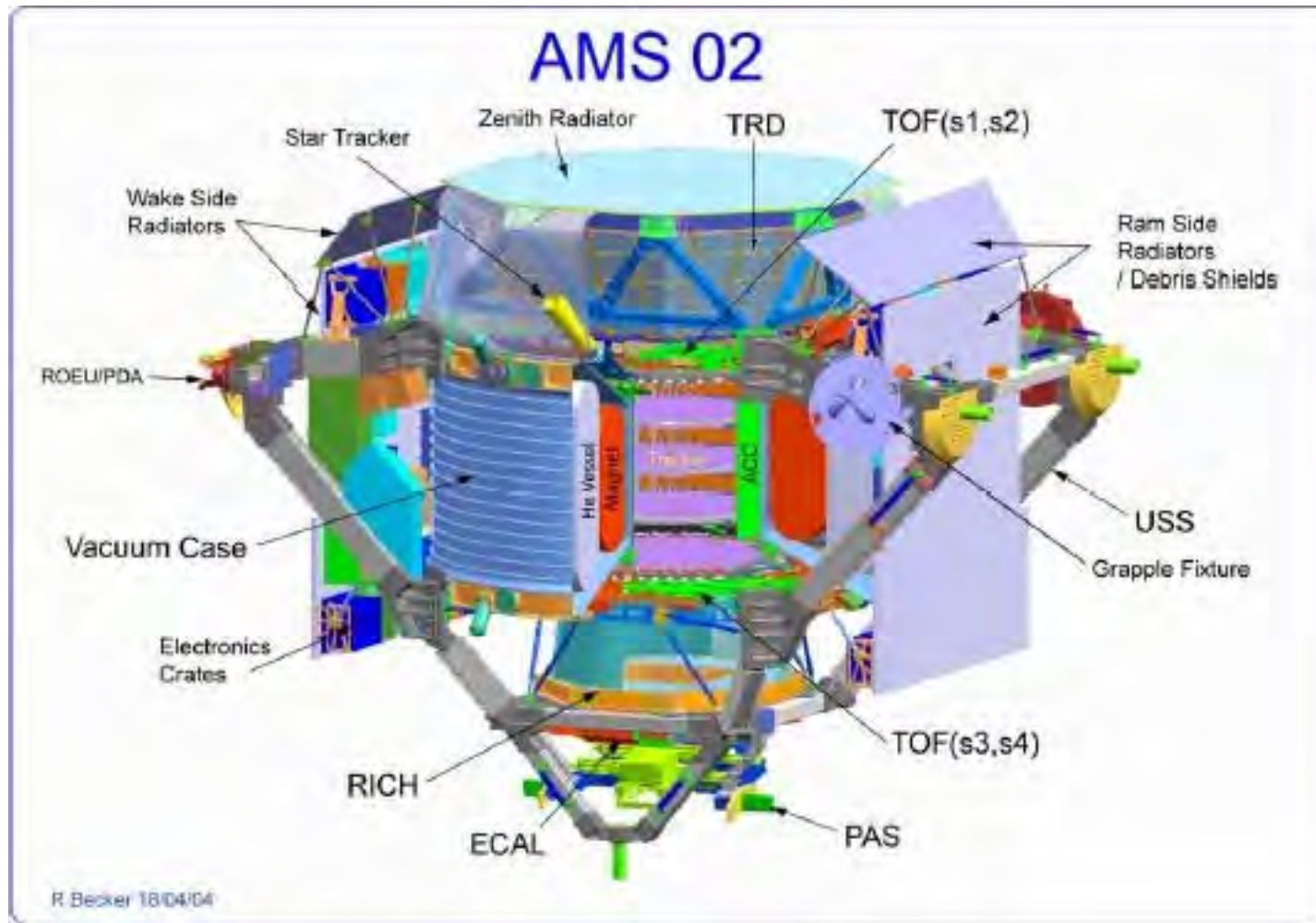


I raggi cosmici



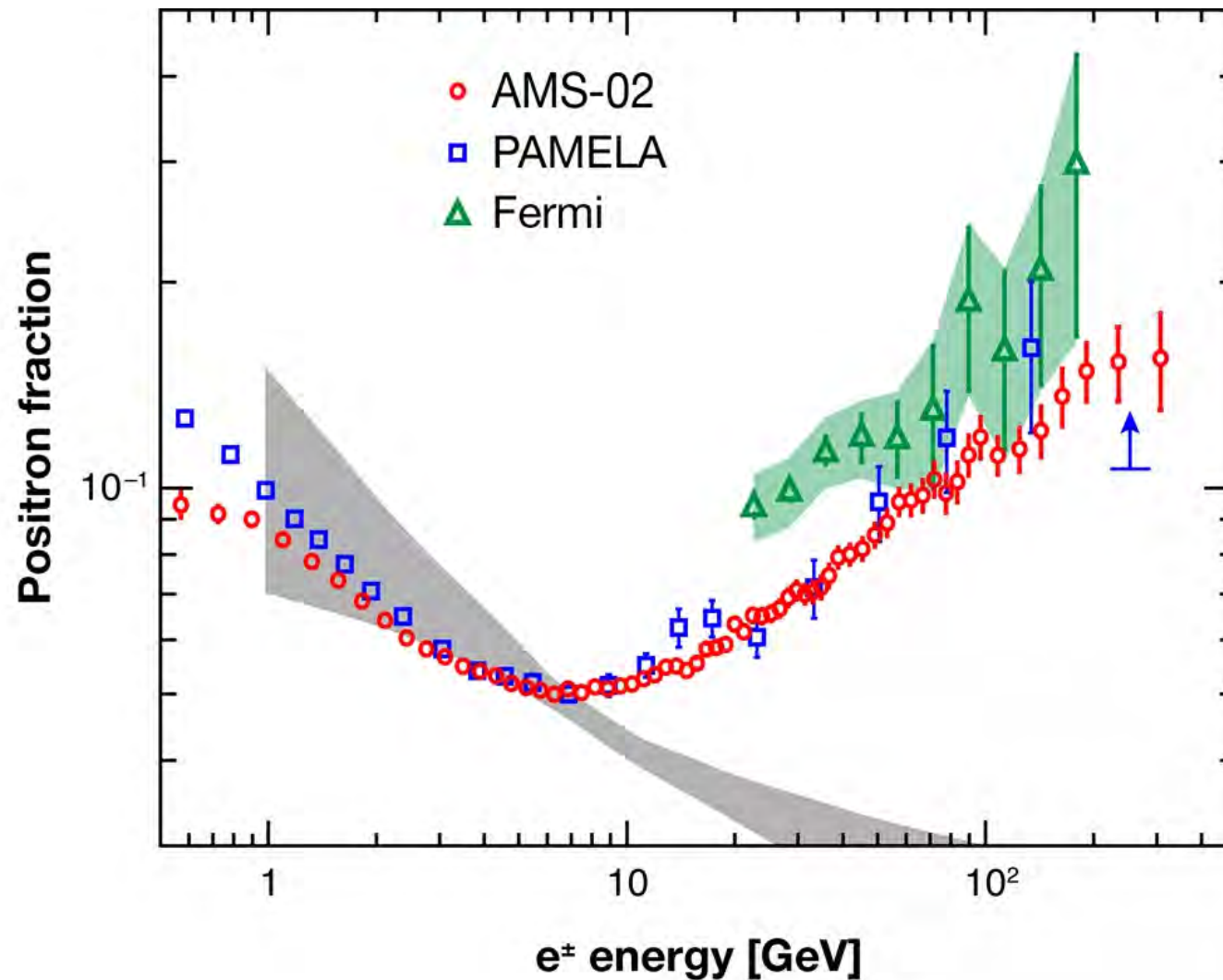
This cosmic ray image is a modified version of an original picture produced by CERN

Fisica della Radiazione Cosmica

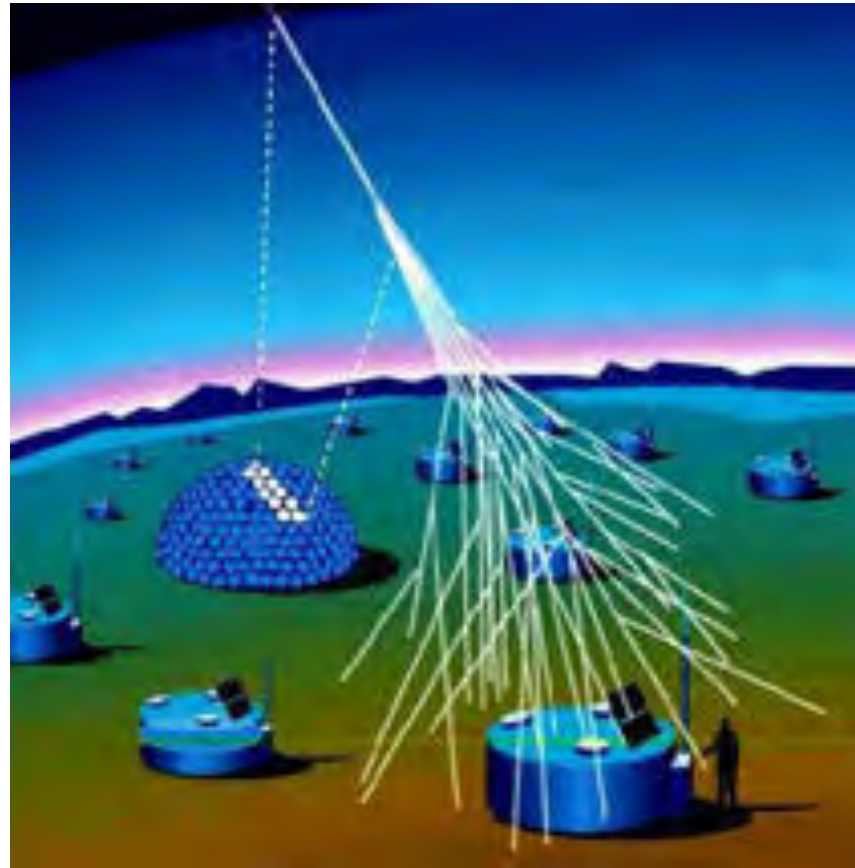


Studio dei raggi cosmici da satellite

Fisica della Radiazione Cosmica

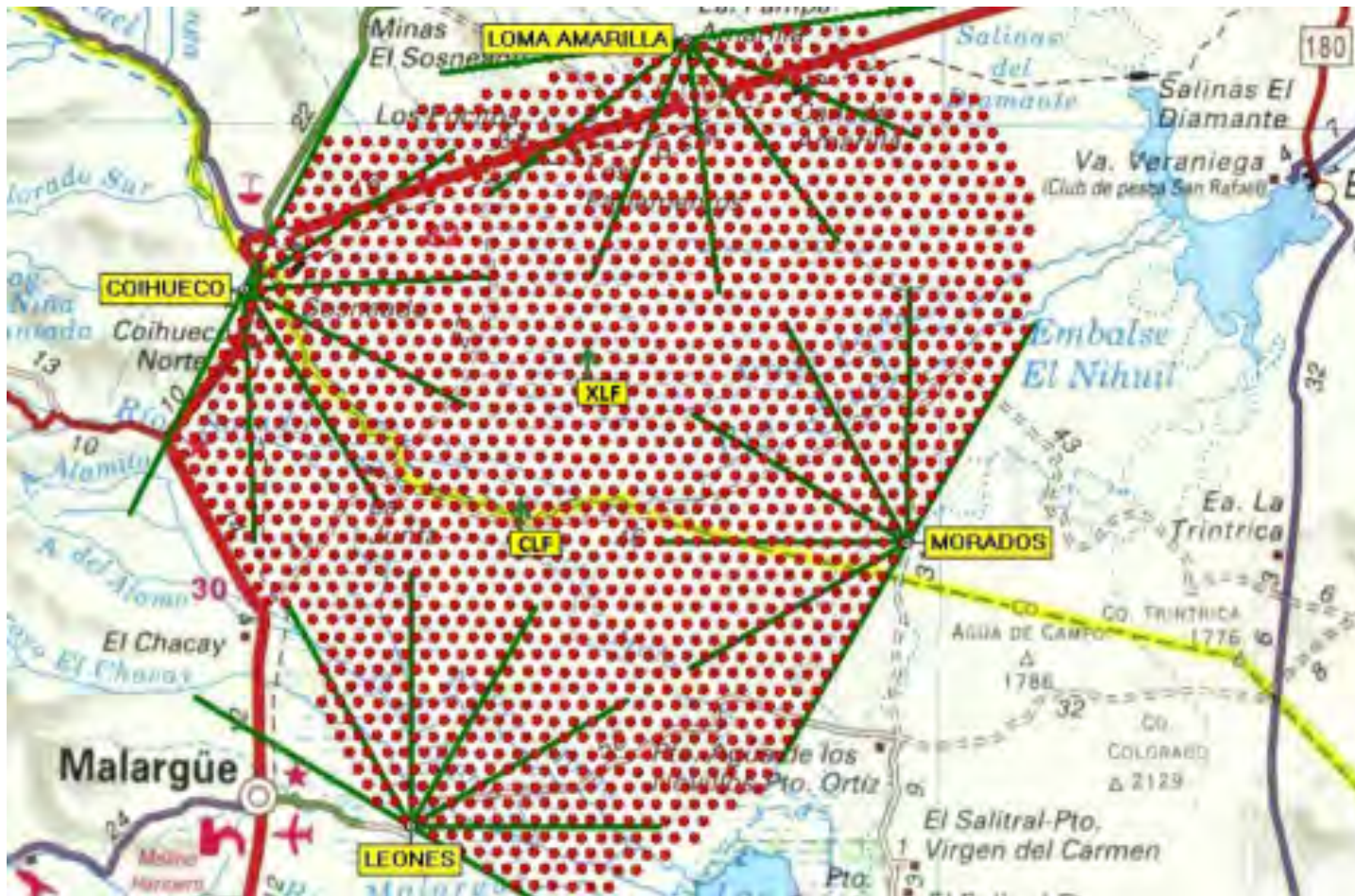


Fisica della Radiazione Cosmica



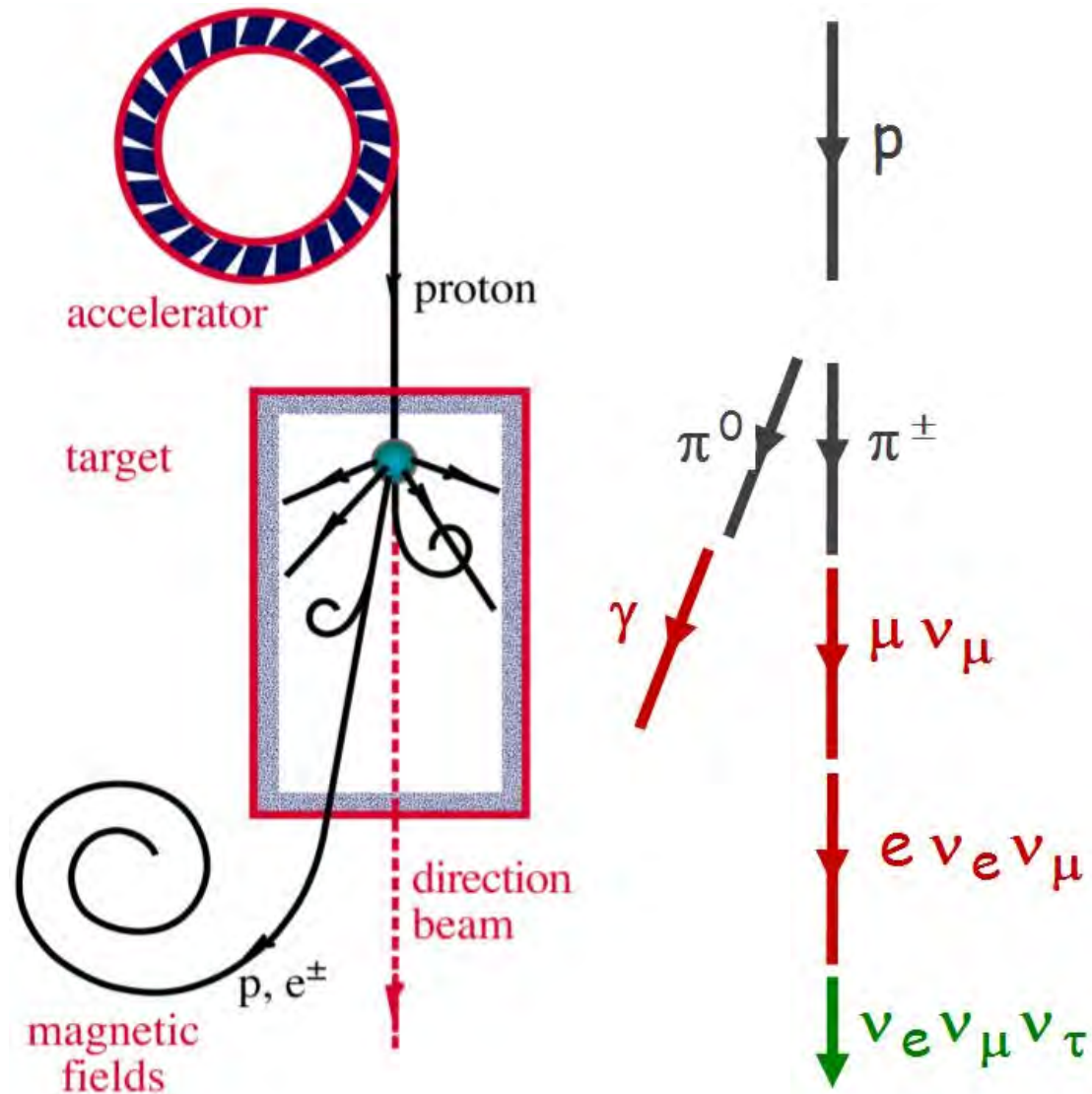
Studio dei raggi cosmici da terra

Fisica della Radiazione Cosmica

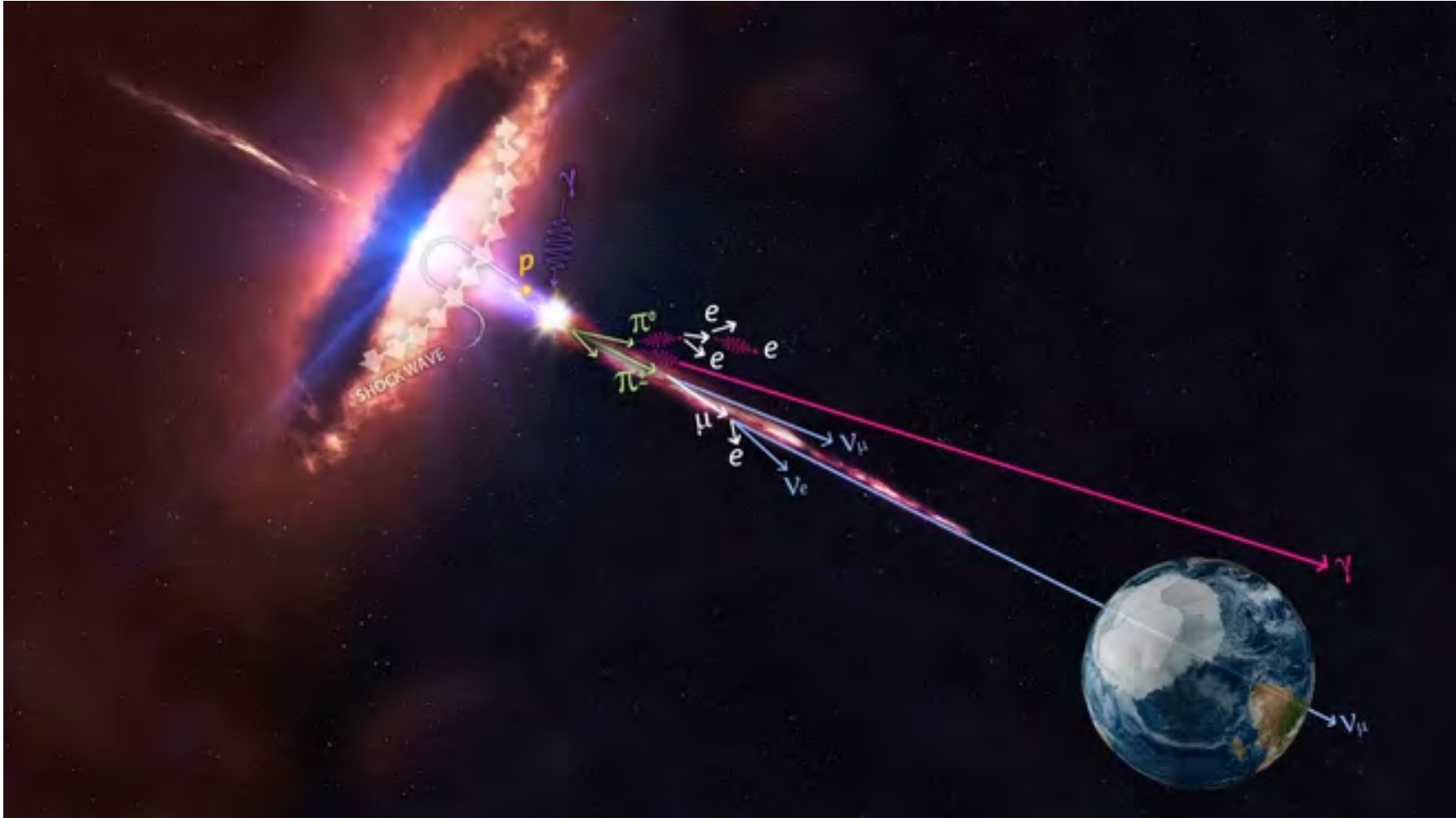


Esperimento AUGER

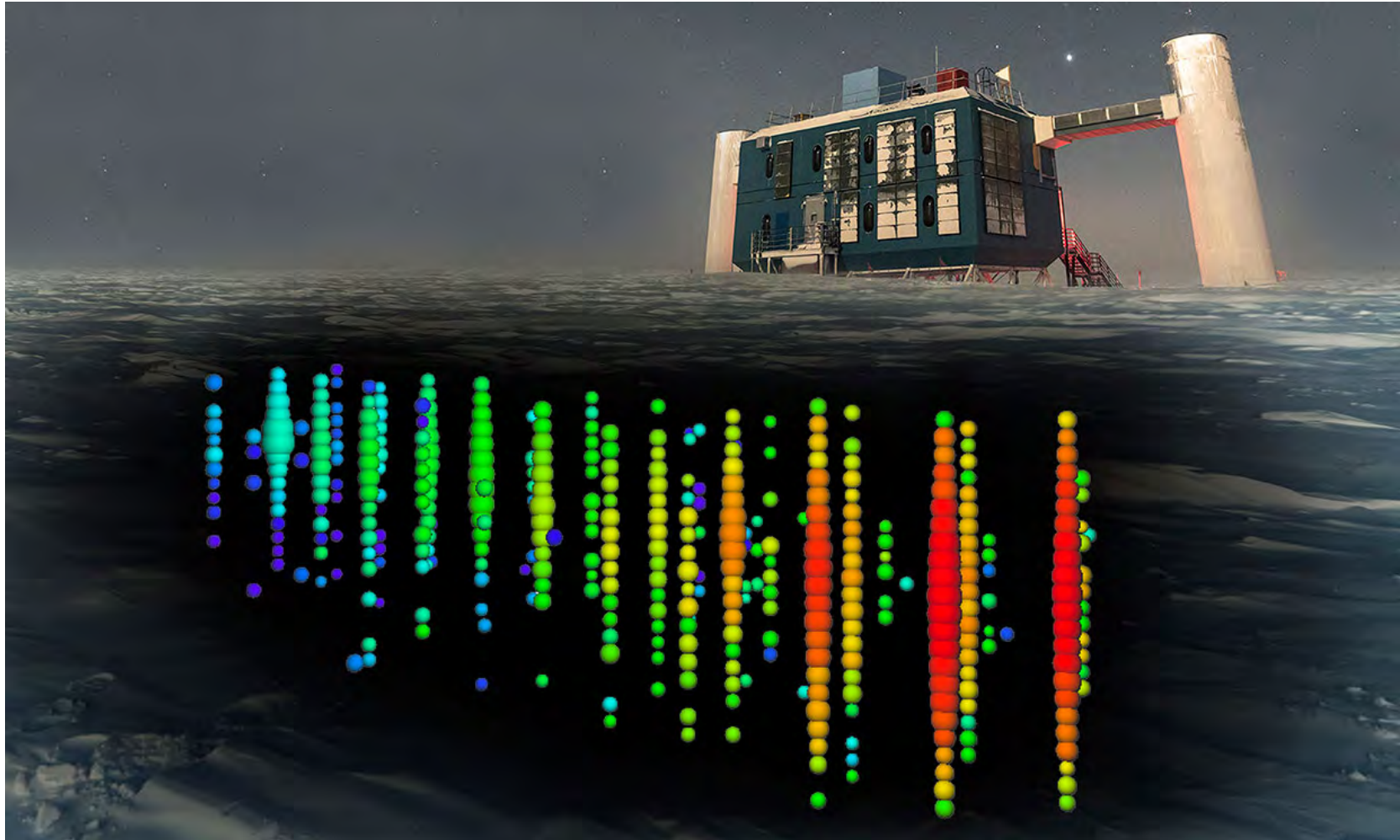
Fisica del Neutrino



Neutrini Astrofisici

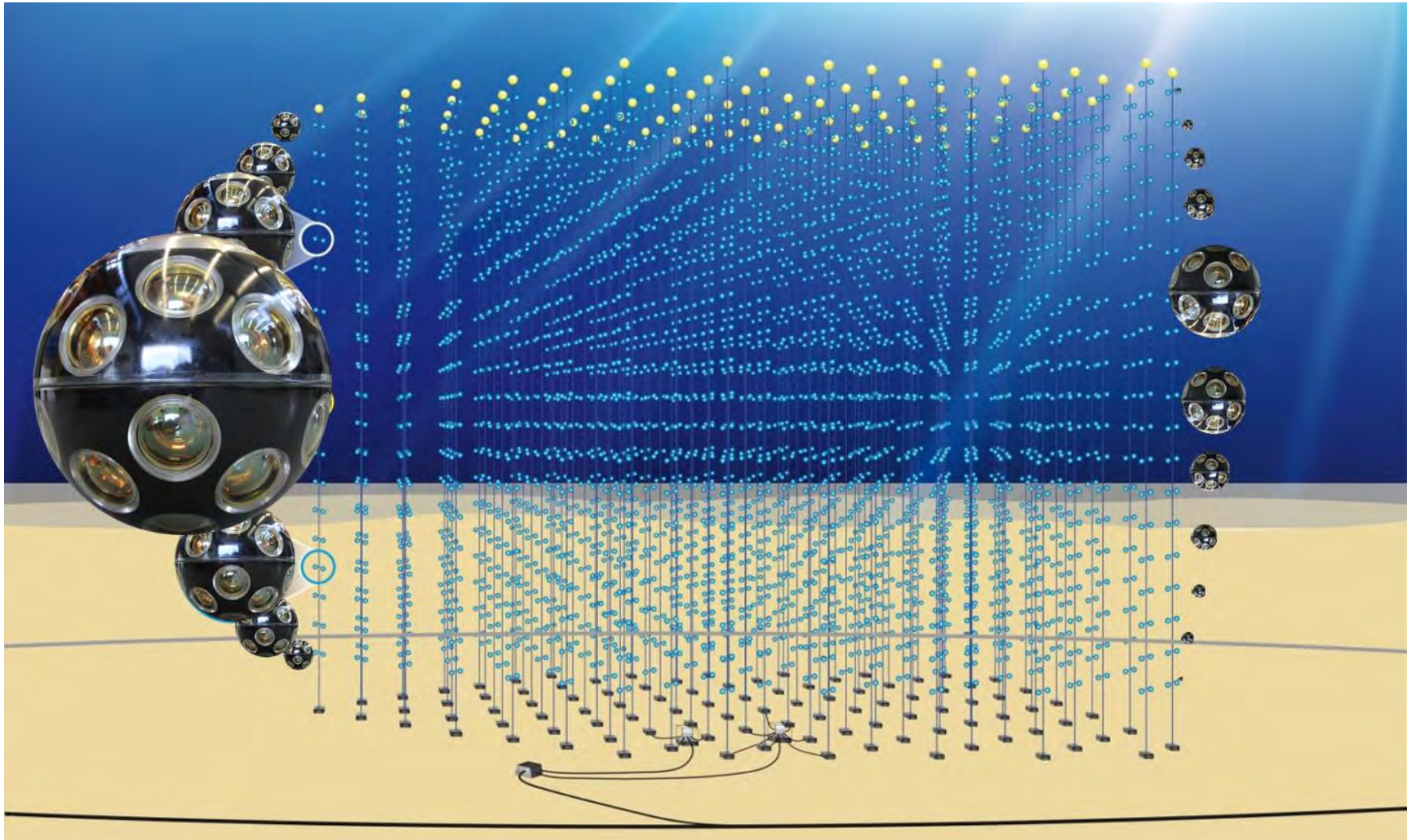


Fisica del Neutrino



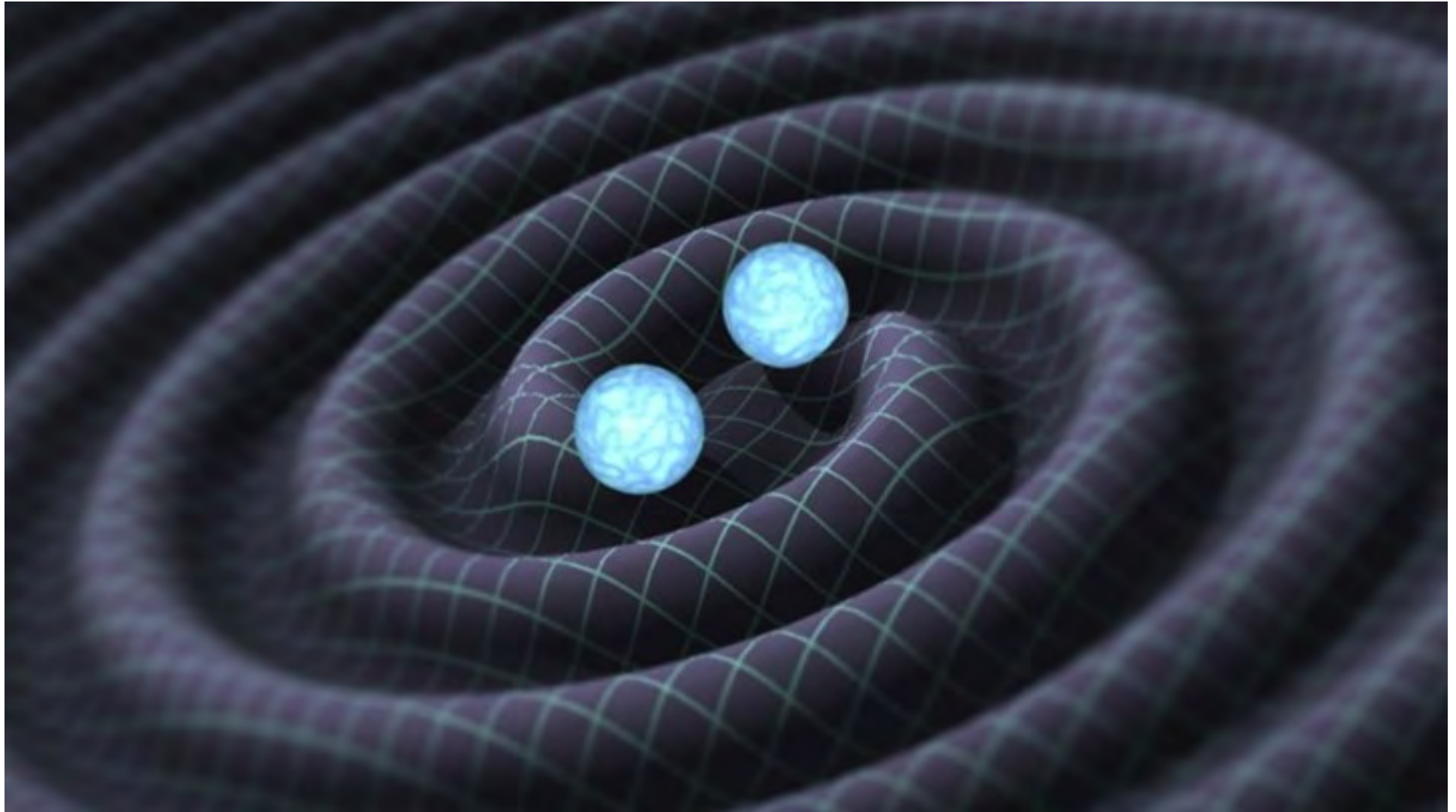
Esperimento Icecube

Fisica del Neutrino



Esperimento Km3NET

Fisica delle Onde Gravitazionali



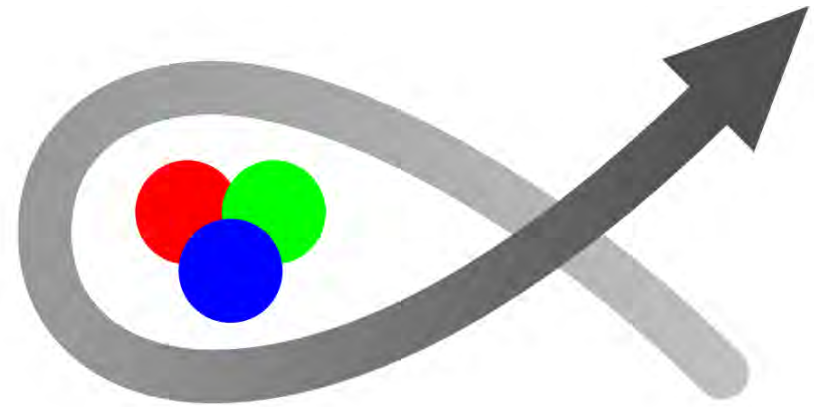
Fisica delle Onde Gravitazionali



Esperimento Virgo

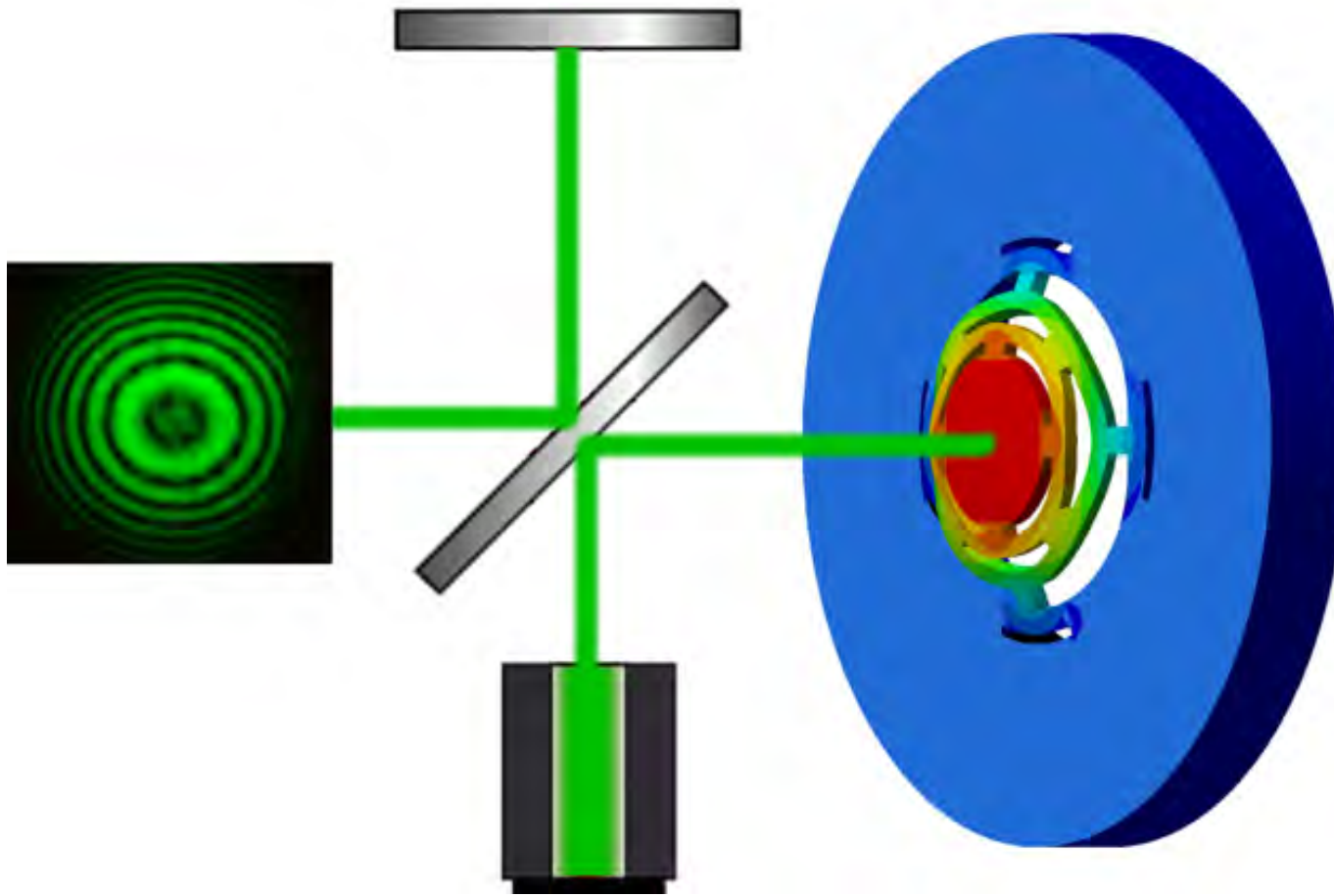
Fisica Fondamentale

FISh



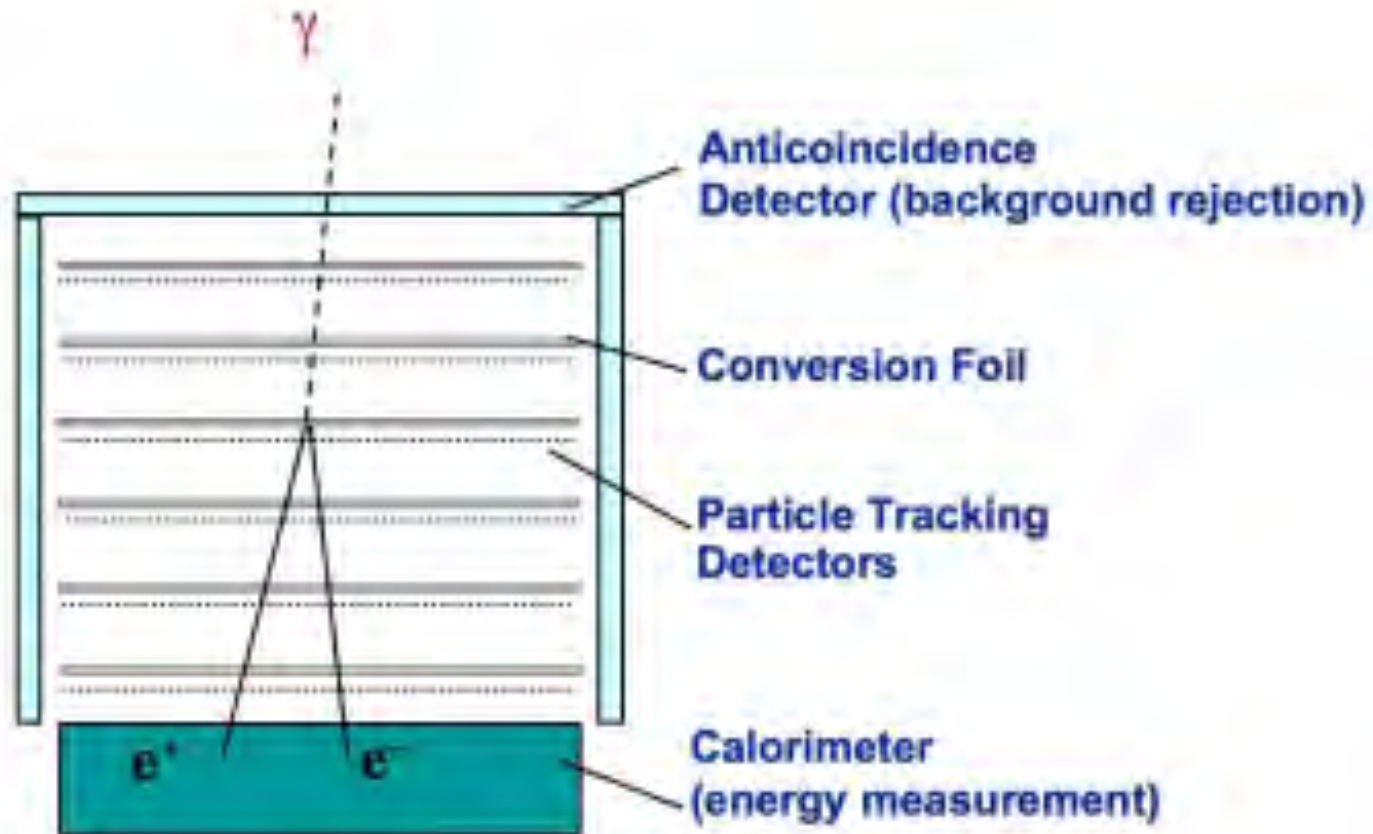
Fundamental Interactions Simulations
with quantum gases

Fisica Fondamentale



Oscillatori micro-meccanici

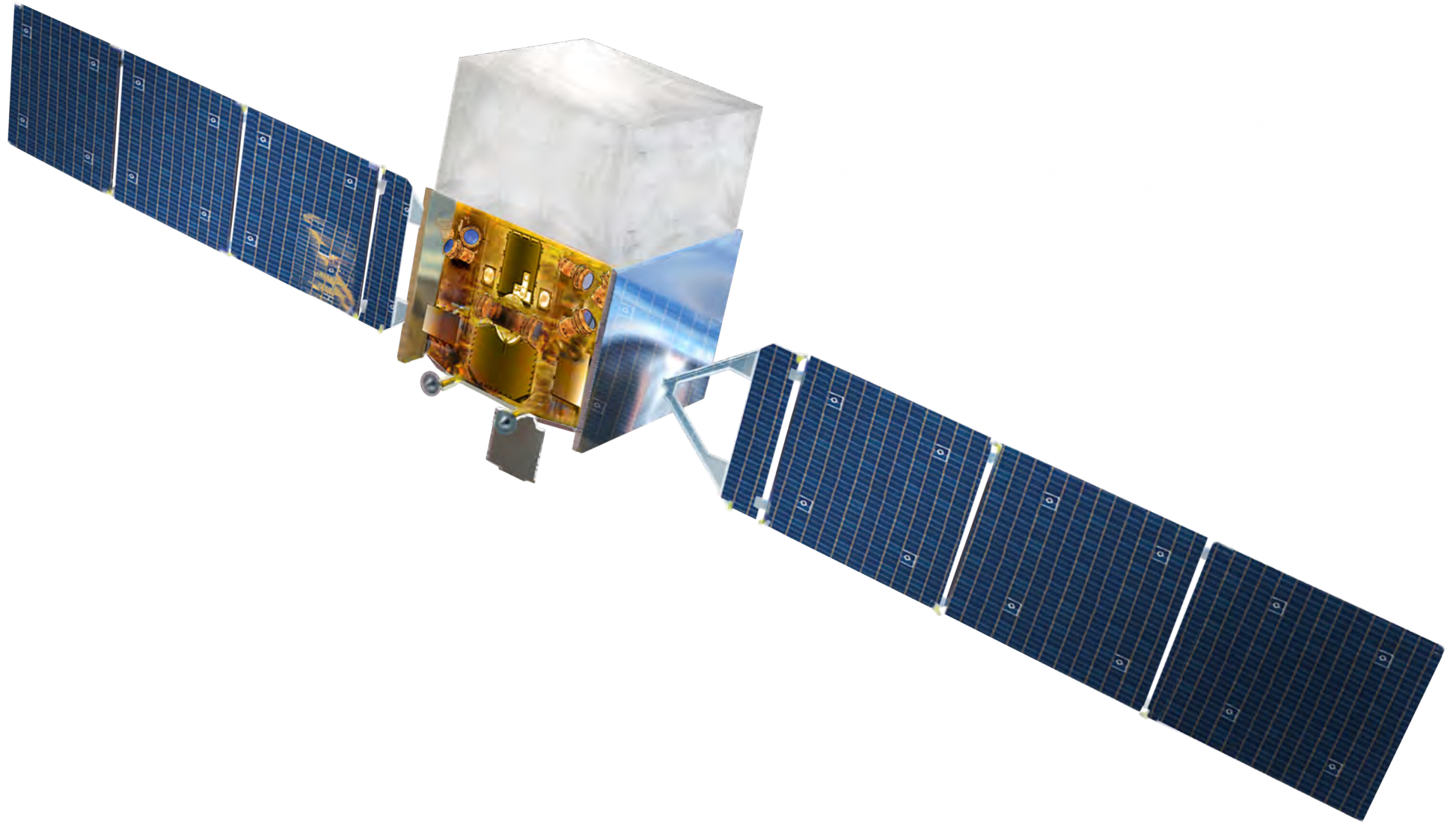
L' Astrofisica Gamma



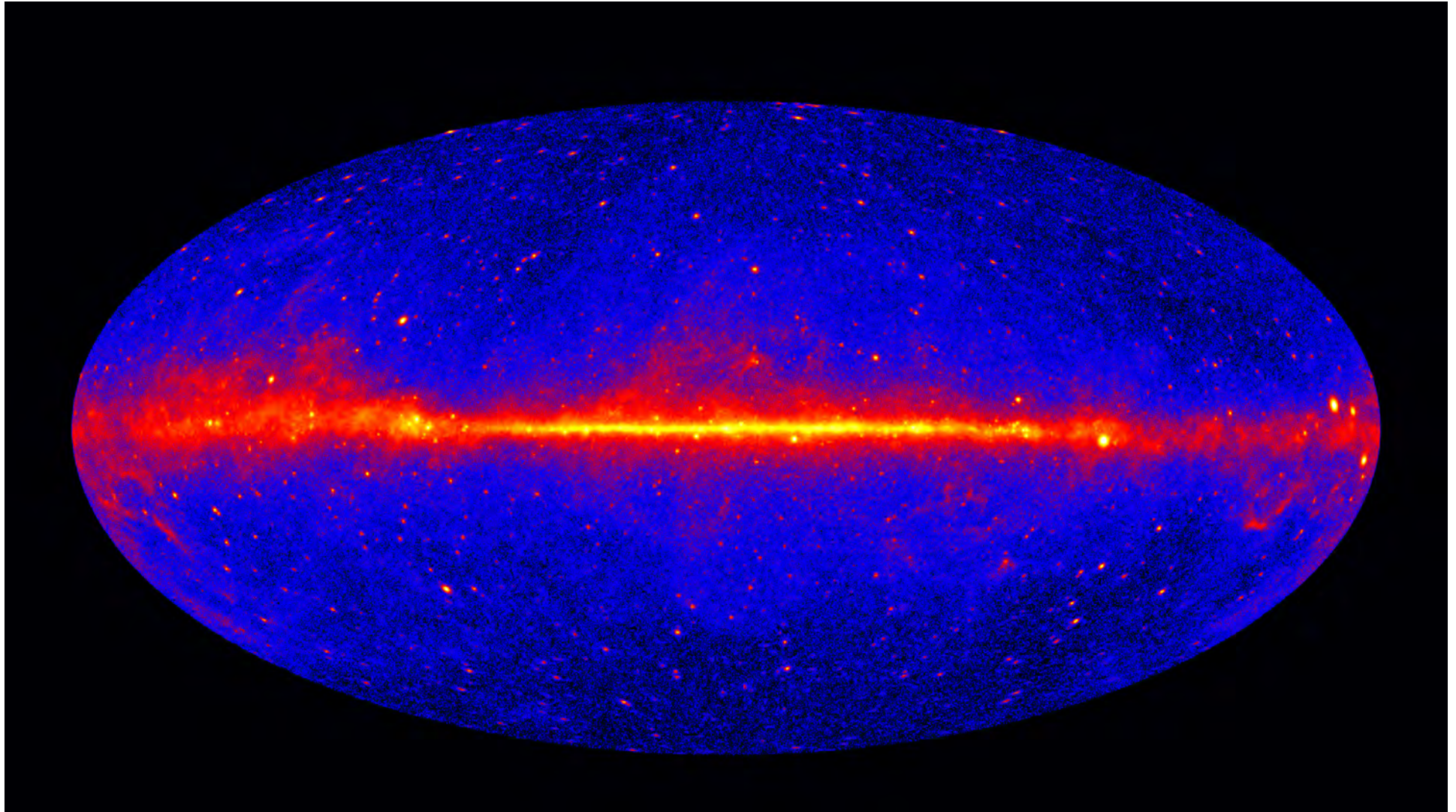
A Trieste ... esperimento AGILE



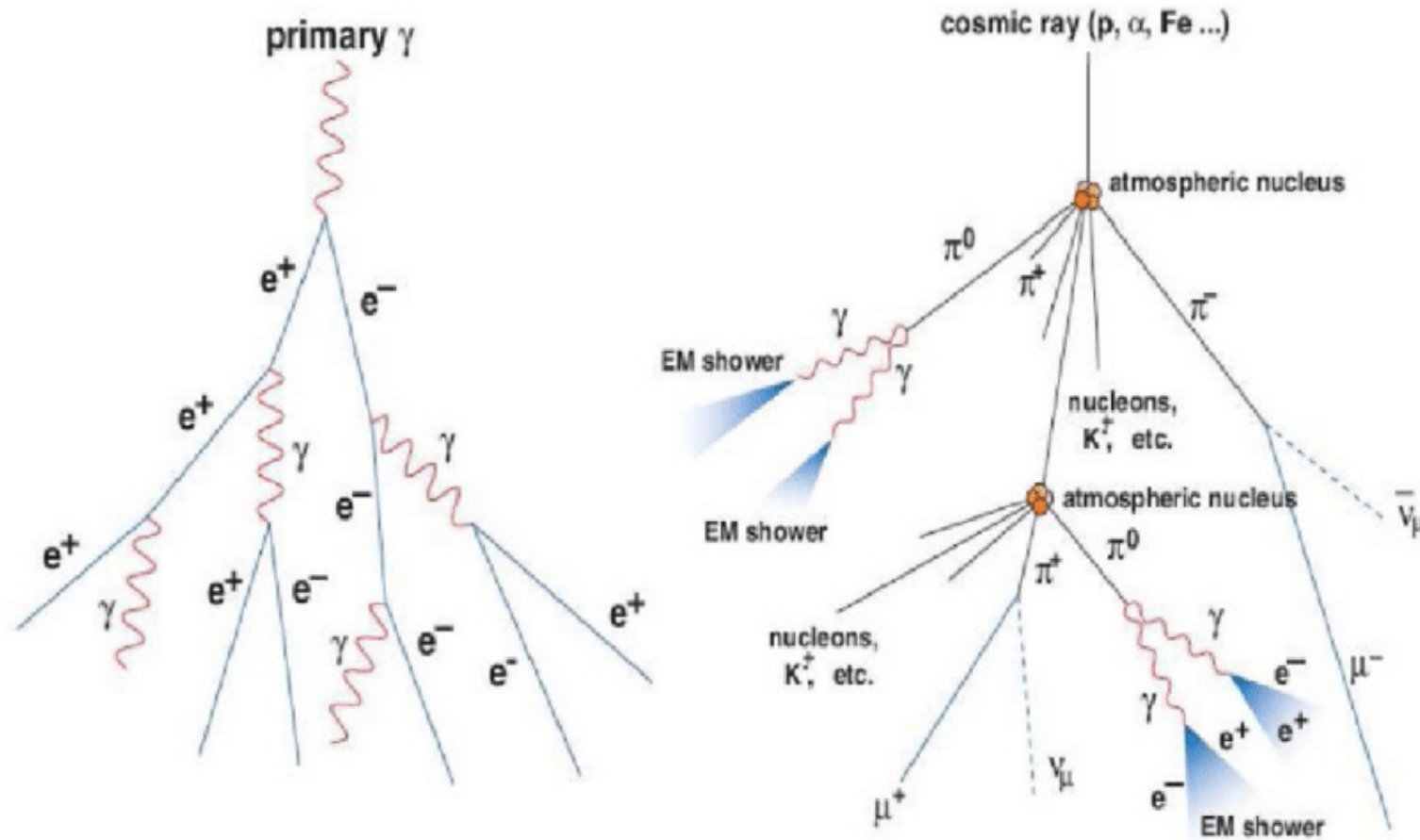
A Trieste ... esperimento Fermi



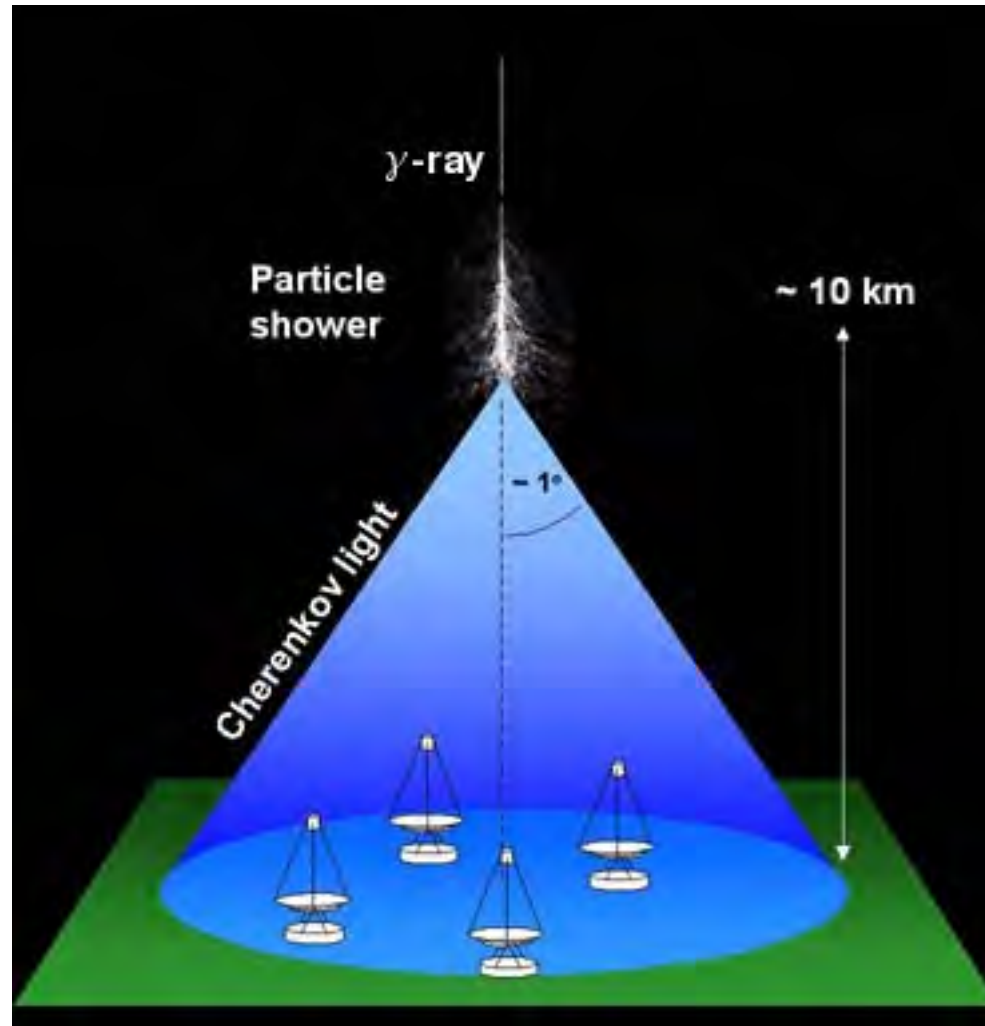
A Trieste ... esperimento Fermi



L'astrofisica gamma da Terra



L'astrofisica gamma da Terra



A Trieste ... esperimento MAGIC

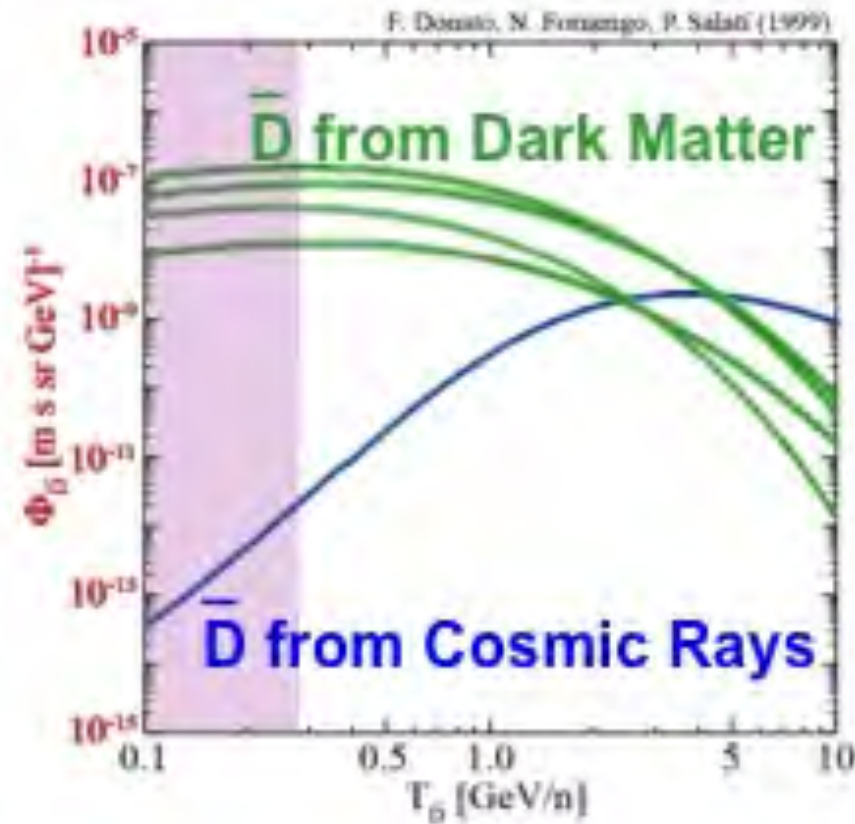


A Trieste ... esperimento CTA

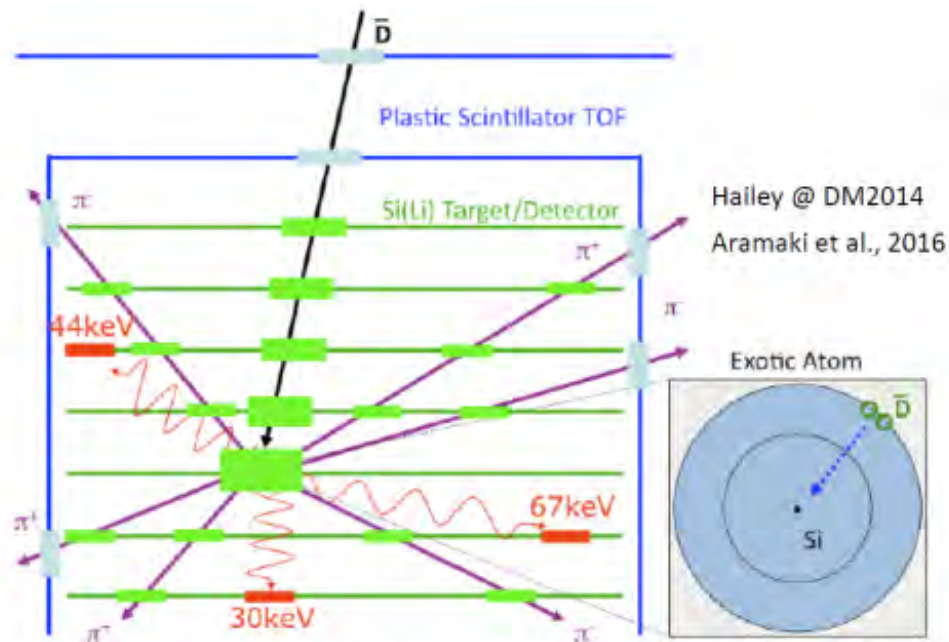


A Trieste ... esperimento GAPS

Antideuteron flux at the earth
(w/propagation and solar
modulation)



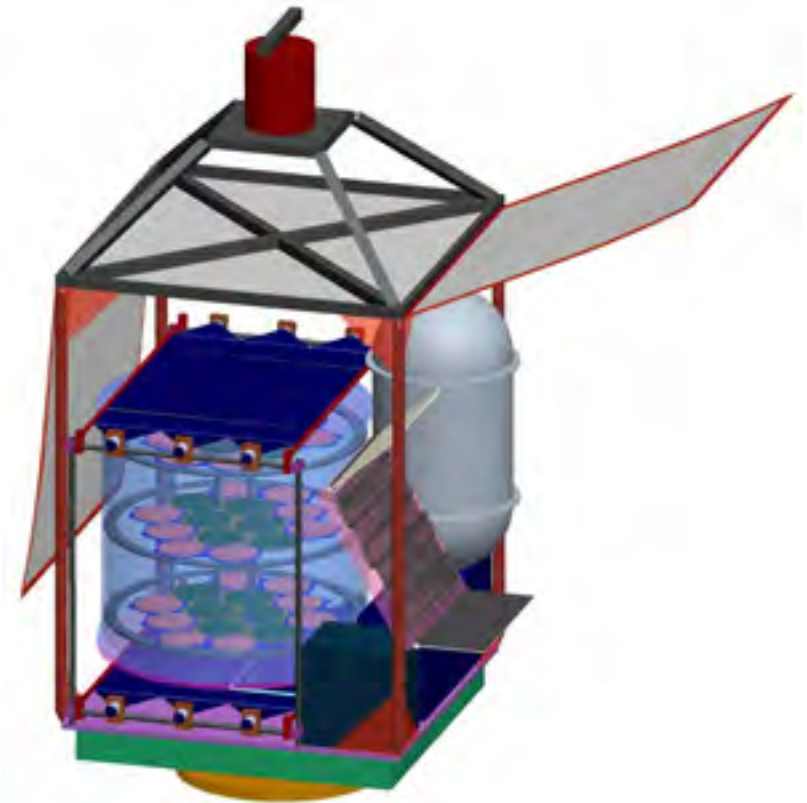
A Trieste ... esperimento GAPS



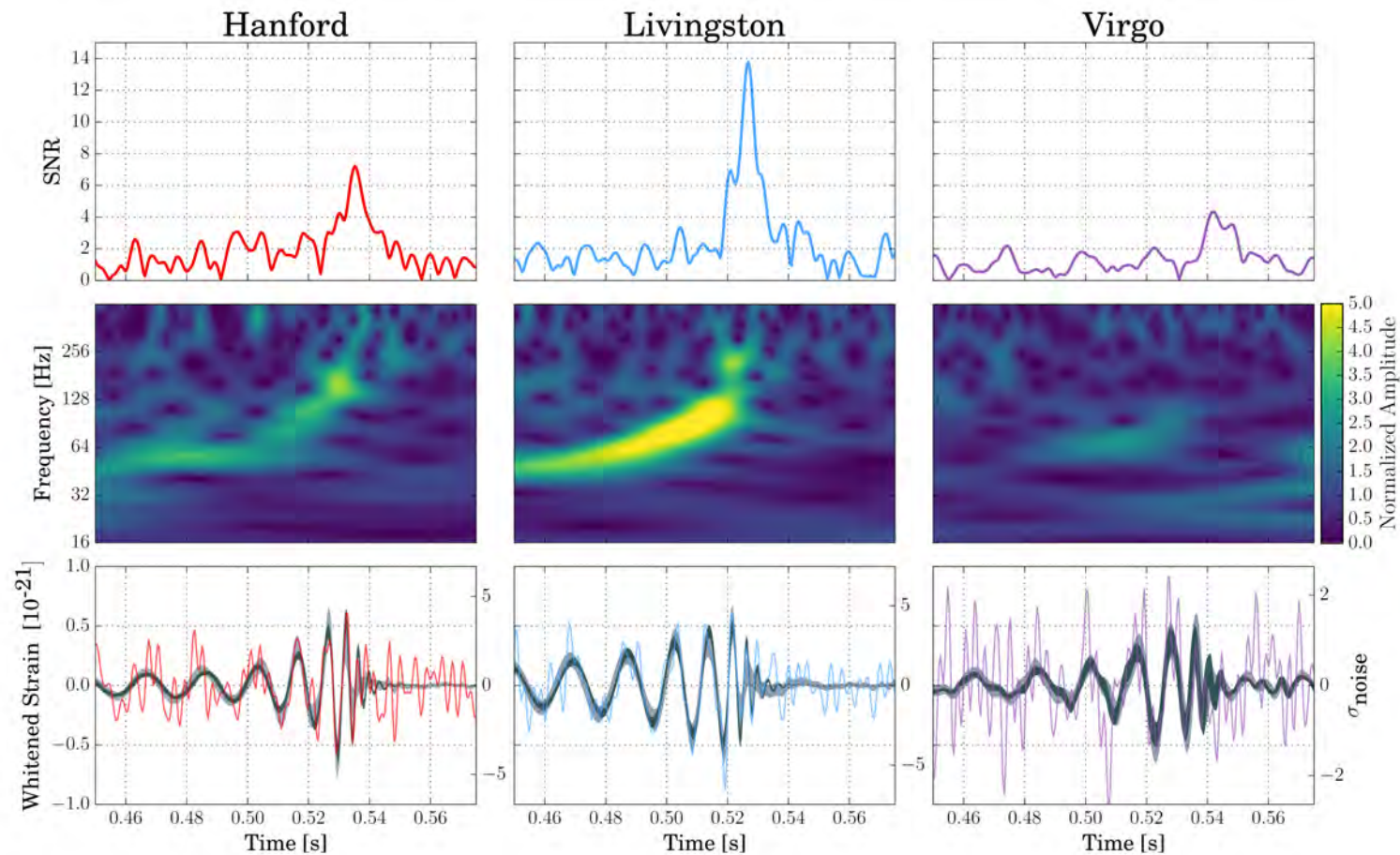
\bar{p} / \bar{D} separation based on:

- Time-of-light measurement along antiparticle trajectory
- Multiple dE/dx measurements
- X-ray energies
- Pion/proton multiplicity

~novel antimatter detection technique



A Trieste ... esperimento Virgo



La fisica delle Astroparticelle

